

本資料は〇/年〇月〇日付けで登録区分、
変更する。

[技術情報室]

オンライン 臨界安全監視システムの 基礎研究(II)

(動力炉・核燃料開発事業団 委託研究成果報告書)

1993年3月

摂南大学 工学部 電気工学科

山田 澄

© 核燃料炉開発機構 (Japan Nuclear Cycle Development Institute)

Inquiries about copyright and reproduction should be addressed to:

〒319-1184 茨城県那珂郡東海村大字松村4番地49
技術開発部 技術能力課
Technology Management Division,
Japan Nuclear Cycle Development Institute,
4-49 Muramatsu, Tokai-mura, Naka-gun, Ibaraki, 319-1184

本資料の全部または一部を複写・複製・転載する場合、下記に記載の会社にご連絡ください。

この資料は、動燃事業団社内における検討を目的とする社内資料です。
については、複製、転載、引用等を行わないよう、また、第三者への開示又
は内容漏洩がないよう管理して下さい。また、今回の開示目的以外のこと
には使用しないよう注意して下さい。

本資料についての問い合わせは下記に願います。
〒319-11 茨城県那珂郡東海村大字松村 4-33
動力炉・核燃料開発事業団
東海事業所
技術開発推進部・技術管理課



オンライン臨界安全監視システムの 基礎研究（Ⅱ）

山田 澄*

要　旨

一点炉近似動特性方程式に従う未臨界原子炉の中性子検出器信号揺らぎを A/D 変換して得られる時系列を自己回帰移動平均モデル同定することにより、オンライン未臨界度推定が可能である。本研究は安価で即応性の良い臨界安全システムの開発にこの未臨界度推定手法を応用するための基礎研究を行うことを目的とし手いる。本研究が目的としている臨界安全監視モニターでは、信号の DC 成分が刻々と変化する場合にも適用できるアルゴリズムを開発する必要があり、ハイパスフィルタにより信号の低周波成分を除去する方法を採用した。この方法は単に信号に含まれる DC 成分を除去するだけでなく未臨界度推定に不必要的低周波成分を除去する効果もある。本年度は原子炉から得られた定常時系列データを用いて、ハイパスフィルタの特性が未臨界度推定の精度・推定時間に与える影響を時系列データのサンプリング周波数と関連させて検討し、以下の結論を得た。

ハイパスフィルタのカットオフ周波数のわずかな違いが未臨界度の推定値の精度に及ぼす影響は極めて大きいものであることが確認され、①ハイパスフィルタのカットオフ周波数が低すぎて十分 DC 成分を除去できない場合、未臨界度は実際よりも浅く推定され、②カットオフ周波数が適正值より高い場合、未臨界度は実際よりも深い方に偏る。これはハイパスフィルタの影響が強く、同定されるシステムがハイパスフィルタとの複合形になっていることが原因である。一般的には、ハイパスフィルタのカットオフ周波数はサンプリング周波数に比べてなるべく低く、またフィルタの次数も低い方が望ましいが、最適カットオフ周波数としては、フィルタの DC 成分低減率の変化が最も大きい周波数を選択することが望ましい。

* 本報告書は、山田澄が動力炉・核燃料開発事業団の委託により実施した研究の成果である。

契約番号………：040D0116
事業団担当部課室：東海事業所、安全管理部・安全技術課 野尻一郎

* 摂南大学 工学部 電気工学科



OFFICIAL USE ONLY
PNC PJ1632 93-001
MARCH, 1993

Basic Study on On-line Criticality Surveillance System (II)

Sumasu Yamada*

Abstract

In the framework of the point reactor kinetics approximation, on-line subcriticality monitoring can be done by Auto-Regressive Moving Average (ARMA) Model identification of the time series sampled from the signal fluctuation of a neutron detector in a subcritical reactor.

This research focuses the attention on the basic analysis of applicability of the recursive parameter estimation algorithm to developing an inexpensive on-line criticality surveillance system of quick response. Since Criticality Surveillance System demands an algorithm applicable for non-stationary time series with the time-varing DC component, the high pass filter has been adopted to remove the DC component, and it turns out that it is effective for removing not only the DC component but also the low frequency component of the time series. The effects of the high pass filter on the accuracy and response-time of subcriticality estimation have been examined through analysis of the real data from Kinki University Research Reactor, and we obtained the following results.

The estimated subcriticality is fairly sensitive to the cut-off frequency of the high pass filter. If the cut-off frequency is too low, the subcriticality is underestimated. On the contrary, if the cut-off frequency is too high, the subcriticality is overestimated. This is because the model identified from the data includes the property of the high pass filter. Generally, the cut-off frequency of the high pass filter should be selected as low as possible compared with the sampling frequency and the model order of the filter should be as small as possible. However, the numerical analysis of the real time series data indicates that the optimum cut-off frequency should be determined as the frequency where the derivative of the DC component reduction rate of the high pass filter takes a maximum value.

Work performed by Sumasu Yamada under contract with Power Reactor and Nuclear Fuel Development Corporation.

PNC Liaison: Safety Technology Development Section Health and Safety Division, Tokai Work, Ichiro Nojiri.

* Department of Electrical Engineering, Faculty of Engineering, Setsunan University



目次

1 緒言	-----	1
2 ARMA同定アルゴリズム	-----	8
2. 1 R P E(Recursive Prediction Error)法	-----	8
2. 2 P L R(PseudoLinear Regression)法	-----	16
2. 3 E L S(Extended Least Squares)法	-----	16
2. 4 R P E法におけるProjection Algorithm	-----	16
3 近畿大学原子炉での実験及び未臨界度推定手法	-----	18
3. 1 近畿大学原子炉(UTR-KINKI)の概要	-----	18
3. 2 炉心体系と中性子検出器の位置	-----	19
3. 3 信号処理系	-----	20
3. 4 時系列データのサンプリング	-----	20
3. 4. 1 時系列データの取得プロセス	-----	20
3. 4. 2 適応フィルタリングにおけるローパスフィルタと サンプリング周波数の設定	-----	21
3. 4. 3 実データによる解析	-----	22
3. 5 未臨界度推定の原理とモデリング	-----	25
3. 5. 1 未臨界度推定の基本原理	-----	25
3. 5. 2 実データによるモデルと理論モデルとの不一致	-----	26
3. 5. 3 同定次数の選択	-----	27
3. 6 A R M A モデルからの未臨界度の導出	-----	28
3. 7 A R M A 同定から推定された未臨界度の評価	-----	29
4 定常状態における未臨界度推定	-----	32
4. 1 マスター時系列データからサンプリング周波数の変換 - 基本時系列データの作成 -	-----	32

4. 2 低周波成分除去用のハイパスフィルタの選択と未臨界度推定 -----	34
4.2.1 解析の概要 -----	35
4.2.2 ハイパスフィルタの選択と推定値における定性的知見 -----	37
4.2.3 ハイパスフィルタの適正カットオフ周波数 -----	38
4.2.4 不要低周波成分除去という側面からの ハイパスフィルタの必要性 -----	39
4. 3 時系列データのサンプリング周波数と推定時間 -----	42
4.3.1 解析の概要 -----	42
4.3.2 時系列データのサンプリング周波数と 推定時間に関する定性的知見 -----	44
4.3.3 高周波サンプリングの問題点度限界 -----	45
5 結論 -----	47
参考文献 -----	52
A p p e n d i x -----	53
A MAパラメータによる式誤差の白色化 -----	53
B 縮約係数(Contraction Factor)の作用 -----	54
C 未臨界原子炉のARMAモデルパラメータの導出 -----	55
D ARMAX1モデルオンラインパラメータ推定プログラム -----	59
図 -----	85

表・図目次

Table 2.1	Notations used in the RPE method. -----	11
Table 3.1	Constant of reactor physics. -----	28
Table 3.2	Equivalent reactivity worth of the control rod. -----	29
Table 4.1	Characteristic of Low-Pass Filter for anti-aliasing. -----	32
Table 4.2	Reference table for the fundamental time series. -----	33
Table 4.3	Cutoff frequency of High-Pass filter and the corresponding bias of the time series(ID003 series). -----	35
Table 4.4	Cutoff frequency of High-Pass filter and the corresponding bias of the time series(ID005 series). -----	35
Table 4.5	Cutoff frequency of High-Pass filter and the corresponding bias of the time series(ID010 series). -----	36
Table 4.6	Reasonable cutoff frequency of High-Pass filter to the fundamental time series. -----	37
Table 4.7	Bias of the fundamental time series processed by Zero Mean Value Method. -----	39
Table 4.8	Identification algorithm for analysis. -----	42
Table 4.9	Time required for estimation of subcriticality . -----	43
Fig. 2.1	Discrete linear system. -----	85
Fig. 2.2	Number of required data for $K_t > 0.999999$. (K_t : contraction factor.) -----	86
Fig. 3.1	Position of CIC in the reactor. -----	87
Fig. 3.2	Arrangement of the carbon block for compensating the reactivity. -----	89
Fig. 3.3	Block diagram of data acquisition system. -----	90
Fig. 3.4	Earth points for neutron detecting system. -----	91
Fig. 3.5	Digital data retreaving system from PCM data recorder. -----	92
Fig. 3.6	Subcriticality estimations by ARMA(2,2) model identification for three time series sampled at 888.888...Hz, 800Hz and 1000Hz through Low-Pass filter with cutoff frequency 500Hz. [Reference subcriticality = 0.289 \$.] -----	93
Fig. 3.7	Power spectrum densities estimated by two kinds of method for the time series (reference subcriticality 0.289 \$) sampled at 888.888...Hz, 800Hz and 1000Hz. -----	94

Fig. 3.8	Power spectrum density of theoretical model for the subcriticality 0.289 \$. -----	95
Fig. 3.9	Subcriticality estimations by ARMA(1,1) model identification for three time series sampled at 888.888...Hz, 800Hz and 1000Hz through Low-Pass filter with cutoff frequency 500Hz. [Reference subcritical= 0.289 \$.] -----	96
Fig. 3.10	Power spectrum densities estimated by two kinds of method for the time series (reference subcriticality 0.289 \$) sampled at 888.888...Hz, 800Hz and 1000Hz. -----	97
Fig. 3.11	Power spectrum density of the theoretical model for subcriticality 0.289\$ and that of the estimated model by ARMA(2,2) model identification of UTR-KINKI reference subcriticality 0.289\$. -----	98
Fig. 3.12	Calibration curves for conversion of the system pole of ARMA model to subcriticality. -----	99
Fig. 3.13	Position of the control rods at critical and the two types of subcritical system. -----	100
Fig. 3.14	Calibration curves for conversion of the DC output of current amplifier to subcriticality. -----	101
Fig. 4.1	Frequency characteristics of digital Low-Pass filter for preventing aliasing. -----	102
Fig. 4.2.a	Subcriticality estimation for "ID003.888 DATA" filtered by the various High-Pass filters. [Reference subcriticality = 2.19 \$.] -----	103
Fig. 4.2.b	Subcriticality estimation for "ID003.444 DATA" filtered by the various High-Pass filters. [Reference subcriticality = 2.19 \$.] -----	104
Fig. 4.2.c	Subcriticality estimation for "ID003.222 DATA" filtered by the various High-Pass filters. [Reference subcriticality = 2.19 \$.] -----	105
Fig. 4.3.a	Subcriticality estimation for "ID005.888 DATA" filtered by the various High-Pass filters. [Reference subcriticality = 1.25 \$.] -----	106
Fig. 4.3.b	Subcriticality estimation for "ID005.444 DATA" filtered by the various High-Pass filters. [Reference subcriticality = 1.25 \$.] -----	107
Fig. 4.3.c	Subcriticality estimation for "ID005.222 DATA" filtered by the various High-Pass filters. [Reference subcriticality = 1.25 \$.] -----	108

Fig. 4.4.a	Subcriticality estimation for "ID010.888 DATA" filtered by the various High-Pass filters. [Reference subcriticality = 0.289 \$.]	109
Fig. 4.4.b	Subcriticality estimation for "ID010.444 DATA" filtered by the various High-Pass filters. [Reference subcriticality = 0.289 \$.]	110
Fig. 4.4.c	Subcriticality estimation for "ID010.222 DATA" filtered by the various High-Pass filters. [Reference subcriticality = 0.289 \$.]	111
Fig. 4.5	Dependence of DC component reduction ratio on the cutoff frequency of High-Pass filter by filtering for the fundamental time series.	112
Fig. 4.6.a	Subcriticality estimations for the time series through the most suitable High-Pass filter and the time series without DC component in "ID003 Series DATA". [Reference subcriticality = 2.19 \$.]	113
Fig. 4.6.b	Subcriticality estimations for the time series through the most suitable High-Pass filter and the time series without DC component in "ID005 Series DATA". [Reference subcriticality = 1.25 \$.]	114
Fig. 4.6.c	Subcriticality estimations for the time series through the most suitable High-Pass filter and the time series without DC component in "ID010 Series DATA". [Reference subcriticality = 0.289 \$.]	115
Fig. 4.7.a	Subcriticality estimations for the time series sampled at 888.888...Hz. [Reference subcriticality = 2.19 \$, 1.25 \$ and 0.289 \$.]	116
Fig. 4.7.b	Subcriticality estimations for the time series sampled at 444.444...Hz. [Reference subcriticality = 2.19 \$, 1.25 \$, and 0.289 \$.]	117
Fig. 4.7.c	Subcriticality estimations for the time series sampled at 222.222...Hz. [Reference subcriticality = 2.19 \$, 1.25 \$ and 0.289 \$.]	118
Fig. 4.8	Power spectrum density of the time series sampled at 888.888...Hz by direct FFT method.	-----
Fig. 4.9	The time series data sampled at 888.888...Hz, 444.444...Hz, and 222.222...Hz.	119
Fig. 4.10	Dependence of subcriticality estimation on the number of bits for A/D conversion for "ID005 Series DATA". [Reference subcriticality = 1.25 \$.]	120

1 緒言

TMI事故、チェルノブイリ事故を他山の石と考えていたわが国においても、平成3年2月9日、関西電力美浜原子力発電所2号機でECCSが作動する蒸気発生器伝熱管破断事故が起き、原子力発電への不安をますます増大させる結果となった。

今後、原子力発電をはじめ核燃料再処理施設における安全性の確保及び防護システムはより高度なものを要求される時代に入りつつある。

この様な状況下において、我国では本年1993年(平成5年)後半には、高速増殖炉原型炉「もんじゅ」が初臨界を迎え、また、5年後の1998年には商業用核燃料再処理工場が稼働する予定となっており、本格的な核燃料サイクル時代を迎える。しかし核燃料サイクルの中心となる再処理技術は、民間レベルでその技術を運用しているのはイギリスとフランスのみで経験的に未知数な面も多く、安全管理の面でも多くの問題点が残されている。特に、処理中の核燃料系の反応度が増大することによって臨界超過の状態に達した場合の臨界事故は最も危険なものであり、作業員の生命の危険はもとより再処理工場システムそのものを復旧不可能な状態に陥れる可能性もある。従って核燃料再処理行程において核分裂性物質の非定常的な流れや蓄積を伴う過程においては、体系の反応度を管理しその未臨界状態を保証する何らかの臨界安全監視システムが不可欠である。

従来から、未臨界度推定に関しては様々な研究がなされてきている。その中には燃料体系にパルス中性子を打ち込み、体系内の中性子密度の時間的減衰を計測するパルス中性子法など厳密な未臨界度測定法があるが、再処理工場などの臨界安全監視システムに要求される機能はこれらとは別の次元にあると考えられる。もちろん

精度が高いということに越したことではないが、そのために大がかりな設備が必要になつたのでは再処理のコストにも影響を及ぼし、現在のような軽水炉用燃料が安価な時代では核燃料サイクル自体が商業的には成立し得なくなる恐れがある。また、上述した美浜原子力発電所の事故の例では、事故時に処理するデータ量が一時的にプラント計算機の許容負荷量を超えたとも報告されていることを考慮すると^[1]、計算に要するデータ量は極力少ないことが望ましい。そこで、再処理工場における臨界安全監視システムには少なくとも以下のようないくつかの条件が要求されるものと思われる。

① 合理的な精度と追従性

臨界安全監視システムは、未臨界度を測定するためのシステムではなく、あくまで臨界事故を防ぐことを主目的とするシステムである。従って、推定値が真値に極めて近い精度を有していることは必ずしも要求されてはいない。再処理工場では各部位の許容反応度を設定し、その値に安全係数を掛けた値を臨界安全監視システムに組み込み、その値を超えると警告もしくはシステムの停止信号を発すると考えられ、必ずしも高精度の未臨界度推定が必要とは考えられる。それよりもむしろ未臨界度の変化に対するリアルタイムでの追従性が重視されるべきである。

② コンパクトなシステム

再処理工場は複雑な配管が施され、各施設には厳重な遮蔽が設けられる。このことを考慮すると臨界安全監視システムが大がかりな装置となることは工場の機能性を損なうことにもなりかねない。また、作業員の被爆や放射能による汚染を極力防ぐためにも点検・補修の容易なシステムであることも重要な条件であると考えられる。従って、構成パーツの少ないコンパ

クトなシステムであることが要求されるべきである。

③ 安価なシステム

再処理工場での臨界安全監視システムは、その異常検知により工場の停止・作業員の避難を引き起こすことを考慮すると誤検知は避けなければならない。従って、臨界監視が必要な場所1つ1つに最低3基の測定系を配置し、原子力発電所などで用いられている「2 out of 3」方式によって反応度異常信号の発信を行うことが望ましい。しかし、この方式を臨界事故が起り得る場所全てに配置するのであれば1基当たりのコストの高低が再処理価格に影響を及ぼすことから、1つのコンポーネントが安価なシステムであることも重要な条件として要求されるべきである。

そこで、上記の3点を考慮し、我々はオンラインパラメータ推定アルゴリズムに基づく未臨界度推定手法の研究を行ってきた。この手法は、原子炉は一点炉近似動特性方程式に従うものとし、未臨界原子炉の中性子検出器出力信号の揺らぎは離散時間系において自己回帰移動平均モデル(ARMAモデル)で表現できることに着目し^[2]、モデル伝達関数の極をオンラインで計算することにより未臨界度を推定するものである。

未臨界度推定精度は必ずしも高くはないが、この手法には以下のようなメリットがある。

① この手法により未臨界度の推定を行うために必要となる機器は、 γ 線補償型中性子検出器およびその電流増幅器、信号処理用のアンプ及びアナログフィルタ、A/Dコンバータとデータ処理用のコンピュータであり、システムを構成する要素に特殊なものを一切必要としない。したがって、全て

市販品で比較的簡単にシステムを構成することができる。この手法では逐次計算を行うため観測データを蓄積して一括処理する必要がないため、大型汎用計算機など容量の大きな計算機を必要とせず、エンジニアリングワークステーションあるいは高性能パーソナル計算機の利用が可能である。最近その技術の進展が著しいD S P (Digital Signal Processor)を用いればワン・ボード化も可能である。なお、当然ではあるが適当な強度を持つ中性子源が必要であることは言うまでもない。

- ② 逐次パラメータ推定アルゴリズムを用いることによりデータの集積を待つこと無く、時々刻々変化する未臨界度をオンラインで追跡することが可能である。
- ③ 近年、原子力発電プラントではシステム診断に炉雜音解析手法を用いていいるが、そのデータ管理は膨大な磁気メディアを駆使することによって行われているのが現状である^[8]。本手法は、A R M A モデルパラメータからシステムの周波数応答を簡単に再生できるのでシステムの異常診断にも応用が可能であり、また、データの保存は 1 ポイントにつき 4 つのパラメータのみで済むため、測定対象の履歴を管理する上でも生データやF F T 法などに比べてそのデータ量は大幅に削減・圧縮が可能である。

本手法を未臨界原子炉のシミュレーション時系列データに用いた場合では、比較的精度よくかつ短時間で未臨界度推定が可能との解析結果が得られている^{[4] [5]}。しかし、この手法を実際の原子炉から取得したデータに応用するに当たっては次のような問題点が残されている。

① 観測信号の前処理

研究用零出力炉である近畿大学原子炉から実際に取得された時系列データ

にたいしシミュレーションデータに用いたアルゴリズムをそのまま適用した場合、未臨界度推定値の精度及び変化する未臨界度の追従性がシミュレーション時系列データに対する結果に比べて良くない。この様に実データによる未臨界度推定がシミュレーション時系列データによる推定と比較して劣る理由として未知の外乱の問題が考えられる。すなわち、シミュレーション時系列データは、ほぼ完全な白色時系列を Shaping Filter で加工して生成されており、その時系列は理論に従った性質の良いデータであるのに対し、実データは未知の外的温度の変動、測定系に対する機械的振動等の外乱が加わる上、検出器、増幅器、フィルター、A／Dコンバータ等を通過し、各種の処理を施されるため、信号の質(quality)そのものがシミュレーションデータとは本質的に異なっているものと考えられる。特に本手法の様なパラメトリックなスペクトル解析では、FFT法などのスペクトル解析とは異なり、限られたパラメータでスペクトル全体を表現するため、未知の雑音によるわずかな信号の歪がパラメータの推定値全体に大きく影響を及ぼす。したがって、観測信号から未臨界度の情報を含む周波数領域のみを最適に抽出する信号処理技術の開発が必要となる。

② 変動するパラメータの追従性

本手法の様な逐次計算アルゴリズムのみならず、いずれの手法にも共通の問題であるが、未臨界度推定法を実用化する上で最も重要なことは、未臨界度が刻々変化する非定常状態における未臨界度の変化の追従性である。

そこで、本年度（平成4年度）は、上記①の問題の中でもこれまでの予備研究で重要な問題と考えられる時系列データ中に含まれる低周波成分の未臨界度推定に及ぼす影響を検討することが研究課題である。信号処理としてはアナログ信号の状態での前処理と時系列データに変換した後の処理法とがあるが、本研究では特に時系

列データから余分な低周波成分を除去するためのハイパスフィルタと未臨界度推定精度の関係を近畿大学原子炉から得られた時系列データを用いて明らかにし、上記①の問題に対する指針を得る。具体的には、

- ① 時系列データ中に含まれる低周波成分の適切な除去法と、時系列データのサンプリング周波数が推定値に及ぼす効果。
- ② アナログ信号の量子化とともに、量子化誤差によるデータの質の低下が推定値に及ぼす影響。

について検討する。

本論文の構成は以下の通りである。

第2章では、昨年度の報告書で既にその概要を報告しているが、本報告書が一冊の資料として自己整合性を保つよう、本研究で用いているオンラインA R M A同定アルゴリズムを改めて説明する。本研究での中心的アルゴリズムであるR P E(Recursive Prediction Error)法については、特に実際のプログラム上で計算過程に現れる各種の計算パラメータを詳しく説明する。

第3章では、その前半部で近畿大学原子炉実験での機器配置など実験の概要と、アナログ信号からデジタル信号に変換する際のサンプリング周波数について詳しく論じる。後半部では、A R M Aモデルから未臨界度への変換の手法と、推定未臨界度の評価の方法について説明する。

第4章では、定常状態における時系列データに対して、時系列データ中の低周波成分の除去と推定精度について検討し、第3節ではサンプリング周波数が推定時間に及ぼす影響について検討する。第5節ではA／D変換時の量子化bit数と推定精度の関係について考察する。

第5章では、本研究で得た成果をまとめると、

ところで、本研究のような研究では、同じ計算機を用いる中性子輸送計算や熱流動計算などとは異なり、確立されて計算コードがあるわけではなく、専ら各研究課題に即した計算コードの開発が必要となる。したがって、新しいアルゴリズムの導入や改良が容易に行える反面、計算コードが一般的に使用されてプログラムのバグが発見されると言ったことがなく、用いたプログラムによる解析結果の問題点が明らかになりにくいという側面をもつ。3年毎に開かれる S M O R N (Specialist Meeting On Reactor Noise) のベンチマークテストでも明らかになっているが、同一のアルゴリズムを使用しているにもかかわらず研究者間によって結果が大きく異なったりすることがある。このとき、それが単なるサンプリング周波数の設定やモデル次数の選択等の誤りによるものなのか、プログラム上の本質的な誤りによるものなのか判断がつかないことがある^[11]。

そこで、本報告にはこの研究で用いた解析基本プログラムを APPENDIX に示す。

プログラムの動作環境は、

① ハードウェア : P C - 9 8 0 1 シリーズ

実装メモリ 6 4 0 K B 以上

浮動小数点数値演算コプロセッサ実装

② O S : M S - D O S

である。なお、S O N Y データレコーダより直接ディジタルデータを読み出すにはハードウェアとして、G P - I B (I E E E - 4 8 8) インターフェイスボードが必要となる。

2 オンラインARMAパラメータ 同定アルゴリズム

この章では、本研究で用いるオンラインARMAパラメータ同定アルゴリズムについて述べる。

まず第1節に、カルマンフィルタアルゴリズムに等価な逐次推定手法である Recursive Prediction Error Method (RPE法) のパラメータ推定手順、及び、本研究で用いている計算プログラム上でのデータ処理の方法などについて解説する。第2節には、RPE法の特殊なタイプである PseudoLinear Regression Method (PLR法)、第3節には、やはりRPE法の特殊なタイプである Extended Least Squares Method (ELS法)について説明する。RPE法で問題となる推定値の偏りを補正する方法として残差を白色化するフィルタを用いるが、第4節ではこのフィルタの安定性を保証するための Projection Algorithm を計算プログラム上でどのように実現しているかを述べる。

2. 1 Recursive Prediction Error (RPE) 法^[6]

1入力・1出力システムにおいて、入力を $u(t)$ 、出力を $y(t)$ 、外乱を $e(t)$ としたとき、このシステムは次式に示すような ARMAX(p, q, r) モデルで記述することができる。

$$y(t) + \sum_{i=1}^p a_i y(t-i) = \sum_{k=1}^r b_k u(t-k) + e(t) + \sum_{j=1}^q c_j e(t-j) \quad (2.1)$$

なお、 $e(t)$ は白色時系列であるものとする。 $u(t)$ と $y(t)$ が観測可能で、 $e(t)$ が観測不可能な場合、自己回帰 (AR) 部パラメータ： a_i 、外部入力 (exogenous) 部パラメータ： b_i 、移動平均 (MA) 部のパラメータ： c_i を逐次的に求める手法として Recursive Prediction Error (RPE) 法が良く知られ

ている。このアルゴリズムは揺らぎを発生させる駆動力としての入力 $u(t)$ が観測不可能な場合、式(2.1)の $u(t)$ を零とすることにより得られる A R M A (p, q) 過程のモデルパラメータ推定アルゴリズムとしても用いることが可能である。従って、未臨界原子炉の中性子検出器出力信号揺らぎの場合、A R M A (p, q) モデルのパラメータ推定としてこのアルゴリズムを用いが、ここではより一般的な A R M A X モデルの逐次パラメータ推定アルゴリズムについて説明する。

時間推移オペレータ z^{-1} を用いると、式(2.1)は次のように書ける。

$$\begin{aligned} A(z^{-1})y(t) &= B(z^{-1})u(t) + C(z^{-1})e(t) \\ A(z^{-1}) &= 1 + a_1z^{-1} + a_2z^{-2} + \dots + a_pz^{-p} \\ B(z^{-1}) &= 1 + b_1z^{-1} + b_2z^{-2} + \dots + b_rz^{-r} \\ C(z^{-1}) &= 1 + c_1z^{-1} + c_2z^{-2} + \dots + c_qz^{-q} \end{aligned} \quad (2.2)$$

ここで、 $e(t)$ が観測できるとして観測データベクトル

$$\begin{aligned} \phi^T(t) = & [-y(t-1), -y(t-2), \dots, -y(t-p), \\ & u(t-1), u(t-2), \dots, u(t-r), \\ & e(t-1), e(t-2), \dots, e(t-q)] \end{aligned} \quad (2.3)$$

及び、これから推定しようとする各パラメータベクトル

$$\theta^T = [a_1, a_2, \dots, a_p, b_1, b_2, \dots, b_r, c_1, c_2, \dots, c_q] \quad (2.4)$$

を定義すると、予測誤差 $v(t)$ は式(2.1)より、

$$v(t) = y(t) - \theta^T \phi(t) \quad (2.5)$$

なる関係がある。そこで評価関数

$$V_N(\theta) = \frac{1}{N} \sum_{t=1}^N [y(t) - \theta^T \phi(t)]^2 \quad (2.6)$$

を最小にするようなパラメータ θ を逐次的に求めるのが逐次型 A R M A モデルパラメータ同定アルゴリズムである。このことは $V_N(\theta)$ が最小、すなわち予測誤差 $v(t)$ の分散を最小とするパラメータを推定することになる。したがって、最適パラメータは

$$\frac{\partial V_N(\theta)}{\partial \theta} = 0 \quad (2.7)$$

となるように θ を選べばよい。この様な θ を $\hat{\theta}(N)$ とおくと、

$$\hat{\theta}(N) = \left[\sum_{t=1}^N \phi(t) \phi^T(t) \right]^{-1} \cdot \sum_{t=1}^N \phi(t) y(t) \quad (2.8)$$

で与えられることになる。これを逐次計算方式に書き換えるため、式(2.8)において $N \rightarrow t$ に書き換え $\phi(t)$ の $(p+r+q) \times (p+r+q)$ 共分散行列 $R(t)$ を

$$R(t) = \sum_{k=1}^t \phi(k) \phi^T(k) \quad (2.9)$$

と定義し、その逆行列の平均値を、

$$P = \overline{R^{-1}}(t) = \frac{1}{t} R^{-1}(t) \quad (2.10)$$

と表すと、以下に示す逐次計算アルゴリズムを得る。

なお、確率時系列データの相関行列 $\overline{R}(t)$ は使用するデータ数が増加するに連れて一定の値に収束する。従ってその逆行列である P マトリックスも収束に向かう。従ってマトリックス内の各要素も非常に小さな値になる。後で述べるとおり P マトリックスは推定パラメータ $\hat{\theta}$ の修正量をコントロールするゲインファクターであり、P マトリックスの収束は推定パラメータの収束を意味する。P マトリックスが収束すると新規の情報に対する感度が鈍くなる。従って、パラメータの更新と言う観点

からは、Pマトリックスが収束している状態でパラメータ変動が発生するような時系列データにおいては、パラメータ変化の追跡が大幅に遅れることが起こる可能性がある。

以下に逐次パラメータ推定アルゴリズムを示す。説明の過程で用いられる各シンボルを Table 2.1 にまとめて示す。

Table 2.1 Notations used in the RPE method.

Symbol	Description	Formation
$\hat{\theta}(t)$	Estimation parameter vector of $\theta(t)$	(p+r+q) Row-vector
$L(t)$	Gain vector	(p+r+q) Row-vector
$P(t)$	P-Matrix	(p+r+q)*(p+r+q) Matrix
$\phi(t)$	Time series vector	(p+r+q) Row-vector
$\psi(t)$	Revised time series vector	(p+r+q) Row-vector
e_p	Prediction Error	A variable
$\lambda(t)$	Forgetting Factor	A variable
K_t	Contraction Factor	A variable
$\tilde{y}(t)$	Revised value of $y(t)$	A variable
$\tilde{u}(t)$	Revised value of $u(t)$	A variable
$\tilde{v}(t)$	Revised value of $v(t)$	A variable

先程は説明を簡単にするため $e(t)$ は観測できるとしてが、実際には観測出来ないので $e(t)$ を推定しながらパラメータ推定を行っていかなければならない。そのため、 $e(t)$ の推定値として式誤差（残差とも呼ぶ） $v(t)$ を次のように定義する。

$$v(t) = y(t) - \hat{\theta}^T(t) \phi(t) \quad (2.11)$$

ただし、ここで $\phi(t)$ は(2.3)式で $e(t)$ を $v(t)$ に置き換えたものである。

以下に Recursive Prediction Error Method (R P E 法) のアルゴリズムを示す。

観測される時系列データ $y(t)$, $u(t)$ を新たに取得する毎に以下の [S T E P] に従って各種の計算と推定パラメータの更新を行う。

[S T E P 1] $y(t)$ の推定値 $\hat{y}(t)$ の計算.

$$\hat{y}(t) = \hat{\theta}^T(t-1)\phi(t) \quad (2.12)$$

[S T E P 2] Prediction Error の計算.

$$e_p = y(t) - \hat{y}(t) \quad (2.13)$$

[S T E P 3] $\hat{\theta}(t)$ の更新.

$$\hat{\theta}(t) = \hat{\theta}(t-1) + L(t-1) \cdot e_p \quad (2.14)$$

[S T E P 4] 式誤差(残差) $v(t)$ の計算.

$$v(t) = y(t) - \hat{\theta}^T(t)\phi(t) \quad (2.15)$$

[S T E P 5] 式誤差の非白色性による推定値の偏りを補正.

$1/\hat{C}(z^{-1})$ による式誤差の白色化

$$\tilde{y}(t) = y(t) + \sum_{i=1}^p (K_t \cdot \hat{c}_i(t) \cdot (-\tilde{y}(t-i))) \quad (2.16)$$

$$\tilde{u}(t) = u(t) - \sum_{i=1}^r (K_t \cdot \hat{c}_i(t) \cdot \tilde{u}(t-i)) \quad (2.17)$$

$$\tilde{v}(t) = v(t) - \sum_{i=1}^q (K_i \cdot \hat{c}_i(t) \cdot \tilde{v}(t-i)) \quad (2.18)$$

[STEP 6] $\phi(t)$ 及び $\psi(t)$ の更新.

$$\begin{aligned} \phi^T(t+1) = & [-y(t), -y(t-1), \dots, -y(t-p+1), \\ & u(t), u(t-1), \dots, u(t-r+1), \\ & v(t), v(t-1), \dots, v(t-q+1)] \end{aligned} \quad (2.19)$$

$$\begin{aligned} \psi^T(t+1) = & [-\tilde{y}(t), -\tilde{y}(t-1), \dots, -\tilde{y}(t-p+1), \\ & \tilde{u}(t), \tilde{u}(t-1), \dots, \tilde{u}(t-r+1), \\ & \tilde{v}(t), \tilde{v}(t-1), \dots, \tilde{v}(t-q+1)] \end{aligned} \quad (2.20)$$

以降 $\psi(t)$ はこの更新されたものである.

[STEP 7] マトリックス $P(t)$ の更新.

$$P(t) = \frac{P(t-1)}{\lambda(t)} - \frac{P(t-1)\phi(t)\phi^T(t)P(t-1)}{\lambda(t)+\phi^T(t)P(t-1)\phi(t)} \cdot \frac{1}{\lambda(t)} \quad (2.21)$$

[STEP 8] ゲインベクトル $L(t)$ の更新.

$$L(t) = P(t)\phi(t) \quad (2.22)$$

[STEP 9] 周辺処理を行い [STEP 1] へもどる.

上記のアルゴリズムを実際の計算機プログラムとして実現するに当たり、アルゴリズム上、以下に示すような二つの補助パラメータを導入している。

① 忘却係数.

忘却係数 λ は [STEP 7] における P マトリックス更新時に作用するパラメータで、これは P マトリックス更新時に一段階前の値が更新時の値に与える影響の度合いを調整するための係数である。 P の値はその定義から分かるように、使用するデータ量の増加するのに逆比例して減少する性質を持ち、(2.14)式のパラメータ修

正ゲイン $L(t)$ は式(2.22)のように $P(t)$ に比例している。したがって、(2.21)式から分かるように、 $0 < \lambda < 1$ の時は $\lambda = 1$ の時に比べて等価的に P マトリックスの値の減少が少なく、推定するパラメータの修正量を $\lambda = 1$ の場合より大きくするよう作用する。定常状態にある時系列データ($\theta = \text{一定}$)を同定するときは、同定初期段階においては P マトリックス自身が収束していないため、 λ を 1 より小さい値にしておくことによって ARMA パラメータの変化量を大きくし、パラメータの収束を速める。そして P マトリックスが小さな値に収束した後は、 $\lambda = 1$ として P マトリックスの安定化、ひいては ARMA パラメータの安定化を図ることが望ましい。

しかし、非定常な時系列データのパラメータ推定を行うような場合、実状に応じて λ の値を設定する必要がある。本研究で用いた計算プログラム内では予め λ の初期値として λ_0 、更新のためのファクターとして μ_λ を与え $\lambda(t)$ は式

$$\lambda(t) = (\lambda_0 - 1) \mu_\lambda^{t-1} + 1 \quad (2.23)$$

のように定義している。

② 縮約係数.

縮約係数 K_t は [STEP 5] における式誤差の白色化の段階で、白色化の度合いを調整するための係数である。RPE 法において推定値に偏りを生じる原因の一つに [STEP 4] で計算される式誤差の非白色性の影響によるものがある。そこで、不偏一致推定量を得るために式誤差 $v(t)$ を仮想的な白色雑音を入力とする MA モデルで表し、その MA モデル伝達関数の逆数を白色化フィルタとして用い式誤差を白色化する。このとき時系列データ全体もこのフィルタで補正する過程が [STEP 5] である。この原理については Appendix-A に示す。しかし、使用データ量が少ないとシス템が過渡的状態にある時は、使用する白色化フィルタの伝達関数 $\hat{C}(z^{-1})$ の精度が悪く、この白色化フィルタを用いると還ってパラメータ推定に悪影響を及ぼ、パラメータの収束を損なうことが生じる。従って、推定パラメータが大きく変動する同定初期段階などでは白色化を行わないようにするなどの処置が必要となってくる。その処置法の一つとして白色化補正を行う段階で縮約係数 K_t を導入して、パラメータ同定の進み具合に応じて白色化の度合いを制御する。本研究で用いた計算プログラム内では K_t の初期値を $K_0 = 0$ とし、読み込みデータ数に依

存して K_t を更新するための補助パラメータとして μ_k ($0 \leq \mu_k \leq 1$) を用いて、

$$K_t = 1 - \mu_k t \quad (2.24)$$

のように定義している。

このとき、 μ_k の設定値に対し、縮約係数が 0.999999 以上になるまでに必要なデータ数を Fig. 2.2 に示す。数縮約係数の意味と、式(2.16), (2.17), (2.18)での縮約係数の作用のさせ方については Appendix-B に示す。

ベクトル及びマトリックスの初期設定

実際に上記逐次パラメータ同定アルゴリズムを使用する際、先ず手続きループに入る前に各ベクトル及びマトリックスの初期設定を設定しておかなければならぬ。特に、パラメータベクトル $\hat{\theta}(0)$ に関しては、先駆的な知識によりその近似値が既知である場合には、その値を初期値として設定することによりパラメータ収束も速く、より正確なパラメータ同定を行うことが可能である。しかし、本研究では一般的にそのような値が分からぬものとして、以下のように初期値設定を行っている。

$$\hat{\theta}^T(0) = [0, 0, \dots, 0, 0, \dots, 0, 0]$$

$$L^T(0) = [0, 0, \dots, 0, 0, \dots, 0, 0]$$

$$P(0) = \alpha \times I \quad (\alpha \text{ は任意の正数}, I \text{ は単位行列})$$

P マトリックスの初期設定に関して、推定パラメータの偏りを少なくするために α は十分に大きな値が望ましいとされているが、必ずしもそうではないとの報告もある^[7]。本研究では、通常 $\alpha = 1000$ を用いているが、必要に応じて変更が可能である。

なお、本研究で用いている計算プログラムでは、計算時間の短縮とメモリ容量の節約を実現するため、基本的には P マトリックスの計算には UDL 分解法と呼ばれるアルゴリズムを用いており、実際の計算プログラムでは [STEP 7] 及び [STEP 8] での計算方法が、式 (2.21), (2.22) とは異なる。ただし、得られる結

果は理論的に全く同じである。

2. 2 PseudoLinear Regression (PLR) 法^[8]

PseudoLinear Regression (PLR) 法は RPE 法のアルゴリズムにおいて縮約係数 K_t が常に零、すなわち、 $\phi(t) = \hat{\phi}(t)$ としたものである。このアルゴリズムでは、本章第 1 節でも述べたように式誤差の非白色性が強い場合、パラメータ推定値の真値への収束は RPE 法に比べて悪くなり、しかも推定値に偏りを生じることがある。しかし、当然、推定される MA 部 $\hat{C}(z^{-1})$ の精度及び安定性に依存しないため、MA 部が必ずしも安定な伝達関数とならないような非定常状態の時系列データに対しても有効な逐次オンラインパラメータ同定アルゴリズムである。

2. 3 Extended Least Squares (ELS) 法^[6]

Extended Least Squares (ELS) 法は RPE 法のアルゴリズムにおいて縮約係数 K_t が常に零であると同時に、忘却係数 λ も常に 1 としたものである。従って PLR 法の特殊なケースであると言え、RPE 法の中では最もシンプルな逐次オンラインパラメータ同定アルゴリズムである。この方法は他の方法に比べて最も計算量が少なくてすむ反面、パラメータ推定の対象とするシステムの特性に対する依存性が強いなどの欠点をもつことが報告されている^[6]。

2. 4 RPE 法における Projection Algorithm

RPE 法のアルゴリズムにおいて、[STEP 5] は不偏一致推定量を得るという意味で重要な過程であるが、白色化フィルタを形成する MA 部 $\hat{C}(z^{-1})$ が発散フィルタとなっている可能性がある。そこで、縮約係数 K_t が常に零となる PLR 法や ELS 法を除いて、式誤差 $v(t)$ の白色化を行う場合、白色化フィルタを形成する MA 部伝達関数 $\hat{C}(z^{-1})$ が安定、すなわち、

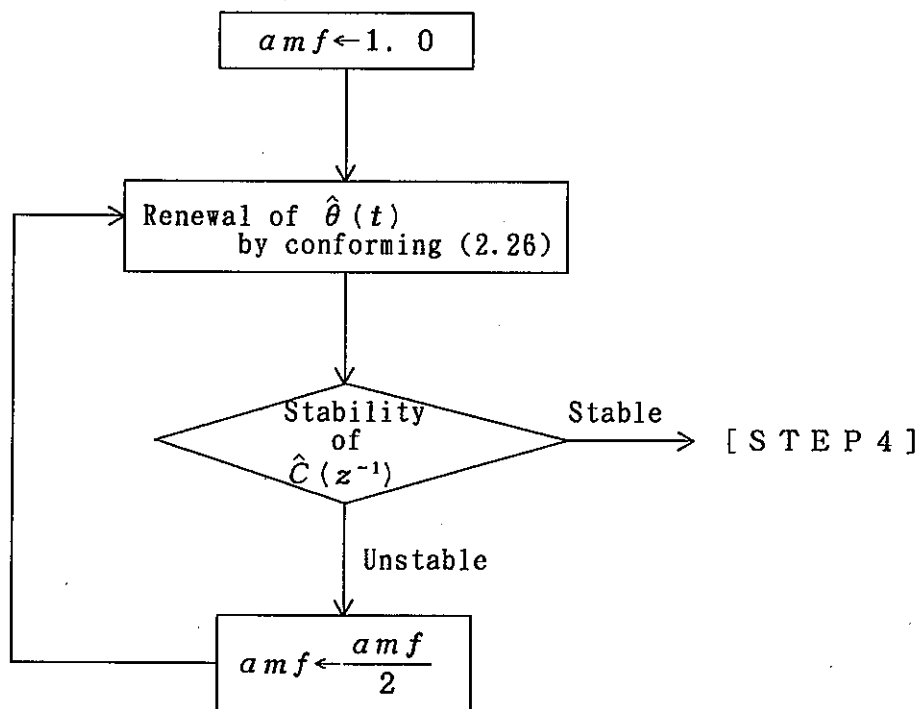
$$\hat{C}(z^{-1}) = 0 \quad (2.25)$$

の全ての根が単位円の内部に投影(Projection)されることを保証する機能がアルゴリズムの中で必要となる。本研究で用いている計算プログラムでは [S T E P 3] を以下のように拡張することによってこれを実現している。

[S T E P 3']

$$\hat{\theta}(t) = \hat{\theta}(t-1) + L(t-1) \cdot e_p \cdot amf \quad (2.26)$$

ここで amf は調整係数(AjustMent Factor)で、以下に示すフローチャートに従ってその大きさが変更される。



本研究で用いている計算プログラムでは、 $\hat{C}(z^{-1})$ の安定性判別に Suhur Cohn の判定条件を用いている^[9]。

なお、Projection Algorithm は、式誤差の白色化を行わない P L R 法や E L S 法にも適用できるが、推定値の真値への漸近が極度に遅れる場合があることが本研究の過程で確認されている。

3 近畿大学原子炉での実験 及び 未臨界度推定手法

実際の未臨界システムとして近畿大学原子炉(UTR-KINKI)を定常運転し、この時の中性子検出器出力揺らぎを観測し、これを本研究の実データとして利用している。ここではその実験の概略と、中性子検出器出力揺らぎ信号の前処理、A/D変換後のデータ処理法を述べるとともに、ARMAモデル同定による未臨界度推定の原理及び解析手法について述べる。

第1節では近畿大学原子炉の概要、第2節では実験に用いた原子炉の炉心体系について、第3節では信号処理系及び測定機材について述べる。第4節には、本研究の解析に用いるマスター時系列データの作成法とサンプリング周波数の選択について、実際のデータ解析結果を用いて説明する。第5節には未臨界度推定の原理を説明し、実験データから得られるARMAモデルと理論的に導出されるARMAモデルとの相違点について述べる。第6節では同定したARMAモデルパラメータを未臨界度に変換する方法について説明する。第7節にはARMAモデルから導出される未臨界度の評価基準として用いる原子炉未臨界度の測定法について述べる。

3. 1 近畿大学原子炉(UTR-KINKI)の概要

UTR-KINKIは、90%濃縮ウランを燃料とした軽水減速黒鉛反射体付き非均質型2分割炉心を持つ熱中性子炉である。最大熱出力は1Wで、制御棒は安全棒2本、シム安全棒1本、及び調整棒1本の合計4本で構成されている。原子炉の起動は、全挿入状態にある制御棒の内まず安全棒#1、安全棒#2の順で引き抜き、これらの安全棒の引き抜きが完了しないとシム安全棒及び調整棒は駆動することができない構造となっている。また、出力が小さく原子炉を生体遮蔽タンクが覆っている構造

のため運転中に原子炉に近づくことが可能である。したがって、近畿大学原子炉は実験を行う上で次のような利点を有している。

- ① 小型研究炉であるため、原子炉を占有して実験を行うことが可能である。
- ② 零出力炉であるためシステム同定にあたって一点炉近似動特性方程式を適用できる。
- ③ 黒鉛反射対付き 2 分割炉心であるため、炉心中央部に Dry Access Area があり比較的大型の C I C 及び高圧電源を直接炉の中央部に容易に設置できる。
- ④ 本研究ではその性質上、電源系統などから進入する外部雑音の低減が重要な課題であるが、この原子炉では検出器の前置増幅器を炉頂に設置可能である上、検出器出力と信号処理系の間の距離を短くできる。したがって、電源系の一点アースの設置、信号ラインの短縮化による雑音低減が可能である。

3. 2 炉心体系と中性子検出器の位置

中性子検出器出力揺らぎの観測には直径 9 cm, 有効長 30 cm の C I C (印加電圧 ± 180 V) を用い、黒鉛反射体中央ストリンガー位置に Fig. 3.1 に示すように配置された。このとき最も中性子束の大きい中央部の黒鉛ストリンガー (10 cm \times 10 cm \times 60 cm) を抜き、更に吸収体となる C I C を配置することになるため原子炉が起動できない場合が生じことがある。そこで、体系の反応度の減少を幾分かでも補償するため C I C の上部に 2 層にわたって黒鉛ブロックを配置し反応度の減少を補っている。その配置方法を Fig. 3.2 に示す。

なお、外部中性子源は Pu-Be 1 Ci である。

3. 3 信号処理系

炉内に配置した C I C からの出力信号を時系列データに変換する信号処理系の基本ブロック図を Fig. 3.3 に示す。

C I C からの電流信号は Current Amp. により電圧に変換され、その電圧は $10^7 \sim 10^9$ 倍に増幅されて出力電圧となる。図中の Low Pass Filter は信号のサンプリング時の周波数エリミネーション防止用アナログフィルタであり、4次のバタワース特性を有する。High Pass Filter は、非定常運転時のアナログ信号をサンプリングする際の平均値（バイアス）除去用アナログフィルタであり、6次のバタワース特性を有する。Gain Amp. はデジタル信号として信号を記録する際に P C M データレコーダの 16 ビット量子化特性を十分に生かすためのゲイン調整用の線形増幅器である。

オシロスコープおよび F F T アナライザは信号をモニターするためのものである。信号は、「SONY : P C M データレコーダ P C - 1 0 8 M」を用いて、16 bit 直線量子化のデジタル信号として記録される。

本研究では観測信号から電源のハムを除去するなどの特別な処理をする事なく直接 A R M A モデル同定するため、電源系の雑音である 60 Hz のハム及びその高調波を可能な限り除去する必要があり、Fig. 3.4 に示すポイントにアースラインを集中し、一点アースを行っている。

3. 4 時系列データのサンプリング

3. 4. 1 時系列データの取得プロセス

中性子検出器出力揺らぎ信号はカットオフ周波数を 500 Hz にセットしたアナログのローパスフィルタで前処理され、P C M データレコーダによりサンプリング周波数 48 kHz でサンプリングされた後、D A T 用テープに記録される。この時系列データはサンプリング周波数が高く、このままの時系列データを用いて A R M A モデル同定を行って未臨界度を推定することはできない。そこで、このマスター時系列データをディジタルフィルタを用いて計算機処理し、未臨界度推定に適したサンプリング周波数でサンプリングし直したデータに変換する必要がある。この変

換処理を行うシステムを Fig. 3.5 に示す。このシステムで変換されたデータは Intel 形式の符号付き 2 バイト整数型データとしてフロッピーディスクに格納され、 ARMA (2, 2) モデル同定に用いられる。したがって、以下の節では、サンプリング周波数はデータレコーダの A/D 変換周波数ではなく再サンプリングによる周波数変換後の周波数を意味している。

3.4.2 オンライン ARMA モデルパラメータ逐次推定におけるローパスフィルタとサンプリング周波数

アナログ信号をデジタル信号に変換する場合、信号が持つ周波数特性を完全に保持するには、その信号に含まれる最大周波数成分の 2 倍以上のサンプリング周波数でサンプリングする必要がある。そこで 500 Hz にカットオフ周波数を有するローパスフィルタで処理されたアナログ信号を A/D 変換する場合、少なくとも 1000 Hz のサンプリング周波数でサンプリングされる必要がある。また、一般にはローパスフィルタのカットオフ周波数が 500 Hz である場合でも、ローパスフィルタの減衰特性は周波数にたいし一定の割合でしか減衰しないことを考慮し、 1200 ~ 1500 Hz のサンプリング周波数でサンプリングされるのが通例である。しかし、必ずしもこのような常識をそのまま適用することが ARMA モデル同定を行うにあたって適当であるとは言い切れないことを以下で説明する。

本研究においては、エリアシング防止用のローパスフィルタとして 4 次のバタワース特性を持つフィルタを使用したことは既に述べたが、そのカットオフ周波数が 500 Hz の場合、バタワースフィルタのゲイン特性は 200 Hz 付近から徐々に減少し始め、 500 Hz でゲインは約 -3 dB となる。従って 1 KHz より充分大きなサンプリング周波数を用いた場合、得られた時系列データには 500 Hz 領域にローパスフィルタの折れ点周波数付近の特性がそのまま現れることになる。このような時系列データを ARMA モデル同定すると、未臨界原子炉のシステムとローパスフィルタの複合形のシステムを同定することになり、原子炉本来のシステムモデル次数にフィルタのモデル次数を加えた次数のモデルが必要となる。

したがって、フィルタ特性が顕著に現れているこの様な時系列データに対しては、未臨界原子炉システムの理論的モデル次数 (2, 2) の ARMA モデルでは未臨界度推

定が不可能となる。この問題を回避する一つの方法として、A R M A モデルの次数を高くして、初めから未臨界原子炉とローパスフィルタの複合形のシステムとしてパラメータ同定を行い、高次 A R M A モデルのパラメータから必要な情報を取り出すことが考えられる。しかし、このような方法は計算量を増大させる上、本研究の最終目的である非定常時のパラメータ推定の過渡特性を悪くする^[10]。

そこで、本研究ではサンプリング周波数をナイキスト周波数よりやや低い 888.888 Hz (Sampling Time = 0.001125 sec)に設定し、エリアシングを意識的に発生させ、ローパスフィルタの減衰特性とエリアシングによる周波数成分の折り返し特性とを互いに相殺させ、スペクトル的にローパスフィルタの特性が時系列データに現れないようにする方法を採用している。

次項では、信号のスペクトルにローパスフィルタの特性が残った場合、及びエリアシングを生じた場合の未臨界度推定について述べる。

3.4.3 実データによる解析

この項では、パラメータ同定を行う時系列データの周波数特性に①エリアシング防止用のローパスフィルタの特性が現れている場合、②サンプリング周波数が低すぎてエリアシングを生じた場合、③3.4.2 項で述べたようにローパスフィルタの特性とエリアシングの影響を互いに相殺させた場合、の三つの場合についてそれぞれの未臨界度推定がどのようになるかを比較・検証する。

未臨界度が 0.289 \$ で定常運転された原子炉から得た中性子検出器・出力搖らぎを、上記の三つの場合に対応してそれぞれ 1000 Hz, 800 Hz, 888.888... Hz の周波数でサンプリングし、それぞれの時系列データに対し

- ① E L S 法(Projection = OFFF)による A R M A (2, 2) モデル同定
- ② R P E 法($\mu_k = 0.999$, Projection = OFF)による A R M A モデル(1, 1) 同定

を行い未臨界度推定を行った。この結果を以下にまとめる。ただし、それぞれの時系列データは低周波成分を除去するために 0.02 Hz にカットオフ周波数を有する 1 次のバタワース特性デジタルフィルタを通してある。

[1] E L S 法による A R M A (2 , 2) モデル同定の結果

A R M A (2 , 2) モデルは本研究の中心となるモデルであるが、Fig. 3.6 に示すようにいずれの場合も未臨界度の推定に問題はないと言える。推定値が安定した状態でにある 240,000 データを使用して得られたパラメータによる A R M A (2 , 2) モデルのパワースペクトラム密度 (P S D) と、高速フーリエ変換法 (F F T) (1024 点による P S D の 600 サンプル平均) による P S D とを Fig. 3.7 に示す。エリアシングを生じている場合 (Fig. 3.7 (b)) も、ローパスフィルタの特性が現れている場合 (Fig. 3.7 (c)) も、 F F T 法により求められた P S D と A R M A (2 , 2) モデルによる P S D は非常に良く一致している。

800 Hz サンプリングではエリアシングの影響が最も強く影響する 300 ~ 400 Hz 付近の周波数成分の折り返しが、また 1000 Hz サンプリングでは 300 Hz 付近からのローパスフィルタの折れ点の特性が正確に A R M A (2 , 2) モデル同定されていることになる。これは、本来未臨界原子炉のシステムを A R M A モデルで表現するには 2 次のモデルが必要であるにもかかわらず、実際には未臨界度 0.289 \$ の理論モデルの P S D (Fig. 3.8) に見られる 0.001 Hz 付近の低周波成分の盛り上がりは同定出来ないことに起因している。すなわち、未臨界システムの理論的 A R M A モデルは (2 , 2) モデルであるが、採用しているサンプリング周波数で得られるデータには 0.01 Hz 以下の情報はほとんど含まれていないため、未臨界システムを表現するモデルとしては高周波側の折れ点で代表される 1 次システムでよいことになり、残りの 1 次分をエリアシングによる周波数成分の折り返し、または、ローパスフィルタの周波数特性の同定に使用していると考えることができる。従って、全体のスペクトルに対しその影響の度合いが小さい場合には、多少のエリアシング効果や、ローパスフィルタの特性が時系列データに含まれていても A R M A (2 , 2) モデルで未臨界度推定が可能であることになる。

しかし、あくまで影響の度合いが小さいことが前提であって、信号のスペクトルにローパスフィルタの折れ点の特性が顕著に現れる場合は、ローパスフィルタの特性を表現するために次数の高いモデルが必要となり、全体で5次か6次のARMAモデルとして同定することが必要となる。しかし、この様に複合形のシステムとみなして同定する場合、仮定したモデルの次数が不当に低いと次の〔2〕で述べるような問題が生じる。

〔2〕 RPE法によるARMA(1,1)同定の結果

〔1〕で述べたように、実際には未臨界原子炉システムの低周波領域の盛り上がり(Fig. 3.8 参照, 0.001 Hz付近)は同定できないことから、未臨界体系は原理的には1次システムでモデル化し、その折れ点周波数から未臨界度を推定することが可能である。しかし、1000 Hzサンプリングの場合、Fig. 3.9 に示すようにローパスフィルタの特性が時系列データに含まれていると正確な未臨界度推定は不可能となる。〔1〕と同様に推定値が安定している240,000データ使用後の推定パラメータから導かれるARMA(2,2)モデルのPSDをFFT(1024点計算, 600サンプル平均)で計算したPSDと比較したものをFig. 3.10に示す。ローパスフィルタの特性とエリアシングの影響を互いに相殺させた888.888…Hzサンプリング(Fig. 3.10(a))の場合では、ARMA(1,1)モデルとFFTによるスペクトルはかなり良い一致を示している。しかし、ローパスフィルタの特性が現れているFig. 3.10(c)の場合では、ARMA(1,1)モデルではローパスフィルタによるスペクトルの変化を十分モデルの中に表現し切れず、ARMA(1,1)モデルの折れ点周波数は未臨界原子炉システムの本来の折れ点周波数から大きくなってしまう。しかし、エリアシングが生じている場合でも、Fig. 3.10(b)のようにエリアシングによる折り返しの周波数成分が小さい場合は、未臨界度推定に与える影響も小さい。

以上の点を考慮すると、ARMAモデル同定によるパラメータ推定を行う場合はサンプリング周波数の選択に対し、一般のデジタル信号処理の常識を超えた配慮が必要であると言える。

3. 5 未臨界度推定の原理とモデリング

3.5.1 未臨界度推定の基本原理

定常状態にある未臨界原子炉システムは、

- ① 遅発中性子一群一点炉近似動特性方程式に従う。
- ② 中性子密度と先行核密度の揺らぎ及び検出器に混入する雑音がガウス白色過程である。

という仮定の下で、次式

$$y(t) + \sum_{i=1}^2 a_i y(t-i) = e(t) + \sum_{j=1}^2 c_j e(t-j) \quad (3.1)$$

で定義されるARMA(2, 2)モデルで表現することができる。ここで $y(t)$ はランダムな時系列、 $e(t)$ はガウス白色時系列である。

このモデルにおける伝達関数は、

$$H(z^{-1}) = \frac{1 + c_1 z^{-1} + c_2 z^{-2}}{1 + a_1 z^{-1} + a_2 z^{-2}} \quad (3.2)$$

である。

一方、未臨界原子炉システムの周波数応答は Fig. 3.8 に見られる高周波側 1 次遅れを表す 1 次システムで近似でき、その折れ点角周波数 ω_c は炉物理定数として

τ : 中性子寿命

γ : 遅発中性子が減速過程での消滅を免れて熱中性子になる確率 /

即発中性子が減速過程での消滅を免れて熱中性子になる確率

β : 遅発中性子の割合

ρ_0 : 未臨界度

を与えた場合、

$$\omega_c = \frac{\gamma \beta - \rho_0}{l} \quad (3.3)$$

で表される。ここで、 l 、 γ 、 β はそのシステムに固有な値であるから、周波数応答の高周波側の折れ点周波数と未臨界度は1対1に対応する。

従って、中性子検出器信号の揺らぎを第2章で述べたARMAモデル同定アルゴリズムを用いてパラメータ推定し、モデルのスペクトルの折れ点周波数に対応するシステム極から未臨界度を推定することができる。ただし、実際にはARMAモデル同定を行う時系列データには、エリアシングによる周波数成分の折り返しが皆無とは言えず、幾分かの誤差を含む。

3.5.2 実データによるモデルと理論モデル

実際のデータをARMA(2,2)モデル同定して得たモデルのパラメータは理論モデルのパラメータとは全く異なる。これは、用いるデータ量の点からともと情報量が乏しい上に、実際の信号の処理段階でわざわざ低周波成分を除去しているため、理論モデルの低周波側の盛り上がりが実データからは同定できないことに起因している。従って、同定したモデルから得られるスペクトルは、理論的に導かれるモデルから得られるスペクトラムとは低周波部分で異なる。

その、一例として、3.4.3項で用いた未臨界度0.289\$における888.888…Hzサンプリングの時系列データを、ELS法によりARMA(2,2)モデル同定した場合の240,000データ使用後の推定パラメータから得られるPSDと、理論モデルから導出されるPSDとの比較をFig.3.11に示す。なお、理論モデルの構築についてはAppendix Cを参照されたい。

Fig.3.11において明らかに0.1Hz以下のPSDは異なっているが、未臨界度推定の基本情報源となる高周波側での折れ点周波数及び1次遅れ特性はほぼ完全に一致していることから、このARMAモデル同定手法による未臨界度推定が妥当であるといえる。ただし、個々のパラメータが持つ物理的な意味は失われていると考えなければならない。

3.5.3 ARMAモデルの次数選択

実際のデータをARMAモデル同定することによりシステムの未臨界度を推定する場合、ARMAモデルの次数をどのように選ぶべきかを3.5.1及び3.5.2節の結果から再考察する。

理論的ARMAモデルのPSD (Fig.3.8参照) では0.01Hz以下の低周波領域に周波数特性の盛り上がりが見られるが、この様な特性を時系列データから同定しようとする場合、当然それに対して適切なサンプリング周波数を選択しなくてはならない。既に述べたとおり我々は理論的ARMAモデルPSDの高周波側の折れ点周波数に着目しており、この部分をよく表現するARMAモデルの選択が課題である。Fig.3.11に示したように、適当な信号処理を施したデータならば1次のARMAモデルでも高周波側の周波数特性を同定するのには十分であるといえる。このことはむしろ、ARMAモデル同定過程において必要とする計算機メモリ量及び計算量の観点からすれば、2次のモデルと比較して約4分の1で済む1次モデル同定の方が優れているとも言える。しかし、1次のモデル同定には次のような問題点がある。

- ① 多くの解析結果から判断すると、RPE法による1次のARMAモデル同定においてはパラメータの推定値に偏りを生じることがある。その場合でも2次以上のARMAモデルであれば、パラメータ自体に偏りが生じても得られたモデルの2つのシステム極が互い情報を分け合い、結果的に未臨界度に対応したシステム極の偏りが正しい値から大きくずれることがない。それに対して、1次のモデルではパラメータの偏りは直接システム極の偏りとなって現れるためシステム極から未臨界度を推定する本手法には不適切である。3.4.3項でARMA(2,2)モデル同定とARMA(1,1)モデル同定による比較を行ったがFig.3.6とFig.3.9を比較して分かるように、1次のモデルの方が推定値が偏っている。2次のモデルではELS法を用い、1次のモデル同定ではRPE法を用いており、本来ならばELS法による2次のモデルの推定の方が偏りの影響を受け易いにも関わらず、1次のモデルの方に偏りが現れている結果となっており、本手法のようにシステム極を重視する場合、多少冗長であっても2次のモデル同定を行うことが必要であると言える。

- ② 非定常時系列データの A R M A モデルパラメータ同定の場合, A R M A (1, 1) モデル同定のパラメータ変動に対する追随性が 2 次モデル同定よりも緩慢である^[6]. これは, システム自体の変化を 2 つパラメータだけで表現しようとするため, システムの細かい変化を表現できなためである.

3. 6 A R M A モデルからの未臨界度の導出

同定された A R M A モデルから未臨界度を推定するには, A R M A モデルの A R パラメータから周波数応答の高周波側の折れ点周波数に対応するシステム極を計算し, それを未臨界度に較正する必要がある.

そのためには, 色々な未臨界度に対する理論的 A R M A (2, 2) モデルパラメータを計算し, それぞれの未臨界度に対するシステム極 ((3.3)式に対応する極) を計算する. そして各未臨界度に対する極を用いてシステム極から未臨界度へ変換するための較正曲線を作成する. Table 3.1 に理論モデル構築の際に用いた炉物理定数を示す.

また, 極-反応度較正曲線はサンプリング周波数に固有のものであり, Fig. 3.12 にサンプリング周波数

8 8 8 . 8 8 8 ... H z (Sampling Time = 0.001125 sec)

4 4 4 . 4 4 4 ... H z (Sampling Time = 0.002250 sec)

2 2 2 . 2 2 2 ... H z (Sampling Time = 0.004500 sec)

に対応する極-反応度較正曲線を示す.

Table 3.1 Constant of reactor physics.

\bar{t}	1.35×10^{-4} (sec)	$\beta = \sum_{i=1}^6 \beta_i$
$\gamma \beta$	0.0064	
λ	0.077 (sec $^{-1}$)	$\lambda = \frac{\sum_{i=1}^6 \beta_i}{\sum_{i=1}^6 \lambda_i}$
ν	2.54 (fission $^{-1}$)	

Remarks : (1) " \bar{t} " neutron life time.
 (2) " λ " decay constant of precursors.
 (3) " ν " number of neutrons produced per fission.

3. 7 ARMA同定から推定された未臨界度の評価

本研究でARMAモデル同定によって推定された未臨界度の推定精度の評価方法について述べる。

原子炉の深い未臨界度を精度よく推定する手法が整っているとは言えない現状ではあるが、ここでは原子炉は一点炉近似動特性方程式に従うものと仮定し、以下の方法により得られた未臨界度を基準としてARMAモデルパラメータ推定による未臨界度の評価を行っている。

[PROCESS]

1 W臨界状態からロッドドロップ法により制御棒の等価反応度値の測定を行う。ロッドドロップ法により得られた制御棒の等価反応度値の測定結果をTable 3.2 に示す。

なお、未臨界度推定に用いる時系列データの取得時と、ロッドドロップ法による制御棒反応度値測定時との炉心状態を同一にするため、中性子検出器としては未臨界度推定に用いたCICをそのまま用い、この出力(DC成分)をA/D変換して

データレコーダに記録して、反応度の一般的な計算方法である

$$\rho = \frac{n_0 \sum_{i=1}^6 \frac{a_i}{\lambda_i}}{\int_0^\infty n(t) dt} \quad (3.4)$$

に従って反応度を算出した。

Table 3.2 Equivalent reactivity worth of the control rod.

Control rod	Equivalent reactivity worth [\$]
Shim safety	0.7129
Shim safety + Safety #1 + Safety #2	2.259

[P R O C E S S 2]

Fig. 3.13 には臨界時の制御棒体系、臨界体系からシム安全棒のみ全挿入した体系(未臨界体系1)，そして臨界体系からシム安全棒と安全棒#1・#2を全挿入した体系(未臨界体系2)を示している。

[P R O C E S S 1] で得た制御棒等価反応度価値の測定結果から、未臨界体系1の未臨界度は0.7129 \$，未臨界体系2の未臨界度は2.259 \$であるとの結果を得た。

また、未臨界体系1でのC I C出力レベル(Current Amp. の DC 出力)は1.92 V，未臨界体系2では0.64 Vであった。

体系が、一点炉近似に従うとき、外部中性子源が存在する場合の未臨界原子炉定常運転時における出力Nは、中性子寿命をl(sec)，中性子源強度をS，未臨界度を ρ_0 とすれば、

$$N = \frac{l}{(\rho_0)} S \quad (3.5)$$

で表される。ここで l , S は定数であるから、未臨界体系 1 及び未臨界体系 2 での未臨界度と出力レベルを式(3.5)に代入することにより lS の値を求めることができ、その平均をとると、 $lS = 1.4$ であった。

この結果を用いて、各未臨界体系における出力レベルから式(3.5)に従ってリファレンス未臨界度を設定している。

上記の方法により求めた C I C 出力レベルに対するリファレンス未臨界度較正曲線を Fig. 3.14 に示す。ただし、平均の段階で 2.75 % の平均誤差を含み、それ以外にも認識不可能な誤差が含まれることを考慮すると、リファレンス未臨界度自体その精度は必ずしも良くないと思われる。

従って、以後の議論では上記の方法によって算出されるリファレンス未臨界度を参考に A R M A 同定から推定される未臨界度を評価する。

4 信号の低周波成分と未臨界度推定

この章では、未臨界度常状態にある近畿大学原子炉から取得した時系列データの解析を通して、信号に含まれる低周波成分が未臨界度推定値にどのような影響を及ぼすかを明らかにする。ここでは未臨界原子炉モデルとしてARMA(2,2)モデルを用い、このモデルのパラメータ推定から未臨界度の推定を行う。

第1節では、先ずサンプリング周波数が未臨界度推定にどのような影響を及ぼすかを調べるために、サンプリング周波数888.888…Hzのマスター時系列データを等価的に444.444…Hz及び222.222…Hzサンプリング時系列データに変換する方法について説明する。

第2節では、時系列データ中に含まれる低周波成分を除去するために導入したハイパスフィルタのカットオフ周波数の選択が未臨界度推定に与える影響について述べる。また、ハイパスフィルタがDC成分の除去だけでなく不要な低周波成分を除去するという点で未臨界度推定に必要であることを説明する。

第3節では、時系列データ取得時のサンプリング周波数が未臨界度の推定時間に与える影響、特に高いサンプリング周波数でA/D変換して単位時間当たりに得られる情報量を見かけ上多くすることが、未臨界度推定にどのような影響を及ぼすかについて検討する。

第4節では、A/D変換時の量子化誤差が未臨界度推定に与える影響を明らかにし、適正な推定精度を得るために必要なビット数について検討する。

4. 1 マスター時系列データからのサンプリング周波数変換 —基本時系列データの作成—

第3章でも述べたように、近畿大学原子炉の実験では時系列データの取得に際し、アナログ信号段階で500Hzにカットオフ周波数を有するローパスフィルタを通

し、サンプリング周波数 $888.888\cdots \text{Hz}$ (Sampling Time = 0.001125 sec) でマスター時系列データを作成している。ここでは、マスター時系列データから本節以降の解析に用いるサンプリング周波数 $444.444\cdots \text{Hz}$ (Sampling Time = 0.002250 sec) データ、及び $222.222\cdots \text{Hz}$ (Sampling Time = 0.004500 sec) 時系列データを作成するサンプリング周波数変換法について説明する。

[1]

次の節で述べるマスター時系列データ分周サンプリングに際し発生する可能性があるエリアシングを防止するため、マスター時系列データをバタワース特性を持つディジタルローパスフィルタを通す。このフィルタの特性を Table 4.1 に示す。

Table 4.1 Characteristic of Low-Pass Filter for anti-aliasing.

	Cutoff frequency [Hz]	Filter order
for conversion from $888.888\cdots \text{Hz}$ to $444.444\cdots \text{Hz}$	222.222...	4
for conversion from $888.888\cdots \text{Hz}$ to $222.222\cdots \text{Hz}$	111.111...	4

[2]

アナログフィルタでは回路を構成する素子の誤差の影響などを受け、周波数特性が設計値を完全に満足することはできないが、計算機を用いて実現するディジタルフィルタは正確なカットオフ周波数と、急峻な減衰量が実現できる (Fig. 4.1.a, Fig. 4.1.b)。そこで、Table 4.1 に示したローパスフィルタで処理された $888.888\cdots \text{Hz}$ サンプリングのマスター時系列データから、ディジタル信号データを 2 回に 1 回の割合で分周サンプリングする事により、 $444.444\cdots \text{Hz}$ サンプリングの時系列データを、同じく 4 回に 1 回の割合で分周サンプリングする事で $222.222\cdots \text{Hz}$ サンプリングの時系列データを作成することができる。

以後、マスター時系列データ及び、上記のプロセスによって作成された時系列データを基本時系列データと呼ぶ。本節において未臨界度推定に用いる基本時系列データの特性と、以後の便宜上のためにデータの名前を Table 4.2 に示す。

Table 4.2 Reference table for the fundamental time series.

Reference subcriti- cality [\\$]	Sampling frequency [Hz]	Name of the fundamental time series	Minimum	Maximum	Bias
2.19	888.888…	ID003.888	-16908	20484	1907.0
	444.444…	ID003.444	-13562	16556	1949.5
	222.222…	ID003.222	-11719	13510	1947.4
1.25	888.888…	ID005.888	-19543	16626	255.13
	444.444…	ID005.444	-17695	15068	187.63
	222.222…	ID005.222	-15500	13144	188.98
0.289	888.888…	ID010.888	-19814	20085	807.33
	444.444…	ID010.444	-21768	18232	736.60
	222.222…	ID010.222	-18147	18744	743.15

4. 2 低周波成分除去用ハイパスフィルタの選択と未臨界度推定

基本的な時系列データの取得にあたっては、エリアシング防止が重要であることは言うまでもないが、ARMAモデル・オンラインパラメータ推定アルゴリズムによるシステム同定を行う場合、信号のバイアス成分（DC成分）並びに不必要的低周波成分を除去し、要求されるパラメータ推定に必要な情報のみを抽出する事が重要である。

炉内に配置された中性子検出器からの信号は炉出力としてのDC成分がベースにあるため、ARMAモデル・オンラインパラメータ推定を精度良く行うためにはこのDC成分(バイアス成分)を可能な限り除去しなければならない。出力が一定で安定した定常状態の場合は、バイアス成分に見合う逆バイアスをかけることでこの問題に対処することも可能である。しかし、本研究が目的としている臨界安全監視モニターでは、そのバイアス成分自身が刻々と変化する場合にも適用できるアルゴリズムでなくてはならないため、逆バイアスを印加することによるバイアス成分除去法は実用的ではない。

そこで、ここでは検出器からの信号をハイパスフィルタに通すことによって低周

波成分を除去する方法を採用する。この方法は単にバイアス成分を除去するだけでなく、未臨界度推定に不要な低周波成分を減衰させるという目的にも効果がある^[6]。しかし、パラメータ同定される信号をハイパスフィルタに通すということは、第3章第4節第2項で述べたローパスフィルタの場合と同様、本来同定すべき未臨界原子炉のシステムにハイパスフィルタの特性が加わった複合形システムのパラメータ推定となる恐れがある。

昨年度の報告書で述べたようにこれまでの研究では、「同定する未臨界原子炉システムの高周波側の折れ点周波数の1/10～1/100にカットオフ周波数を有するハイパスフィルタを導入する事により比較的良好未臨界度推定値が得られる」という大略的な知見を得ており、本節では原子炉から得られた定常時系列データを用いて、ハイパスフィルタの特性が未臨界度推定の精度・推定時間に与える影響を、時系列データのサンプリング周波数と関連させて詳細に検討する。

4.2.1 データ解析の概要

この項では、Table 4.2 に示した各基本時系列データに対して、ハイパスフィルタのカットオフ周波数を変化させて低周波成分を除去し、それぞれの時系列データに対し E L S 法による A R M A (2, 2) モデル同定を行い、未臨界度の推定を行う。

ハイパスフィルタには1次のバタワース特性を有するディジタルフィルタを用いている。Table 4.3, Table 4.4, Table 4.5 に解析に用いたハイパスフィルタのカットオフ周波数とフィルタ通過後の時系列データのバイアスを示す。

I D 0 0 3 シリーズのデータに対する未臨界度推定結果を Fig. 4.2.a, Fig. 4.2.b, Fig. 4.2.c に、I D 0 0 5 のシリーズについては Fig. 4.3.a, Fig. 4.3.b, Fig. 4.3.c に、I D 0 1 0 のシリーズについては Fig. 4.4.a, Fig. 4.4.b, Fig. 4.4.c にそれぞれ示す。ただし、グラフを見やすくするために Table 4.3, Table 4.4, Table 4.5 で表記したハイパスフィルタのうち一部の結果の表示は割愛している。

Table 4.3 Cutoff frequency of High-Pass filter and the corresponding bias of the time series(ID003 series).

ID003. 888		ID003. 444		ID003. 222	
Cutoff freq. [Hz]	Bias	Cutoff freq. [Hz]	Bias	Cutoff freq. [Hz]	Bias
0.005	782.26	0.02	110.40	0.04	30.820
0.01	439.19	0.04	52.403	0.06	20.454
0.02	228.35	0.06	34.132	0.08	15.171
0.04	119.89	0.08	25.461	0.10	11.960
0.06	81.981	0.10	20.455	0.20	5.5739
0.08	62.114	0.20	10.719	0.40	2.6761
0.10	49.800	0.40	5.5334	0.60	1.8176
0.20	24.299	0.60	3.6089	0.80	1.4069
		0.80	2.5982	1.00	1.1597
		1.00	1.9904	2.00	0.66345

Table 4.4 Cutoff frequency of High-Pass filter and the corresponding bias of the time series(ID005 series).

ID005. 888		ID005. 444		ID005. 222	
Cutoff freq. [Hz]	Bias	Cutoff freq. [Hz]	Bias	Cutoff freq. [Hz]	Bias
0.005	102.98	0.02	29.568	0.04	4.3688
0.01	55.641	0.04	16.810	0.06	3.1576
0.02	28.306	0.06	11.725	0.08	2.5584
0.04	14.503	0.08	9.2271	0.10	2.1957
0.06	9.2132	0.10	7.7962	0.20	1.3955
0.08	6.4955	0.20	5.0850	0.40	0.87895
0.10	4.9138	0.40	3.5657	0.60	0.70218
0.20	1.7505	0.60	2.8663	0.80	0.62528
		0.80	2.4111	1.00	0.58678
		1.00	2.0916	2.00	0.50188

Table 4.5 Cutoff frequency of High-Pass filter and the corresponding bias of the time series(ID010 series).

ID010.888		ID010.444		ID010.222	
Cutoff freq. [Hz]	Bias	Cutoff freq. [Hz]	Bias	Cutoff freq. [Hz]	Bias
0.005	141.46	0.02	8.8243	0.04	9.0910
0.01	52.273	0.04	6.5841	0.06	6.7565
0.02	26.272	0.06	5.6998	0.08	5.2169
0.04	9.3434	0.08	4.8337	0.10	4.1501
0.06	-0.3954	0.10	4.0350	0.20	1.7035
0.08	-5.9669	0.20	1.5919	0.40	0.36150
0.10	-9.2496	0.40	1.7708	0.60	0.006750
0.20	-13.516	0.60	-0.070899	0.80	-0.093033
		0.80	-0.089799	1.00	-0.14635
		1.00	-0.068665	2.00	-0.12300

4.2.2 ハイパスフィルタの選択と推定値における定性的知見

Fig. 4.2.a ~ Fig. 4.4.c から、ハイパスフィルタのカットオフ周波数のわずかな違いが、未臨界度の推定値の精度に及ぼす影響は、極めて大きいものであることが確認される。定性的には次のようなことが言える。

- ① ハイパスフィルタのカットオフ周波数が低すぎて十分なバイアス除去ができない場合は、実際よりも浅く未臨界度を推定する。
- ② ハイパスフィルタのカットオフ周波数が適正值より高い場合、バイアスの低減効果は大きいが推定値は実際よりも深い方へ偏る。これはハイパスフィルタ自身の影響が強くなり、本来同定すべき未臨界原子炉のシステムがハイパスフィルタとの複合形のシステムとなっていることが原因であると考えられる。
- ③ サンプリング周波数の観点から推定状況を考察した場合、計算に用いるデータ数が同じであれば、当然サンプリング周波数が低い程より低周波の情報を抽出できることになり、低周波除去用のハイパスフィルタの特性に対

して敏感になる。

4.2.3 ハイパスフィルタの適正カットオフ周波数

各基本時系列データに対して適正と思われるハイパスフィルタのカットオフ周波数をTable 4.6に示す。

Table 4.6 Reasonable cutoff frequency of High-Pass filter to the fundamental time series.

Time series	Cutoff freq. [Hz]	Time series	Cutoff freq. [Hz]	Time series	Cutoff freq. [Hz]
ID003.888	0.02	ID005.888	0.02	ID010.888	0.02
ID003.444	0.2	ID005.444	0.2	ID010.444	0.2
ID003.222	0.4	ID005.222	0.4 or 0.6	ID010.222	0.2

Table 4.2より、各基本時系列のシリーズにおける初期バイアスは ID003, ID010, ID005 の順に大きいが、初期バイアスに応じてハイパスフィルタのカットオフ周波数を選択することよりも、Table 4.6 はむしろサンプリング周波数との関連によるハイパスフィルタのカットオフ周波数の選択の必要性を示している。

Table 4.6 に示したハイパスフィルタの適正カットオフ周波数の決定条件として、元の時系列データに対するハイパスフィルタのDC成分低減率(DC component reduction ratio)の面から考察を加える。まずDC成分低減率を、

$$\text{DC成分低減率} = \frac{\text{ハイパスフィルタ通過後のバイアス}}{\text{基本時系列の初期バイアス(Table 4.2に表示)}} \quad (4.1)$$

と定義する。

Fig. 4.5に、888.888…Hz, 444.444…Hz, 222.222…Hz の各サンプリング周波数に対する ID003, ID005, ID010 の各シリ

ズのDC成分低減率を示す。これらの図はカットオフ周波数が高くなるにつれて効果的にバイアスは低減してくるが、Table 4.6に示した適正カットオフ周波数を超えると、それ以上にカットオフ周波数を上昇させてもDC成分低減率はさほど改善されなくなることを示している。

このことから、低周波成分除去用のハイパスフィルタは付いては、次の2点を考慮する事が必要である。

- ① システム同定の立場からは、ハイパスフィルタ自身の存在は複合形のシステム同定を必要とする可能性があるという点で好ましくなく、サンプリング周波数に比べてカットオフ周波数はなるべく低周波側で、かつフィルタ次数も低次であることが好ましい。
- ② を用いたARMAモデルパラメータ逐次推定法による未臨界度推定を行う場合、時系列データのバイアスを一定以上除去する必要がある。

したがって、ハイパスフィルタの最適なカットオフ周波数は、「適正なDC成分低減率を得られる保証の下で、可能な限り低い周波数」という条件から決定されるべきであり、Fig. 4.5 に示すようなDC成分低減率曲線において、DC成分低減率 R をハイパスフィルタのカットオフ周波数 f_c の関数としたとき、その微係数、

$$\frac{dR(f_c)}{df_c} \quad (4.2)$$

が大きく変化する近傍のカットオフ周波数を選択することにより、より適正な推定精度を維持できる。

4.2.4 不要低周波成分除去という側面からのハイパスフィルタの必要性

ARMAモデル同定による未臨界度推定を行うにあたって、バイアスの除去という側面からのハイパスフィルタの必要性は上に述べてきた。この項では、時系列データ中に含まれるDC成分以外の不要な低周波成分を除去するという側面からハイ

パスフィルタの必要性を述べる。

バイアスの値が零ということが保証されている定常シミュレーション時系列データにおいても、適当なカットオフ周波数を有するハイパスフィルタを導入することによって未臨界度推定能力が改善されることがこれまでの研究で既に明らかになっている^[6]。本研究では、実データにおいても単なるDC成分の除去だけではなく、ハイパスフィルタの導入が、不要な低周波成分を同時に除去することによって未臨界度推定性能に貢献することを示す。

時系列データからDC成分のみを除去する方法で最も確実なのは、その時系列データの平均値を求め、各データから引くという作業を行うことである。ただしこの方法は、DC成分が一定値の定常時系列データにおいてのみ適用可能である。この方法によって各基本時系列データを処理し、再度バイアスを計算した結果をTable 4.7に示す。なお、以後の説明の便宜上この方法を平均値除去法(Zero Mean Value Method)と呼ぶ。

Table 4.7 Bias of the fundamental time series processed by Zero Mean Value Method.

Time series	Bias	Time series	Bias
ID003.888	-5.99098×10^{-11}	ID005.222	-9.96937×10^{-12}
ID003.444	8.27373×10^{-12}		
ID003.222	5.10935×10^{-12}	ID010.888	-4.15994×10^{-11}
ID005.888	1.63704×10^{-11}	ID010.444	-4.83144×10^{-11}
ID005.444	-3.43012×10^{-11}	ID010.222	-2.03885×10^{-11}

Table 4.7に示す結果では、各時系列データのバイアスは必ずしも零とはっていない。これは定常状態の時系列データを取得したとはいえ、実際の原子炉出力はDC成分そのもののが多少の変動をしているためであると考えられる。しかし、一応にハイパスフィルタの処理によるバイアス(Table 4.3, Table 4.4, Table 4.5)と比較して相当小さな値が実現できる。

基本時系列データを、平均値除去法と、Table 4.6に示した適正カットオフ周波数を有するハイパスフィルタを用いて処理する。この各時系列データをELS法を用

いて A R M A (2 , 2) モデル同定し、未臨界度の推定を行った結果を、 I D 0 0 3 シリーズは Fig. 4. 6. a に、 I D 0 0 5 シリーズは Fig. 4. 6. b に、 I D 0 1 0 シリーズは Fig. 4. 6. c に各サンプリング周波数ごとに示す。なお、参考のために低周波成分の除去を行わずに各基本時系列データをそのまま同定した場合の結果も含まれている。

これらの結果から、次のような知見を得ることができる。

- ① 平均値除去法によって単に D C 成分のみを除去した場合に比べて、適正カットオフ周波数を有するハイパスフィルタで処理したものの方が未臨界度を精度良く推定できる。このことは特に、サンプリング周波数が低い場合において顕著である。
- ② 未臨界度が浅い場合すなわち炉出力自体が高い場合、両者には大きな違いは認められない。

上記の知見から、出力レベルが低く、かつサンプリング周波数が低い場合に、 D C 成分以外の低周波成分が未臨界度推定に与える影響が大きくなることが理解される。未臨界度推定の原理に立ち返ると、時系列データに含まれる情報として、未臨界度に対応する高周波側折れ点周波数近傍での 1 次遅れの特性が信号の P S D に顕著に現れていることが精度の良い未臨界度推定をするための必要条件である。逆に、低周波側で周波数特性に顕著な特徴がある場合、 A R M A モデル同定ではその特徴もモデルとして同定しようとするため、本来の目的である未臨界原子炉システムの高周波側の折れ点の情報は不正確となる。以下に、特に時系列データのサンプリング周波数が低い場合にその影響を受けやすいことを説明する。

例えば、 0.2 H z 付近に何らかの特徴があるような信号をサンプリングすると考える。この信号を離散化した場合、時系列データにおいて 0.2 H z 成分のうねりは 8 8 8 . 8 8 8 … H z サンプリング時には約 4 4 4 4 データに 1 回のうねりとなるのに対して、 4 4 4 . 4 4 4 … H z サンプリング時では約 2 2 2 2 データに 1 回、 2 2 2 . 2 2 2 … H z サンプリング時では約 1 1 1 1 データに 1 回となる。従って、単位データ量に占める低周波成分の情報量は、サンプリング周波数が低いときほど多くなるといえる。サンプリングという行為によって離散化された時系列データにはサンプリング周波数の情報は含まれていない。従って、低周波成分の情報が単位データ量に占める割合が相対的に多くなる低いサンプリング周波数で得た時系列データを A R M A モデル同定する場合には、効果的に不要な低周波成分を除去することが

精度の良い未臨界度推定を行うために重要であると考えられる。

4. 3 時系列データのサンプリング周波数と推定時間

近畿大学原子炉で取得した時系列データの高周波側の折れ点周波数は、未臨界度 $2.19\$$ で 24.1 Hz 付近、未臨界度 $0.289\$$ で 9.7 Hz 付近である。また、この折れ点周波数以上の周波数特性はほぼ1次遅れ特性を示すことから、近畿大学原子炉の場合、時系列データを取得する際のサンプリング周波数としては、折れ点周波数の1デカード高周波側の $250 \sim 300\text{ Hz}$ でも良いことになる。しかし、R P E法によるオンラインARMAモデル同定を行った場合、同定を開始した後、推定値が真値へ漸近するまでには、ある一定量以上のデータ数が必要であり、そのデータ数を実時間に換算すると 100 秒 を超えることもある。これでは本来のオンライン推定の意味が失われることになる。そこで、単位時間当たりのデータ数を増加させる手段としてサンプリング周波数を高くするということが考えられる。

例えば、1秒間のアナログ信号をサンプリングしてディジタル時系列データとした場合、サンプリング周波数 $888.888\cdots\text{ Hz}$ では約889データ、 $444.44\cdots\text{ Hz}$ では約444データ、 $222.222\cdots\text{ Hz}$ では約222データとなる。すなわち情報源は同一でもサンプリング周波数を高くすることで見かけ上のデータ量は増加したことになる。

本節では、サンプリング周波数を高く(高周波サンプリングと呼ぶ)することにより単位時間当たりの時系列データ量を増加させ、同定アルゴリズムにパラメータ推定の機会をより多く与え、推定値の真値への漸近を時間的に加速させることが可能かどうかを検討する。

4.3.1 解析の概要

まず、Table 4.2に示した各基本時系列データをTable 4.6で示した適正カットオフ周波数を有する低周波成分除去1次バタワース特性ディジタルフィルタにより処理し、次にこの時系列データを、Table 4.8に示すアルゴリズムを用いて、ARMA

(2,2)同定をし、未臨界度推定を行う。

Table 4.8 Identification algorithm for analysis.

Time series	Algorithm	F. factor λ_0	μ_λ	C. factor μ_K	Projection Algorithm
ID003.888	RPE	1.0	1.0	0.9999	ON
ID005.888	ELS	1.0	---	1.0	OFF
ID010.888	ELS	1.0	---	1.0	OFF
ID003.444	ELS	1.0	---	1.0	OFF
ID005.444	ELS	1.0	---	1.0	OFF
ID010.444	ELS	1.0	---	1.0	OFF
ID003.222	ELS	1.0	---	1.0	OFF
ID005.222	ELS	1.0	---	1.0	OFF
ID010.222	ELS	1.0	---	1.0	OFF

Remarks : (1) "F. factor" means "Forgetting factor".
 (2) "C. factor" means "Contraction factor".
 (3) Refer to Chapter 2 for λ_0 , μ_λ , and μ_K .
 (4) "---" means invalidity of the application.

なお、アルゴリズムの選択にあたっては、定常時系列データの推定であることと、経験的な知識を要するファクターを除外するということを考慮してRPE法の中では最もシンプルな同定手法であるELS法を優先的に用いることにした。ただし、推定値の偏りが大きく生じる場合には、残差の白色化を行うRPE法を採用した。また、その場合にはProjection Algorithmを用いている。

推定に用いたデータ数はいずれも実時間で約270秒であり、それぞれのサンプリング周波数の時系列データにおける同定に使用したデータ数は、

Sampling frequency 888.888...Hz → 240000 Data

Sampling frequency 444.444...Hz → 120000 Data

Sampling frequency 222.222...Hz → 60000 Data

である。

未臨界度推定の結果は各サンプリング周波数ごとに888.888...HzのシリーズをFig. 4.7.aに、444.444...HzのシリーズをFig. 4.7.bに、222.222...HzのシリーズをFig. 4.7.cにそれぞれ示す。

4.3.2 時系列データのサンプリング周波数と推定時間に関する定性的知見

4.3.1項における計算結果を基に、推定値が同定開始後、リファレンス未臨界度に漸近し、リファレンス未臨界度±10¢領域に入った後、収束に向かい始めるおよその時間をTable 4.9にまとめる。

Table 4.9 Time required for estimation of subcriticality .

Time series	Time(sec)	Time series	Time(sec)	Time series	Time(sec)
ID003.888	7.2	ID003.444	16.2	ID003.222	105.3
ID005.888	11.7	ID005.444	11.7	ID005.222	99.9
ID010.888	4.5	ID010.444	4.5	ID010.222	5.4

Fig. 4.7.a, Fig. 4.7.b, Fig. 4.7.c及びTable 4.9から、定性的に次の知見が得られる。

- ① サンプリング周波数を高くすることは、推定に要する時間を短縮する上で効果がある方法であると言える。しかし、単位時間当たりのデータ量の増加は必ずしも線形的に推定時間の短縮にはつながらない。このことについては高周波サンプリング上の問題点と共に、次項で詳しく考察する。
- ② 近畿大学原子炉を模擬して、未臨界度が0.5\$, 1\$, 2\$の場合で、各々、サンプリング周波数200Hzサンプリング及び500Hzのシミュレーション時系列データを作成し、ARMAモデル同定による未臨界度推定を行った場合、サンプリング周波数による推定性能には違いはないことを確認している。しかし、本研究では特に未臨界度の深い時には、時系列データのサンプリング周波数の違いが推定時間に大きな影響を与えることが観察される。

4.3.3 高周波サンプリングの問題点と限界

4.3.2項に示したように、高いサンプリング周波数でサンプリングする事は推定時間を短縮する上で有効な手段である。しかしその一方で、サンプリング周波数を高くすることにより、単位時間当たりに処理すべきデータ量が線形的に増加するのに對して、必ずしもそのデータ量の増加が線形的に推定時間の短縮となって顯在化してこない。この項では高周波サンプリングの問題点、及びその限界について考察する。

4.3.2項で示した結果より、高周波サンプリングの推定時間に与える効果は未臨界度が深くなるにつれて顯著であり、未臨界度が浅い側ではその効果は小さい。この原因の一つとして未臨界原子炉の高周波側の折れ点周波数が未臨界度が深くなるにつれて高周波側へシフトすることが考えられる。しかし、上述したシミュレーションの結果を考慮すると、それのみが原因とは考えられない。そこで、もう一つのファクターとして、時系列データ中に含まれる外部雑音の相対的な大きさが考えられる。リファレンス未臨界度が $2.19\$$, $1.25\$$, $0.289\$$ での、 888.8
 $88\cdots Hz$ サンプリング時系列データをFFT法(1024 Point, 600 Ave-raging)により計算したPSDをFig.4.8に示す。この図から、未臨界度が浅いときには未臨界度が深いときに比べて、未臨界原子炉システムの高周波側の折れ点周波数近傍のPSDが外部雑音源のレベルより高いことが観察される。

これらのことから、未臨界原子炉のシステムの高周波側の折れ点近傍のPSDが相対的に高い場合、すなわち外部雑音源のレベルが相対的に低い場合の時系列データに関しては、低いサンプリング周波数においても比較的短時間に未臨界度推定が可能であるといえる。

定常状態の推定において、サンプリング周波数は高ければ必ずしも良いというわけではなく、観測対象の状況により、その効果に差異ができると考えられる。また一方で、このことは未臨界度が変化する非定常なシステムにおいて一定の推定精度と追従速度を維持するためには、高周波サンプリングの必要性を示唆している。

次に、高周波サンプリングにおける時系列データの特性と信号処理上の問題点について述べる。

- ① 第3章第4節でも述べたように時系列データがローパスフィルタなどの外

部フィルタの特性を含む場合、正確な未臨界度の推定を行うことが難しくなる。従って、同定対象とは無関係な高周波成分を除去してからモデル同定しなくてはならない。サンプリング周波数を高くすることは、ただ単にサンプリングポイントを増やすだけではなくナイキスト周波数以下の高周波成分は全て信号として取り込むことになる。Fig. 4.9に、サンプリング周波数の違いによる未臨界度推定時間の差異がほとんど見られなかった I D 0 1 0 シリーズ(リファレンス未臨界度 0.289\$)における各サンプリング周波数での時系列データの一部を示す。この時系列データにおいて、Table 4.9 の推定に要する時間から未臨界度推定に必要な情報としては 2 2 2.222…Hz サンプリングの情報で十分である。従ってこのとき 888.888…Hz サンプリングでは結果的にサンプリングポイントの増加量は高周波成分を拾うためにのみに費やされ、推定時間の短縮には寄与しないことになる。高周波サンプリングは単位時間当たりのデータ量を増加させて、R P E 法による推定アルゴリズムに対し、パラメータ推定の機会を多く与えると共に、不必要的高周波成分の情報も与えることになる。

- ② 信号計測系のハードウェアの問題としては、高速な信号の変化に対応できる立ち上がり時間を持ったものが必要となる。検出器からの信号を增幅する Current Amp. の立ち上がり時間が充分小さくないと、信号は高周波成分除去型のフィルタを通過したものとなり、Current Amp. 特性がシステムの同定に反映されて、より複雑なモデルの同定が要求されることになる。
- ③ 計算処理系のハードウェア上の問題として、サンプリング周波数の上昇に比例して単位時間当たりの処理データ量も増加する問題がある。オンラインで未臨界度推定するためには、この様な計算機負荷に十分応えることのできる計算機能力性能が必要となる。

高周波サンプリングによって時系列データを取得する場合には、観測対象及び測定環境に注意を払うと共に、以上のような問題点を考慮する必要がある。

5 結論

シミュレーションデータ解析に用いたアルゴリズムをそのまま近畿大学原子炉から取得された時系列データに適用した場合、未臨界度推定値の精度がシミュレーション時系列データに対する結果に比べて良くない。これは、測定系に未知の外乱が加わる上、検出器からの信号は、増幅器、フィルター、A/Dコンバータ等を通過する度に各種の処理を施されるため、信号の質(quality)がシミュレーションデータとは本質的に異なっているため考えられる。特にパラメトリックなスペクトル解析では、限られた数のパラメータでモデルを表現するため、雑音によるスペクトルの歪がパラメータの推定に大きく影響を及ぼす。したがって、観測信号から未臨界度の情報を含む周波数領域のみを最適に抽出する信号処理技術の開発が必要となる。

そこで、本年度は時系列データ中に含まれる低周波成分の未臨界度推定に及ぼす影響を検討するため、

- ① 時系列データ中に含まれる低周波成分の適切な除去法。
- ② 時系列データのサンプリング周波数が推定値に及ぼす効果。

の2点に問題を絞り、近畿大学原子炉において取得したC I C 検出器からの出力信号の揺らぎをR P E 法を主に用いてA R M A モデル同定し、以下の結論を得た。

1. 低周波成分除去用ハイパスフィルタの選択と未臨界度推定

本研究が目的としている臨界安全監視モニターでは、そのバイアス成分自身が刻々と変化する場合にも適用できるアルゴリズムでなくてはならない。そこで、ここでは検出器からの信号をハイパスフィルタに通すことによって低周波成分を除去する方法を採用した。この方法は単にバイアス成分(D C 成分)除去するだけでなく、不要な低周波成分を減衰させるという目的にも効果がある。しかし、パラメータ同定される信号をハイパスフィルタに通すということは、本来同定すべき未臨界原子炉のシステムにハイパスフィルタの特性が加わった複合形システムのパラメータ推定の問題を生じる。

そこで、基本時系列データに対し1次のバタワース特性を有するディジタルフィルタを用い、ハイパスフィルタのカットオフ周波数を変化させて低周波成分を除去

し、それぞれの時系列データに対し E L S 法による A R M A (2 , 2) モデル同定を行い、未臨界度の推定を行った結果、ハイパスフィルタのカットオフ周波数のわずかな違いが未臨界度の推定値の精度に及ぼす影響は極めて大きいものであることが確認され、定性的には次のように知見を得た。

- ① ハイパスフィルタのカットオフ周波数が低すぎて十分なバイアス除去ができない場合は、実際よりも浅く未臨界度を推定する。
- ② ハイパスフィルタのカットオフ周波数が適正值より高い場合、バイアスの低減効果は大きいが推定値は実際よりも深い方へ偏る。これはハイパスフィルタ自身の影響が強くなり、本来同定すべき未臨界原子炉のシステムがハイパスフィルタとの複合形のシステムとなっていることが原因であると考えられる。
- ③ サンプリング周波数の観点から推定状況を考察した場合、計算に用いるデータ数が同じであれば、当然サンプリング周波数が低い程より低周波の情報を抽出できることになり、未臨界度推定精度低周波除去用のハイパスフィルタの特性に対して敏感になる。

2. ハイパスフィルタの適正カットオフ周波数

基本時系列データに対して適正と思われる各種のカットオフ周波数を持つハイパスフィルタを適用しそのデータを解析から、低周波成分除去用のハイパスフィルタは付いては次の 2 点を考慮する事が必要であることが分かった。

- ① システム同定の立場からは、ハイパスフィルタ自身の存在は複合形のシステム同定を要求する可能性があるという観点から有害であるから、サンプリング周波数に比べてカットオフ周波数はなるべく低周波側で、かつフィルタ次数も低次であることが好ましい。
- ② 逐次推定法を用いた A R M A モデル同定による未臨界度推定を行うには、時系列データのバイアスを一定以上除去する必要がある。

したがって、低周波成分除去用のハイパスフィルタの最適なカットオフ周波数は、「適正な D C 成分低減率を得られる保証の下で、可能な限り低い周波数」という条

件から決定されるべきであるが、ハイパスフィルタのカットオフ周波数 f_c の関数である D C 成分低減率の微係数が最も大きく変化する周波数をカットオフ周波数として選択すべきである。

3. 不要低周波成分除去という側面からのハイパスフィルタの必要性

バイアスの除去という意味でハイパスフィルタは必要であるが、また、時系列データ中に含まれる D C 成分以外の不要な低周波成分を除去するという側面からもハイパスフィルタは必要である。本研究では基本時系列データを、平均値除去法と適正カットオフ周波数を有するハイパスフィルタを用いて処理した実データを E L S 法を用いて A R M A (2, 2) モデル同定して未臨界度推定を行い、ハイパスフィルタの導入が不要な低周波成分を除去し未臨界度推定の性能向上に貢献することが示され次のような知見を得た。

- ① 平均値除去法によって単に D C 成分のみを除去した場合に比べて、適正カットオフ周波数を有するハイパスフィルタで処理したものの方が未臨界度を精度良く推定できる。このことは特に、サンプリング周波数が低い場合において顕著である。
- ② 未臨界度が浅い場合すなわち炉出力自体が高い場合、両者には大きな違いは認められない。

このことは逆に、出力レベルが低くかつサンプリング周波数が低い場合に、D C 成分以外の低周波成分が、未臨界度推定に与える影響が大きくなることを示しているとも言える。従って、低周波成分の情報が単位データ量に占める割合が相対的に多くなる低いサンプリング周波数で得た時系列データを A R M A モデル同定する場合には、効果的に不要な低周波成分を除去することが精度の良い未臨界度推定を行うために重要である。

4. 時系列データのサンプリング周波数と推定時間

サンプリング周波数を高く（高周波サンプリングと呼ぶ）することにより単位時

間当たりの時系列データ量を増加させ、同定アルゴリズムに単位時間当たりのパラメータ推定の機会をより多く与え、推定値の真値への漸近を時間的に加速させることが可能かどうかを検討し、以下の結論を得た。

基本時系列データを適正カットオフ周波数を有する低周波成分除去用1次バタワース特性ディジタルフィルタにより処理し、次にこの時系列データをA R M A (2, 2) モデル同定した場合

- ① 高周波サンプリングの未臨界度推定時間に与える効果は未臨界度が深くなるにつれて顕著であり、未臨界度が浅い側ではその効果は小さい。サンプリング周波数を高くすることは、推定に要する時間を短縮する上で効果があると言える。しかし、単位時間当たりのデータ量の増加は必ずしも線形的に推定時間の短縮にはつながらない。
- ② 近畿大学原子炉を模擬したシミュレーション時系列データでは、サンプリング周波数による推定性能の違いは生じないが、本研究で用いたデータの場合、未臨界度の深い時には、時系列データのサンプリング周波数の違いが推定時間に大きな影響を与えることが観察された。

これらは、未臨界原子炉のシステムの高周波側の折れ点周波数近傍のP S Dが相対的に高い場合、すなわち外部雑音源のレベルが相対的に低い場合の時系列データに関しては、低いサンプリング周波数においても比較的短時間に未臨界度推定が可能であることを示している。したがって、定常状態の未臨界度推定においては、サンプリング周波数は高ければ必ずしも良いというわけではなく、観測対象の状況により、その効果に差異があると考えられる。このことは未臨界度が変化する非定常なシステムにおいては、一定の推定精度と追従速度を維持するためには高周波サンプリングの必要性を示唆している。しかし、高周波サンプリングには次のような問題点がある。

- ① 高周波サンプリングは単位時間当たりのデータ量を増加させて、R P E法による推定アルゴリズムに対し、パラメータ推定の機会を多く与えると共に、不必要的高周波成分の情報も与えることになる。
- ② 検出器からの信号を增幅する Current Amp. には高速な信号の変化に対応できる立ち上がり特性を持ったものが必要となる。この立ち上がり時間が充分小さくないと信号は高周波成分除去型のフィルタ特性を持つことになり、

Current Amp. 特性がシステムの同定に反映され、より複雑なモデルの同定が要求されることになる。

- ③ 計算処理系のハードウェア上の問題として、サンプリング周波数の上昇に比例して単位時間当たりの処理データ量も増加する問題がある。オンラインで未臨界度推定するためには、この様な計算機負荷に十分応えることのできる計算機能が必要となる。

6. エリアシング防止用ローパスフィルタの選択について

ARMAモデルパラメータ逐次推定の手法を用いて未臨界度推定を行うにあたっては、スペクトル解析用時系列データ取得の際の常識であるエリアシング防止用ローパスフィルタの使用に関しては、充分な配慮が必要である。取得した時系列データがローパスフィルタの折れ点周波数近傍の周波数特性を含む場合は、それに見合った高次のARMAモデル同定を行わなければならなくなり、高速な未臨界度推定を行い難くなるばかりでなく、未臨界度の推定値に大きな影響を及ぼす。時系列データをできるだけ低次数のARMAモデルで表現し、高速かつ高精度の未臨界度推定を行うためには、意識的にエリアシングを生じるようなサンプリング周波数を選ぶことにより、エリアシング防止用フィルタの特性がスペクトルに現れないようになることが重要になる。したがって、エリアシング防止用フィルタの特性に対応したサンプリング周波数の選択が重要である。

7. 今後の課題

本研究で最後に残された最も重要な課題が、非定常な時系列データに対する本手法の適用である。既に、ある程度の研究を進めているが、変動するパラメータをいかに素早く追跡できるかはアルゴリズムの中の色々な因子が関連しており、新しい手法の研究と併せて継続的な研究を行う必要がある。

参考文献

- [1] 通商産業省・資源エネルギー庁, 「関西電力(株)美浜発電所 2号機蒸気発生機伝熱管損傷事故について」, PP.58-pp.61
- [2] K. Kishida, Physical Langevin model and the time series model in systems far from equilibrium., Physical Review A, vol 25, Num 1, PP. 496-507, JAN(1982)
- [3] Takeo Umeda et al., Experience of ON-LINE Surveillance at ONAGAWA-1 BWR Plant., Proceeding of SMORN-V, Progress in Nuclear Energy, vol. 21, pp. 35-41, 1988
- [4] 森田昌裕・山田澄・住田健二, 「適応フィルターによる臨界安全監視システムの基礎研究」, (社)日本原子力学会「昭和 63 年秋の大会」予稿集, A29, PP. 29
- [5] 森田昌裕, 「適応フィルターによる臨界安全監視手法の開発」, 大阪大学修士論文, 1991
- [6] Lennart Ljung and Torsten Soderstrom, Theory and Practice of Recursive Identification, Massachusetts Institute of Technology, 1983
- [7] 谷萩隆嗣, 「ディジタル信号処理の理論 3 推定・適応信号処理」, PP. 74, コロナ社(1986)
- [8] V. Solo, Time series recursions and stochastic approximation., PhD dissertation, The Australian National University, Canberra, Australia, 1978
- [9] 木村英紀, 「ディジタル信号処理と制御」, 昭晃堂, 1982
- [10] 山田澄, 「適応フィルタによる臨界安全監視システム開発の基礎研究」, 近畿大学原子炉等利用共同研究経過報告書平成 2 年度, 大阪大学工学部
- [11] J. E. Hoogen et al., Summary of the Benchmark Test on Artificial Noise Data, Proceeding of SMORN-V, Progress in Nuclear Energy, vol. 21, pp. 815-824, 1988
- [12] Zhong-Qi Qiu et al., An adaptive LMS Algorithm with a Quick Tracking Property for Time Varying Parameter Estimation., 電子情報通信学会論文誌 A, vol. J72-A, No. 7, PP. 1038-1044, JUL(1989)

Appendix A

MAパラメータによる式誤差の白色化

Fig. 2.1に示す線形システムモデルにおいてその出力は、

$$y(t) = \frac{B(z^{-1})}{A(z^{-1})} u_t + v(t) \quad (\text{A.1})$$

で表され、一方、推定システムモデルによる式誤差 $v(t)$ は、

$$v(t) = A(z^{-1})y(t) - B(z^{-1})u(t) \quad (\text{A.2})$$

で表される。一般に式誤差は白色でないため、推定値に偏りを生じる。そこで式誤差を線形システムとして近似し MA モデルで表現すると、

$$v(t) = C(z^{-1})e(t) = e(t) + \sum_{i=1}^n c_i e(t-i) \quad (\text{A.3})$$

表わされる。ただし、 $e(t)$ は白色時系列である。

式(A.2), (A.3)より ARMAX モデル

$$A(z^{-1})y(t) = B(z^{-1})u(t) + C(z^{-1})e(t) \quad (\text{A.4})$$

を得る。式(A.4)より、

$$A(z^{-1}) \frac{1}{C(z^{-1})} y(t) = B(z^{-1}) \frac{1}{C(z^{-1})} u(t) + e(t) \quad (\text{A.5})$$

とし、ここで、

$$\tilde{y}(t) = \frac{1}{C(z^{-1})} y(t) \quad (\text{A.6})$$

$$\tilde{u}(t) = \frac{1}{C(z^{-1})} u(t) \quad (\text{A.7})$$

と置き換えると、式(A.5)は、

$$A(z^{-1})\tilde{y}(t) = B(z^{-1})\tilde{u}(t) + e(t) \quad (\text{A.8})$$

となり、式誤差が白色化されることから不偏一致推定量が得られる。このときに、

$\tilde{y}(t)$, $\tilde{u}(t)$, $\tilde{v}(t)$ は、

$$\tilde{y}(t) = y(t) - \sum_{i=1}^n c_i \tilde{y}(t-i) \quad (\text{A.9})$$

$$\tilde{u}(t) = u(t) - \sum_{i=1}^n c_i \tilde{u}(t-i) \quad (\text{A.10})$$

$$\tilde{v}(t) = v(t) - \sum_{i=1}^n c_i \tilde{v}(t-i) \quad (\text{A.11})$$

によって生成される。

Appendix B

縮約係数 (Contraction Factor) の作用

時刻 t における MA 部の推定値を用いて、その伝達関数を

$$\hat{C}_t(z^{-1}) = 1 + c_{t1}z^{-1} + c_{t2}z^{-2} + \cdots + c_{tn}z^{-n} \quad (\text{B.1})$$

と表したとき、式(B.1)で表されたシステムが安定であるためには、

$$\hat{C}_t(z^{-1}) = 0 \quad (\text{B.2})$$

としたとき、

$$\begin{aligned} 1 + c_{t1}z^{-1} + c_{t2}z^{-2} + \cdots + c_{tn}z^{-n} &= 0 \\ z^n + c_{t1}z^{n-1} + c_{t2}z^{-2} + \cdots + c_{tn} &= 0 \\ (z - p_1)(z - p_2) \cdots (z - p_n) &= 0 \end{aligned} \quad (\text{B.3})$$

から求められる根、 p_1, p_2, \dots, p_n が全て、 z 領域の単位円内にある事が必要十分条件である。

ここで、 z^{-1} に縮約係数 K_t を作用させると、

$$\hat{C}_t(K_t z^{-1}) = 0 \quad (\text{B.4})$$

の根は、

$$(z - K_t p_1)(z - K_t p_2) \cdots (z - K_t p_n) = 0 \quad (\text{B.5})$$

より、 $K_t p_1, K_t p_2, \dots, K_t p_n$ が根として得られ、縮約係数は、

$$0 < K_t < 1 \quad (\text{B.6})$$

で、与えられているので、根の存在領域が縮約される事になる、従って、式(B.2)が安定な場合、縮約されたモデルも安定である。また、式(B.5)を展開する事によって元の方程式に焼き直すと、

$$1 + c_{t1}K_t z^{-1} + c_{t2}K_t^2 z^{-2} + \cdots + c_{tn}K_t^n z^{-n} = 0 \quad (\text{B.7})$$

となり、縮約されたモデルは、

$$\hat{C}_t(K_t z^{-1}) = 1 + c_{t1}K_t z^{-1} + c_{t2}K_t^2 z^{-2} + \cdots + c_{tn}K_t^n z^{-n} \quad (\text{B.8})$$

で表され、式(B.4)の左辺に帰結する。

A p p e n d i x C

未臨界原子炉の A R M A モデルパラメータの導出

定常状態にある未臨界原子炉の物理現象が、遅発中性子 1 群・一点炉近似動特性方程式に従う場合、中性子密度の平均値からの揺らぎ δN 、遅発中性子先行核密度の平均値からの揺らぎ δC は次の Markov-Langevin 方程式を満足する。

$$\frac{d\delta N}{dt} = \frac{k(1-\beta)-1}{l} \delta N + \lambda \delta C + r_1(t) \quad (\text{C.1.a})$$

$$\frac{d\delta C}{dt} = \frac{k\gamma\beta}{l} \delta N - \lambda \delta C + r_2(t) \quad (\text{C.1.b})$$

ここで、

$$r(t) = [r_1(t) \ r_2(t)]^T \quad (\text{C.2})$$

は、平均値 0 の白色不規則力で、その分散は、

$$\langle r(t) r(\tau)^T \rangle = D \delta(t - \tau) \quad (\text{C.3})$$

で与えられる。ここで、 $\langle \cdot \rangle$ は期待値を表す。また、 D は拡散定数行列であり、拡張 Shottky 公式

$$D = Q + F E + E F^T \quad (\text{C.4})$$

によって与えられる。ただし、

$$F = \begin{bmatrix} \frac{k(1-\beta)-1}{l} & \lambda \\ \frac{k\gamma\beta}{l} & -\lambda \end{bmatrix} \quad (\text{C.5})$$

$$E = d i \alpha g \left[\frac{S l}{1-k} - \frac{S l \beta}{(1-k)\lambda} \right] \quad (C.6)$$

$$Q = \frac{k(1-\beta)}{l} \begin{bmatrix} \langle \nu_0(\nu_0-1) \rangle & \langle \nu_0 \nu_1 \rangle \\ \langle \nu_0 \nu_1 \rangle & \langle \nu_1(\nu_1-1) \rangle \end{bmatrix} \quad (C.7)$$

であり、ここで用いる、 k , β , λ , l , γ は、慣用のものである。 ν は、 ^{235}U の核分裂により生じる中性子数であり、 $\nu_0 = \nu(1-\beta)$, $\nu_1 = \nu\beta$ であり、 S は外部中性子源の強さを表す。

ここで、 $x(t) = [\delta N \delta C]^T$ とし、観測雑音を $s(t)$ とすると、式(C.1)は、

$$\frac{d}{dt} s(t) = Fx(t) + r(t) \quad (C.8.a)$$

$$y(t) = Hx(t) + s(t) \quad (C.8.b)$$

と書ける。なお、 $H = [1 \quad 0]$ である。

式(C.8)をサンプリング時間 Δt で離散時間化すると、

$$x(n+1) = \Phi x(n) + f(n+1) \quad (C.9.a)$$

$$y(n) = Hx(n) + v(n) \quad (C.9.b)$$

と書ける。ここで、

$$x(n) = x(n\Delta t) \quad (C.10)$$

$$y(n) = y(n\Delta t) \quad (C.11)$$

$$\Phi = \exp(F\Delta t) \quad (C.12)$$

$$f(n) = \int_{(n-1)\Delta t}^{n\Delta t} e_x p[F \cdot (n\Delta t - \tau)] r(t) d\tau \quad (C.13)$$

$$v(n) = \int_{(n-1)\Delta t}^{n\Delta t} e_x p[F \cdot (n\Delta t - \tau)] s(\tau) d\tau \quad (C.14)$$

$$E[f(m) \cdot f(n)^T] = V \delta_{mn} \quad (C.15)$$

$$E[v(m) \cdot v(n)^T] = R \delta_{mn} \quad (C.16)$$

$$V = \int_0^{\Delta t} e_x p[F\tau] \cdot D \cdot e_x p[F^T\tau] d\tau \quad (C.17)$$

$$R = \int_0^{\Delta t} e_x p[F\tau] \cdot d \cdot e_x p[F^T\tau] d\tau \quad (C.18)$$

である。 δ_{mn} は、クロネッカのデルタである。

次に、 Φ の固有値を、 η_+ , η_- とすると、Sylvesterの固有値展開公式を用いて、

$$\Phi = \exp(F\Delta t) = \begin{bmatrix} \Phi_{11} & \Phi_{12} \\ \Phi_{21} & \Phi_{22} \end{bmatrix}$$

$$= \frac{e x p(\eta_+ \Delta t)}{\eta_+ - \eta_-} \begin{bmatrix} -\alpha - \eta_- & \lambda \\ k \beta / l & -\lambda - \eta_- \end{bmatrix} - \frac{e x p(\eta_- \Delta t)}{\eta_+ - \eta_-} \begin{bmatrix} -\alpha - \eta_+ & \lambda \\ k \beta / l & -\lambda - \eta_+ \end{bmatrix} \quad (C.19)$$

と書ける。ただし、 $\alpha = [1 - k(1 - \beta)] / l$ である。同様にして、 V は、

$$\begin{aligned} V = & \frac{e x p(2\eta_+ \Delta t) - 1}{2\eta_+(\eta_+ - \eta_-)^2} (F - \eta_- I) D (F^T - \eta_- I) \\ & - \frac{e x p(\eta_+ + \eta_-) \Delta t - 1}{(\eta_+ + \eta_-)(\eta_+ - \eta_-)^2} (F - \eta_- I) D (F^T - \eta_+ I) \\ & - \frac{e x p(\eta_+ + \eta_-) \Delta t - 1}{(\eta_+ + \eta_-)(\eta_+ - \eta_-)^2} (F - \eta_+ I) D (F^T - \eta_- I) \\ & + \frac{e x p(2\eta_- \Delta t) - 1}{2\eta_-(\eta_+ - \eta_-)^2} (F - \eta_+ I) D (F^T - \eta_+ I) \end{aligned} \quad (C.20)$$

で与えられる。

式(C.9.a), (C.9.b)に適当な物理定数と白色時系列 $f(n) = [f_1(n) \ f_2(n)]$, $v(n)$ を用意する事により、未臨界原子炉のシミュレーションデータを作成する事ができる。

この様にして、物理モデルはMarkov-Langevin方程式(C.9.a), (C.9.b)で記述できたが、直接観測できるのは $\{y(n)\}$ だけであって、 $f(n)$, $v(n)$ は、直接観測できないため、このままではモデルパラメータ Φ を求める事はできない。そこで、 $\{y(k); k = \dots, n-3, n-2, n-1, n\}$ が与えられたときの $x(n)$ の最適推定値を、 $x(n | n)$ から確率システムの物理モデルを再構築する必要がある。この操作は、過去から現在まで蓄積された時系列データ $\{y(n)\}$ の張るデータ空間へ現在のデータ $y(n)$ を映像する事で、

$$\begin{aligned} x(n | m) & : m 時点迄の観測データから得られる n 時点での状態変数ベクトル \\ & x(n) の最適推定値 \\ y(n | n-1) & : n-1 時点までの観測データから得られる n 時点での観測値 \\ & y(n) の最適推定値 \end{aligned}$$

とし、イノベーション $v(n)$ を、

$$v(n) = y(n) - y(n | n-1) \quad (C.21)$$

と定義すると、物理モデルは等価的に、

$$x(n+1 | n+1) = \Phi x(n | n) + K v(n+1) \quad (C.22.a)$$

$$y(n) = H x(n | n) + (I - HK) v(n) \quad (C.22.b)$$

と表現できる。これがイノベーションモデルである。 K はカルマンゲインと呼ばれる定数ベクトル $[k_1 \ k_2]^T$ で、 2×2 行列 P に関するリカッチ(Riccatti)型方程式

$$P = \Phi \{P - KHP\} \Phi^T + V \quad (\text{C. 23})$$

の一意解

$$P = \begin{bmatrix} P_{11} & P_{12} \\ P_{12} & P_{22} \end{bmatrix} \quad (\text{C. 24})$$

によって、

$$K = PH^T \Gamma^{-1} \quad (\text{C. 25})$$

で与えられる。 Γ は、イノベーションの分散で、

$$\Gamma = HP^T H + R \quad (\text{C. 26})$$

で与えられる。

最後に、式(C.22.a), (C.22.b)より $x(n+1 | n+1)$ を消去し、 $y(n)$ から $y(n)$ への伝達関数を求めるとき、遅発中性子1群・一点炉近似動特性方程式で記述できる原子炉のARMA(2,2)モデル、

$$G(z^{-1}) = \frac{1 + b_1 z^{-1} + b_2 z^{-2}}{1 + a_1 z^{-1} + a_2 z^{-2}} \quad (\text{C. 27})$$

を得る。このとき、ARMAモデルパラメータは、

$$a_1 = -(\Phi_{11} + \Phi_{22}) \quad (\text{C. 28.a})$$

$$a_2 = \Phi_{11}\Phi_{22} - \Phi_{12}\Phi_{21} \quad (\text{C. 28.b})$$

$$b_1 = \{P_{12}\Phi_{12} - P_{11}\Phi_{22} - R(\Phi_{11} + \Phi_{22})\} / (P_{11} + R) \quad (\text{C. 28.c})$$

$$b_2 = (\Phi_{11}\Phi_{22} - \Phi_{12}\Phi_{21})R / (P_{11} + R) \quad (\text{C. 28.d})$$

で与えられ、これらは全て一点炉近似動特性方程式の物理定数とサンプリング周波数などのみから算出される。

従って、原子炉から観測される時系列をARMA(2,2)過程、

$$y(n) = -a_1 y(n-1) - a_2 y(n-2) + e(n) + b_1 e(n-1) + b_2 e(n-2) \quad (\text{C. 29})$$

として、モデル化すればこのモデルのパラメータから原子炉の物理定数を逆算できる事になる。

Appendix D

ARMAX 1 モデル

オンラインパラメータ推定プログラム

ARMAX 1. H

```
#include <stdio.h>
#include <time.h>
#define IGNORE 0
#define ABORT 2
#define ON 1
#define OFF 0
#define SUCCESS 1
#define NOTHING 0
#define FAULT -1
#define NOCONVERGE 2
#define RPEM1
#define PLR 2
#define ELS 3
#define RML 4
#define PMA 1
#define PMDA2
#define PARAMETERFILE 1
#define BINARYFILE 2
#define INITFILE 3
#define PICK 0
#define DUMP 1
#define CONTINUE 1
#define FREE 2
#define MAXBOTTOM 23
#define DOSSAVE 1
#define MAINMENU 2
#define PARAMCHANGE 3
#define FILECHANGE 4
#define RPEMCALL1 5
#define RPEMCALL2 6
#define EMPTY 7
#define DOSLOAD 9
#define NN 0
#define NE 1
#define EN 2
#define EE 3
#define WITH_EXTENTION 0
#define WITHOUT_EXTENTION 1

typedef struct {
    char name[256]; /* データが格納されているファイル名 */
    int byte; /* データ長 */
    long number; /* データ数 */
} BINARY_FILE; /* 時系列 U, Y の情報に関する構造体

typedef struct {
    char name[256];
    int order;
} INIT_FILE;

typedef struct {
```

```
    double lambda_mu; /* 忘却係数定数部  $\mu$  */
    double lambda_init; /* 忘却係数の初期値  $\lambda(0)$  */
    double contraction_mu; /* 縮約係数定数部  $\mu$  */
    int activation; /* 活性化の達成スイッチ */
    long activation_interval; /* 活性化の間隔 */
    double activation_power; /* 活性化量 */
} RPEM_SUB; /* RPEM 法の補助パラメータ */

typedef struct {
    double theta[25]; /* ARMAX パラメータ */
    double UDL[25][25]; /* UDL マトリックス */
    double P[25][25]; /* 予測誤差分散マトリックス */
    double L[25]; /* ゲインベクトル */
    double phi[25]; /* WORK */
    double psi[25]; /* WORK */
    int n; /* 同定次数 */
    double u; /* u の時系列 (最新値) */
    double y; /* y の時系列 (最新値) */
    double lambda; /* 忘却係数 */
    double K; /* 縮約係数 */
    double c; /* 発散防止パラメータ */
    int stable; /* 安定性チェックスイッチ */
    double prediction_error; /* The prediction error */
    double residual; /* The residual */
    double pmatrix0; /* P マトリックスの初期値 */
} RPEM_PARAMETER; /* RPEM 主要パラメータ */

typedef struct {
    double real; /* 複素数実部 */
    double image; /* 複素数虚部 */
} COMPLEX;

/* AMX1MAIN.C */
int Main_Menu(void);
int Hard_Error(int errval, int ax, int bp, int si);
void Drive_Message(void);

/* AMX1MENU.C */
void Title(void);
void FunctionKey(int param);
int Key_Judge(void);
void Message(char *ptr, int param, int color, int y);

/* AMX1AUTO.C */
int AutoMain(char *argv[]);
void Report_Writing(int count, FILE *fil, char *set_filename,
                    int result, char *report_message);

/* AMX1READ.C */
int ReadFileCall(char *filnam);
long Binary_File_Check(FILE *fin, int byte, char *ptr1);
int Std_Reading(FILE *fil, char *ptr1, int counter);

/* AMX1DIR.C */
int getdir(char *search_dir, char *search_path, char *dptr[],
           int max_dir, int file_kind);
int GetfileSub(char *finam, char *drive, char *dir, char *name,
               char *ext, int file_kind);
int getfile(char *finam, int file_kind);
```

```

int File_Selection(char *ptr, int file_kind);

/* AMX1PARA.C*/
int ParamChangeCall(void);
int File_Reset(int file_kind, char *ptr1);
void Crt_Reset(void);
void Useable_Renumber(void);

/* AMX1FILE.C*/
int FileChangeCall(void);

/* AMX1INPU.C*/
double Manual_Set_D(double pool, double min, double max,
                     int type, unsigned char length);
int Manual_Set_I(int pool, int min, int max,
                  int type, unsigned char length);
long Manual_Set_L(long pool, long min, long max,
                  int type, unsigned char length);
int Manual_Set_F(char *filename, int extention,
                  unsigned char length, int line);

/* AMX1FUNC.C*/
int Method(RPEM_SUB*subp);
char *String_Adjust_1(char *ptr1, int max_length);
char *String_Adjust_2(char *ptr1, int max_length);
int Filename_Check(char *ptr, int maxlen, int check_type);
void File_Close(void);
void Udi_to_P(int order, double udi[][25], double p[][25]);

/* AMX1CALL.C*/
int Armax_Call(void);
int Starting_Check(void);
int Parameter_Init(void);
void Time_Information(long number, time_t first_time,
                      time_t second_time, time_t injury_time);
void Parameter_Sd_Init(void);
double Read_Data(FILE *fin, int byte);

/* AMX1RPEM.C*/
void Rpem_Routine(void);
int Stable_Check(double *work, int n);
int UDL_Factorization(RPEM_PARAMETER *rpemp);
int P_Matrix_Calc(RPEM_PARAMETER *rpemp);

/* AMX1OUTP.C*/
void Output_Result(long loop);
void Parameter_Writing(int number, int start_point, double theta[]);
void Writing_Info(int order, int u_order, char *method1, char *method2,
                  int force_break);
void Setupfile_Writing(FILE *fil);
void Output_Pole(void);
void Output_PL(long loop, int activation_method);

/* AMX1POLE.C*/
int Pole_Calculation(int order, double theta[], COMPLEX pole[]);
int Bairistow(double ta[], int n, COMPLEX x[]);
void Equation_2(double a[], COMPLEX x[]);

/* AMX1OPTI.C*/
int Remake_File(void);
void Help(void);

```

AMX1MAIN.C

```

#include <stdio.h>
#include <conio.h>
#include <stdlib.h>
#include <dos.h>
#include "armax1.h"

extern unsigned _stflen = 32768;

char *read_param[] = {"IDENTIFICATION_ORDER::::::::::",
                     "RECORD_LENGTH::::::::::",
                     "U_DATA_FILENAME::::::::::",
                     "Y_DATA_FILENAME::::::::::",
                     "INIT PARAMETER SETTING FILENAME::::::::::",
                     "NUMBER_OF_SKIPPING_DATA::::::::::",
                     "NUMBER_OF_IDENTIFICATION::::::::::",
                     "FORGETTING_FACTOR_MU::::::::::",
                     "FORGETTING_FACTOR_INIT::::::::::",
                     "CONTRACTION_FACTOR_MU::::::::::",
                     "PREVENTION_OF_DIVERGENCE::::::::::",
                     "STABLE_CHECK_SWITCH::::::::::",
                     "INIT VALUE OF DIAGONAL P MATRIX::::::::::",
                     "ACTIVATION_METHOD_SWITCH::::::::::",
                     "ACTIVATION_INTERVAL::::::::::",
                     "ACTIVATION_POWER::::::::::",
                     "OUTPUT_FILENAME::::::::::",
                     "NUMBER_OF_OUTPUT_INTERVAL::::::::::",
                     "BINARY_POLE_OUTPUT_FILENAME::::::::::",
                     "PL_OUTPUT_FILENAME::::::::::"};
char set_filename[128], out_filename[128], pole_filename[128],
      pl_filename[128], tmp_buff1[256], tmp_buff2[256], error_drive;

int AutoSystem = OFF, AutoStop = OFF,
DriveError = OFF, DriveErrorNumber;

long identification_number, skip_number, interval_number,
abs_useable_number, useable_number;

FILE *fin_u, *fin_y, *fin_init, *fout_result, *fout_pole[10], *fout_pl;
BINARY_FILE u_file, y_file;
INIT_FILE init_file;
RPEM_SUB subp;
RPEM_PARAMETER rpemp;

/*-----*/
int main(int argc, char *argv[])
{
    int check;
    clrscr();
    _setcursortype(_NOCURSOR);
    harderr(Hard_Error);
    FunctionKey(DOSSAVE);

    if (argc == 1)
        Main_menu();
    else {
        AutoSystem = ON;
        check = AutoMain(argv);
    }
    FunctionKey(DOSLOAD);
    _setcursortype(_SOLIDCURSOR);
    clrscr();
}

```

```

if (AutoSystem == ON) {
    Title();
    if (check == SUCCESS){
        sprintf(tmp_buff1, "PROGRAMMODE: NORMAL TERMINATION");
        Message(tmp_buff1, FREE, LIGHTCYAN, 4);
    } else {
        sprintf(tmp_buff1, "PROGRAMMODE: ABNORMAL TERMINATION");
        Message(tmp_buff1, FREE, LIGHTRED, 4);
    }
    return SUCCESS;
}

/*-----*/
int Main_menu(void)
{
    int i, j;

    while (1) {
        Title();
        FunctionKey(MAINMENU);
        i = Key_Judge();
        switch (i) {
            case 1:
                if (ReadFileCall(set_filename) == FAULT)
                    set_filename = '\0';
                window(1, 1, 80, 24);
                break;
            case 2:
                if (*set_filename != NULL)
                    ParamChangeCall();
                break;
            case 3:
                if (*set_filename != NULL)
                    FileChangeCall();
                break;
            case 5:
                if (*set_filename != NULL)
                    Armax_Call();
                break;
            case 8:
                if (*set_filename != NULL)
                    Remake_File();
                break;
            case 10:
                Help();
                break;
            case 27:
                gotoxy(60, 2);
                textcolor(YELLOW);
                cprintf("END ... Sure ? (y/n)");
                if (toupper(getch()) == 'Y')
                    return 0;
                break;
        }
    }
}

/*-----*/
int Hard_Error(int errval, int ax, int bp, int si)
{
    unsigned di;
    di = _DI;
    if (ax < 0) {
        sprintf(tmp_buff1, "Device Error Has Happened.");
        Message(tmp_buff1, CONTINUE, LIGHTRED, MAXBOTTOM);
        hardrein(ABORT);
        return FAULT;
    }

    error_drive = (ax & 0x00FF) + 65;
    DriveErrorNumber = di & 0x00FF;
    DriveError = ON;
    hardrein(IGNORE);
    return FAULT;
}

/*-----*/
void Drive_Message(void)
{
    DriveError = OFF;

    if (DriveErrorNumber == 2)
        sprintf(tmp_buff1, "%c: Drive Is Not Ready.", error_drive);
    else
        sprintf(tmp_buff1, "Something Is Wrong with The %c: Drive.", error_drive);
    Message(tmp_buff1, CONTINUE, LIGHTRED, MAXBOTTOM);
}

```

AMX1MENU.C

```

#include <stdio.h>
#include <conio.h>
#include <pc98.h>
#include <dos.h>
#include <math.h>
#include <stdlib.h>
#include <string.h>
#include "armax1.h"

struct key_code {
    unsigned code;
    unsigned output;
};

/*-----*/
void Title(void)
{
    extern char set_filename[];
    int i, filename_length;
    char *ptr1;
    window(1, 1, 80, 24);
    clrscr();
    textattr(LIGHTCYAN | REVERSE);
    gotoxy(1, 1);
    cprintf(" ARMAX1 ON-LINE IDENTIFICATION BY RECURSIVE PREDICTION ERROR METHOD
Ver1.01 ");
    gotoxy(1, 2);
    textattr(WHITE);
    cprintf("Set Up File Name = ");
    textcolor(LIGHTMAGENTA);
    ptr1 = String_Adjust_1(set_filename, 23);
    cputs(ptr1);
    textattr(WHITE);
}

```

```

/* -----
void FunctionKey(int param)
{
    extern char set_filename[];
    static char save_functionkey[11][16];
    int i, j;
    char mainmenu_functionkey[11][16] = {"",
        "READ", "CHANGE",
        "OUTFILE",
        "CALC",
        "", "REMAKE",
        "", "HELP"};
    char paramchange_functionkey[11][16] = {"",
        "SKIP 0", "MAXNUM",
        "", "U-NULL",
        "", "I-NULL",
        "", "PLRSET",
        "ELSSET", "RMLSET"};
    char filechange_functionkey[11][16] = {"",
        "POLE_N", "P/L_NU",
        "", "P/L_U",
        "", "P/L_NU"};
    char repmcall1_functionkey[11][16] = {"",
        "STOP",
        "", "P/L_NU"};
    char repmcall2_functionkey[11][16] = {"",
        "STOP",
        "", "P/L_NU"};
    char empty_functionkey[11][16] = {"",
        "", "P/L_NU"};
    switch (param){
        case DOSSAVE:
            for (i = 1; i <= 10; i++)
                pc98getkey(i, &save_functionkey[i][0]);
            break;
        case MAINMENU:
            if (*set_filename == NULL)
                for (i = 2; i <= 8; i++)
                    for (j = 0; j <= 15; j++)
                        mainmenu_functionkey[i][j] = '0';
            for (i = 1; i <= 10; i++)
                pc98setkey(i, &mainmenu_functionkey[i][0]);
            break;
        case PARAMCHANGE:
            for (i = 1; i <= 10; i++)
                pc98setkey(i, &paramchange_functionkey[i][0]);
            break;
        case FILECHANGE:
            for (i = 1; i <= 10; i++)
                pc98setkey(i, &filechange_functionkey[i][0]);
            break;
    }
}

/* -----
case RPEMCALL1:
    for (i = 1; i <= 10; i++)
        pc98setkey(i, &repmcall1_functionkey[i][0]);
    break;
case RPEMCALL2:
    for (i = 1; i <= 10; i++)
        pc98setkey(i, &repmcall2_functionkey[i][0]);
    break;
case EMPTY:
    for (i = 1; i <= 10; i++)
        pc98setkey(i, &empty_functionkey[i][0]);
    break;
case DOSLOAD:
    for (i = 1; i <= 10; i++)
        pc98setkey(i, &save_functionkey[i][0]);
    break;
}
*/
int Key_Judge(void)
{
    struct key_code set[39] = {{0x6200, '1'}, {0x6300, '2'}, {0x6400, '3'},
        {0x6500, '4'}, {0x6600, '5'}, {0x6700, '6'},
        {0x6800, '7'}, {0x6900, '8'}, {0x6A00, '9'},
        {0x6B00, '0'}, {0x001B, '27'},
        {0xA31, '1'}, {0x4B32, '2'},
        {0x4C33, '3'}, {0x4634, '4'},
        {0x4735, '5'}, {0x4836, '6'},
        {0x4237, '7'}, {0x4338, '8'},
        {0x4439, '9'}, {0x4E30, '0'},
        {0x222F, '7'}, {0x412F, '7'},
        {0x2D42, 'B'}, {0x2D62, 'B'},
        {0x2046, 'F'}, {0x2066, 'F'},
        {0x1749, 'I'}, {0x1769, 'I'},
        {0x2E4E, 'N'}, {0x2E6E, 'N'},
        {0xE53, 'S'}, {0x1E73, 'S'},
        {0x1655, 'U'}, {0x1675, 'U'},
        {0x2C56, 'V'}, {0x2C76, 'V'},
        {0x1559, 'Y'}, {0x1579, 'Y'}};

    int i;
    unsigned code;
    delay(300);
    pc98key(3);
    code = pc98key(0);
    for (i = 0; i < 39; i++)
        if (code == set[i].code)
            return set[i].output;
    return -1;
}

/* -----
void Message(char *ptr, int param, int color, int y)
{
    extern int AutoSystem;
    char message_buff[128];
    char *ptr1;
    int i, add_space, length, fine;
    ptr1 = message_buff;
    if (param == CONTINUE && AutoSystem == OFF)
        strcat(ptr, " [HIT ANY KEY]");
    length = strlen(ptr);
    add_space = (80 - length) / 2;
}

```

```

for (i = 1; i <= add_space; i++, ptr1++)
    *ptr1 = ' ';
for (i = 1; i <= length; i++, ptr1++, ptr1++)
    *ptr1 = *ptr;
for (i = 1; i <= add_space; i++, ptr1++)
    *ptr1 = ' ';
*ptr1 = '\0';
fine = 80 - strlen(message_buff);
for (i = 1; i <= fine; i++, ptr1++)
    *ptr1 = ' ';
*ptr1 = '\0';
gotoxy(1, y);
textattr(REVERSE | color);
cprintf("%s", message_buff);
textattr(WHITE);
if (AutoSystem == ON)
    delay(1000);
else
    if (param == CONTINUE)
        getch();
}

```

AMX1AUTO.C

```

#include <string.h>
#include <conio.h>
#include <stdio.h>
#include <stdlib.h>
#include "armax1.h"

/* -----
int AutoMain(char *argv[])
{
    extern int AutoStop;
    extern char set_filename[];
    FILE *fcontrol, *freport;
    int count = 0, check;
    char control_filename[128], report_filename[128],
        message_buff[128], *ptr1, answer;
    strcpy(control_filename, argv[1]);
    strcpy(report_filename, argv[2]);

    if ((fcontrol = fopen(control_filename, "rt")) == NULL) {
        ptr1 = String_Adjust_1(control_filename, 20);
        sprintf(message_buff, "Auto Control File [ %s ] Cannot Open",
               ptr1);
        Message(message_buff, FREE, LIGHTRED, 5);
        return FAULT;
    }
    if ((freport = fopen(report_filename, "wt")) == NULL) {
        ptr1 = String_Adjust_1(control_filename, 20);
        sprintf(message_buff, "Auto System Report File [ %s ] Cannot Open",
               ptr1);
        Message(message_buff, FREE, LIGHTRED, 5);
        return FAULT;
    }

    while (!feof(fcontrol)) {
        count++;
        fscanf(fcontrol, "%s", set_filename);
        if (feof(fcontrol))
            break;
    }
}

```

```

Title();
if (ReadFileCall(set_filename) == FAULT){
    sprintf(message_buff, "On Reading Set Up File");
    Report_Writing(count, freport, set_filename, 0,
                   message_buff);
    continue;
}
check = Armax_Call();
File_Close();
if (check == FAULT){
    sprintf(message_buff, "On Start Check Routine");
    Report_Writing(count, freport, set_filename, 0,
                   message_buff);
    continue;
}
Report_Writing(count, freport, set_filename, SUCCESS,
               message_buff);
if (AutoStop == ON) {
    AutoStop = OFF;
    gotoxy(18, 23);
    textattr(YELLOW | BLINK | REVERSE);
    cprintf(" Will You Stop This Curriculum Really ? (Y/N) \r");
    textattr(WHITE);
    answer = '\0';
    while (answer != 'Y' && answer != 'N')
        answer = toupper(getch());
    if (answer == 'Y') {
        count++;
        sprintf(message_buff,
               "This Curriculum Was Stopped by Force");
        Report_Writing(count, freport, "Manual Termination",
                       SUCCESS, message_buff);
        break;
    }
}
fclose(fcontrol);
fclose(freport);
return SUCCESS;
}

/* -----
void Report_Writing(int count, FILE *fil, char *set_filename,
                    int result, char *report_message)
{
    char *string1[] = {"ERROR", "SUCCESS"};
    fprintf(fil, "Process Number : %d\r\n", count);
    fprintf(fil, "Set Up File Name : %s\r\n", set_filename);
    fprintf(fil, "Result : %s\r\n", string1[result]);
    if (result == 0)
        fprintf(fil, "Comment : %s\r\n", report_message);
    fprintf(fil, "\r\n\r\n");
}

```

AMX1READ.C

```

#include <stdio.h>
#include <conio.h>
#include <stdlib.h>
#include <string.h>
#include <math.h>

```

```

#include "armax1.h"

/* -----
int ReadFileCall(char*filename)
{
    extern int AutoSystem, DriveError;
    extern char error_drive, out_filename[], pole_filename[],
    pl_filename[], tmp_buff1[], tmp_buff2[];
    extern long abs_useable_number, useable_number, skip_number,
    identification_number, interval_number;
    extern FILE *fin_u, *fin_y, *fin_init;
    extern BINARY_FILE *u_file, y_file;
    extern INIT_FILE init_file;
    extern RPEM SUB subp;
    extern RPEM PARAMETER rpemp;
    FILE *fin_set;
    char c_dummy, *ptr1, input_buff[256];
    int i, l_dummy;
    double d_dummy;
    FunctionKey(EMPTY);

64
    if (AutoSystem == OFF){
        textcolor(YELLOW);
        gotoxy(55, 2);
        cprintf("PATH = ");
        gets(input_buff);
        if (*input_buff == ':')
            return 0;
        i = Getfile(input_buff, PARAMETERFILE);
        switch (i) {
            case NOTHING :
                sprintf(tmp_buff1,
                    "Fitting File Dose Not Exist on The Specified PATH.");
                Message(tmp_buff1, CONTINUE, LIGHTRED, MAXBOTTOM);
                return 0;
            case FAULT:
                return 0;
        }
        strcpy(filename, input_buff);
    }

    /* Set Up File Open */
    if ((fin_set = fopen(filename, "rt")) == NULL) {
        if (DriveError == ON)
            Drive_Message();
        ptr1 = String_Adjust_1(filename, 20);
        sprintf(tmp_buff1, "Cannot Open Set Up File [%s].", filename);
        Message(tmp_buff1, CONTINUE, LIGHTRED, MAXBOTTOM);
        return FAULT;
    }
    window(1, 4, 80, 24);
    clrscr();
    gotoxy(1, 1);

    /* Reading of Identification Order */
    if (Std_Reading(fin_set, input_buff, 0) == FAULT)
        return FAULT;
    rpemp.n = atoi(input_buff);
    if (rpemp.n < 0 || rpemp.n > 9) {
        *input_buff < '0' || *input_buff > '9' {
            sprintf(tmp_buff1, "Illegal Value as Identification Order.");
            Message(tmp_buff1, CONTINUE, LIGHTRED, MAXBOTTOM);
            fclose(fin_set);
            return FAULT;
        }
    }

    /* Reading of Record Length of Binary Time Series */
    if (Std_Reading(fin_set, input_buff, 1) == FAULT)
        return FAULT;
    u_file.byte = y_file.byte = atoi(input_buff);
    if (u_file.byte != 2 && u_file.byte != 8) {
        sprintf(tmp_buff1,
            "Illegal Value as Record Length of Time Series Data.");
        Message(tmp_buff1, CONTINUE, LIGHTRED, MAXBOTTOM);
        fclose(fin_set);
        return FAULT;
    }

    /* Reading of U Filename */
    *file.name = NULL;
    if (Std_Reading(fin_set, input_buff, 2) == FAULT)
        return FAULT;
    if (strcmp(input_buff, "NULL") == 0)
        useable_number = 10000000;
    else {
        if ((fin_u = fopen(input_buff, "rb")) == NULL) {
            if (DriveError == ON)
                Drive_Message();
            return FAULT;
        }
        sprintf(tmp_buff1,
            "Cannot Open Time Series Data File Inputted to System.");
        Message(tmp_buff1, CONTINUE, LIGHTRED, MAXBOTTOM);
        fclose(fin_set);
        return FAULT;
    } else {
        u_file.number =
            Binary_File_Check(fin_u, u_file.byte, input_buff);
        fclose(fin_u);
        if (u_file.number == FAULT){
            fclose(fin_set);
            return FAULT;
        }
        useable_number = u_file.number;
        strcpy(u_file.name, input_buff);
    }

    /* Reading of Y Filename */
    if (Std_Reading(fin_set, input_buff, 3) == FAULT)
        return FAULT;
    if ((fin_y = fopen(input_buff, "rb")) == NULL) {
        if (DriveError == ON)
            Drive_Message();
        return FAULT;
    }
    sprintf(tmp_buff1,
        "Cannot Open Time Series Data File Outputted from System.");
    Message(tmp_buff1, CONTINUE, LIGHTRED, MAXBOTTOM);
    fclose(fin_set);
    return FAULT;
} else {
    strcpy(y_file.name, input_buff);
    y_file.number =
        Binary_File_Check(fin_y, y_file.byte, y_file.name);
    fclose(fin_y);
    if (y_file.number == FAULT){
        fclose(fin_set);
    }
}
}

```

```

    return FAULT;
}
if (y_file.number < useable_number)
    abs_useable_number = useable_number = y_file.number;
}

/* Reading of Initial Parameter Setting Filename */
init_file.name = NULL;
if (Std_Reading(fin_set,input_buff, 4) == FAULT)
    return FAULT;
if (strcmp(input_buff, "NULL") != 0) {
    if ((fin_init = fopen(input_buff, "rt")) == NULL) {
        if (DriveError == ON) {
            Drive_Message();
            return FAULT;
        }
        sprintf(tmp_buff1, "Canont Open Initial Parameter File.");
        Message(tmp_buff1, CONTINUE, LIGHTRED, MAXBOTTOM);
        fclose(fin_set);
        return FAULT;
    }
    fscanf(fin_init, "%s %s", tmp_buff1, tmp_buff2);
    fclose(fin_init);
    if (strcmp(tmp_buff1, "INITIAL_PARAMETER_FILE")!= 0) {
        sprintf(tmp_buff1,
            "First Declaration of The Initial Parameter File Is Unsuitable.");
        Message(tmp_buff1, CONTINUE, LIGHTRED, MAXBOTTOM);
        return FAULT;
    }
    if (((int)(*tmp_buff2) - 48) != rpemp.n) {
        sprintf(tmp_buff1,
            "There Is Discrepancy As to Identification Order.");
        Message(tmp_buff1, CONTINUE, LIGHTRED, MAXBOTTOM);
        return FAULT;
    }
    strcpy(init_file.name, input_buff);
    init_file.order = (int)(*tmp_buff2) - 48;
}

/* Reading of Number of Skipping Data */
if (Std_Reading(fin_set,input_buff, 5) == FAULT)
    return FAULT;
skip_number = atoi(input_buff);
if (skip_number < 0 || skip_number > useable_number) {
    sprintf(tmp_buff1, "Illegal Value as Number of Skipping Data.");
    Message(tmp_buff1, CONTINUE, LIGHTRED, MAXBOTTOM);
    fclose(fin_set);
    return FAULT;
}
useable_number -= skip_number;

/* Reading of Number of Identification */
if (Std_Reading(fin_set,input_buff, 6) == FAULT)
    return FAULT;
identification_number = atoi(input_buff);
if (identification_number <= 0) {
    identification_number > useable_number) {
        sprintf(tmp_buff1, "Illegal Value as Number of Identification.");
        Message(tmp_buff1, CONTINUE, LIGHTRED, MAXBOTTOM);
        fclose(fin_set);
        return FAULT;
    }
}

/* Reading of Forgetting Factor Mu */
if (Std_Reading(fin_set,input_buff, 7) == FAULT)
    return FAULT;
subp.lambda_mu = atof(input_buff);
if (subp.lambda_mu <= 0 || subp.lambda_mu > 1 ||
    *input_buff < '0' || *input_buff > '9') {
    sprintf(tmp_buff1,
        "Illegal Value as Constant Part of Forgetting Factor.");
    Message(tmp_buff1, CONTINUE, LIGHTRED, MAXBOTTOM);
    fclose(fin_set);
    return FAULT;
}

/* Reading of Forgetting Factor Init */
if (Std_Reading(fin_set,input_buff, 8) == FAULT)
    return FAULT;
subp.lambda_init = atof(input_buff);
if (subp.lambda_init <= 0 || subp.lambda_init > 1 ||
    *input_buff < '0' || *input_buff > '9') {
    sprintf(tmp_buff1, "Illegal Value as Initial Forgetting Factor.");
    Message(tmp_buff1, CONTINUE, LIGHTRED, MAXBOTTOM);
    fclose(fin_set);
    return FAULT;
}

/* Reading of Contraction Factor Mu*/
if (Std_Reading(fin_set,input_buff, 9) == FAULT)
    return FAULT;
subp.contraction_mu = atof(input_buff);
if (subp.contraction_mu < 0 || subp.contraction_mu > 1 ||
    *input_buff < '0' || *input_buff > '9') {
    sprintf(tmp_buff1, "Illegal Value as Contraction Factor Mu.");
    Message(tmp_buff1, CONTINUE, LIGHTRED, MAXBOTTOM);
    fclose(fin_set);
    return FAULT;
}

/* Reading of Prevention Value */
if (Std_Reading(fin_set,input_buff, 10) == FAULT)
    return FAULT;
rpemp.c = atoi(input_buff);
if (rpemp.c <= 0 || *input_buff < '0' || *input_buff > '9') {
    sprintf(tmp_buff1,
        "Illegal Value as Constant for Divergent Prevention.");
    Message(tmp_buff1, CONTINUE, LIGHTRED, MAXBOTTOM);
    fclose(fin_set);
    return FAULT;
}

/* Reading of Stable Check Switch */
if (Std_Reading(fin_set,input_buff, 11) == FAULT)
    return FAULT;
ptr1 = input_buff;
ptr1++;
c_dummy = toupper(*ptr1);
switch (c_dummy) {
    case 'N':
        rpemp.stable = ON;
        break;
    case 'F':
        rpemp.stable = OFF;
        break;
    default :
        sprintf(tmp_buff1, "Illegal Switch as Stable Check.");
        Message(tmp_buff1, CONTINUE, LIGHTRED, MAXBOTTOM);
}
}

```

```

fclose(fin_set);
return FAULT;
}

/* Reading of Initialization Value of P Matrix */
if (Std_Reading(fin_set,input_buff, 12) == FAULT)
return FAULT;
rpemp.pmatrix0 = atof(input_buff);
if (rpemp.pmatrix0 <= 0 || *input_buff < '0' || *input_buff > '9') {
sprintf(tmp_buff1,
"Illegal Value as Diagonal Elements of Initial P Matrix.");
Message(tmp_buff1, CONTINUE, LIGHTRED, MAXBOTTOM);
fclose(fin_set);
return FAULT;
}

/* Reading of Activation Method Switch */
if (Std_Reading(fin_set,input_buff, 13) == FAULT)
return FAULT;
ptr1 = input_buff;
ptr1 += 2;
c_dummy = toupper(*ptr1);
switch (c_dummy) {
case 'D':
subp.activation = PMDA;
break;
case 'A':
subp.activation = PMA;
break;
case 'F':
subp.activation = OFF;
break;
default :
sprintf(tmp_buff1,
"Illegal Switch as Selection of Activation Method.");
Message(tmp_buff1, CONTINUE, LIGHTRED, MAXBOTTOM);
fclose(fin_set);
return FAULT;
}

/* Reading of Activation Interval */
if (Std_Reading(fin_set,input_buff, 14) == FAULT)
return FAULT;
subp.activation_interval = atoi(input_buff);
if (subp.activation_interval <= 0 ||
subp.activation_interval > useable_number) {
sprintf(tmp_buff1,
"Illegal Value as Number of Activation Interval.");
Message(tmp_buff1, CONTINUE, LIGHTRED, MAXBOTTOM);
fclose(fin_set);
return FAULT;
}

/* Reading of Activation Power*/
if (Std_Reading(fin_set,input_buff, 15) == FAULT)
return FAULT;
subp.activation_power = atof(input_buff);
if (subp.activation_power < 1 || *input_buff < '0'
|| *input_buff > '9') {
sprintf(tmp_buff1,
"Illegal Value as Activation Power.");
Message(tmp_buff1, CONTINUE, LIGHTRED, MAXBOTTOM);
fclose(fin_set);
return FAULT;
}
}

/* Reading of Output Filename of Result*/
if (Std_Reading(fin_set,input_buff, 16) == FAULT)
return FAULT;
if (Filename_Check(input_buff, 13, 0) == FAULT) {
sprintf(tmp_buff1, "Unsuitable Output File Name. Please Obey MS-DOS Format.");
Message(tmp_buff1, CONTINUE, LIGHTRED, MAXBOTTOM);
fclose(fin_set);
return FAULT;
}
strcpy(out_filename, input_buff);

/* Reading of Output Interval */
if (Std_Reading(fin_set,input_buff, 17) == FAULT)
return FAULT;
interval_number = atoi(input_buff);
if (interval_number <= 0 || interval_number > useable_number) {
sprintf(tmp_buff1,
"Illegal Value as Number of Interval.");
Message(tmp_buff1, CONTINUE, LIGHTRED, MAXBOTTOM);
fclose(fin_set);
return FAULT;
}

/* Reading of Output Filenamne of Binary Pole */
pole_filename = NULL;
if (Std_Reading(fin_set,input_buff, 18) == FAULT)
return FAULT;
if (strcmp(input_buff, "NULL") != 0) {
if (Filename_Check(input_buff, 9, 1) == FAULT) {
sprintf(tmp_buff1, "Unsuitable Output File Name. Please Obey MS-DOS Format.");
Message(tmp_buff1, CONTINUE, LIGHTRED, MAXBOTTOM);
fclose(fin_set);
return FAULT;
}
strcpy(pole_filename, input_buff);
}

pl_filename = NULL;
if (Std_Reading(fin_set,input_buff, 19) == FAULT)
return FAULT;
if (strcmp(input_buff, "NULL") != 0) {
if (Filename_Check(input_buff, 13, 0) == FAULT) {
sprintf(tmp_buff1,
"Unsuitable P/L File Name. Please Obey MS-DOS Format.");
Message(tmp_buff1, CONTINUE, LIGHTRED, MAXBOTTOM);
fclose(fin_set);
return FAULT;
}
strcpy(pl_filename, input_buff);
}

fclose(fin_set);
return SUCCESS;
}

/*
long Binary_File_Check(FILE *fin, int byte, char *ptr1)
{
extern char tmp_buff1[];
char *ptr2;
int i_dummy;
long file_size, data_number;
double d1_dummy, d2_dummy;
fseek(fin, 0, SEEK_END);
file_size = tell(fin);
d1_dummy = (double)file_size / (double)byte;
}

```

```

d2_dummy = floor(d1_dummy);
fread(ptr2, 1, 1, fin);
if (d1_dummy != d2_dummy || *ptr2 == EOF) {
    ptr2 = String_Adjust_1(ptr1, 13);
    sprintf(tmp_buff1,
        "Probably, [%s] Is Not Binary Data File of %d Byte", ptr2, byte);
    Message(tmp_buff1, CONTINUE, LIGHTRED, MAXBOTTOM);
    return FAULT;
}
data_number = file_size / byte;
return data_number;
}

/*-----*/
int Std_Reading(FILE *fil, char *ptr1, int counter)
{
    extern char tmp_buff1[], *read_param[];
    int check;
    check = fscanf(fil, "%s %s", tmp_buff1, ptr1);
    sprintf("%s %s \r\n", tmp_buff1, ptr1);

    if (check != 2) {
        sprintf(tmp_buff1, "Format of Set Up File Is Unsuitable");
        Message(tmp_buff1, CONTINUE, LIGHTRED, MAXBOTTOM);
        fclose(fil);
        return FAULT;
    }
    if (strcmp(tmp_buff1, read_param[counter]) != 0) {
        sprintf(tmp_buff1, "Format of Set Up File Is Unsuitable");
        Message(tmp_buff1, CONTINUE, LIGHTRED, MAXBOTTOM);
        fclose(fil);
        return FAULT;
    }
    return SUCCESS;
}

```

67

AMX1DIR.C

```

#include <dir.h>
#include <dos.h>
#include <stdio.h>
#include <string.h>
#include <contio.h>
#include <pc98.h>
#include "armax1.h"
#define MAX_DIR5*19
#define MAX_X 5

char buffer[MAX_DIR][15];
char search_dir[T20], search_path[120];
char *pdri[5*19];
char drive[3], dir[100], name[9], ext[5];
struct ffblk ffblk;

/*-----*/
int Getdir(char *search_dir, char *search_path, char *dptr[], int max_dir, int file_kind)
{
    int check, done, i = -1, j, k;
    char *wdptr;
    done = findfirst(search_path, &ffblk, FA_RDONLY);
    while (!done) {
        i++;

```

```

        if (max_dir <= i)
            break;
        check = File_Selection(ffblk.ff_name, file_kind);
        if (check == PICK)
            dptr[i] = strcpy(buffer[i], ffblk.ff_name );
        else
            i++;
        done = findnext(&ffblk);
    }
    done = findfirst(search_dir, &ffblk, FA_DIREC);
    while (!done) {
        if (max_dir <= i)
            break;
        if (ffblk.ff_attrib & FA_DIREC){
            i++;
            dptr[i] = strcpy(buffer[i], ffblk.ff_name );
            strcat(dptr[i], "\r\n");
        }
        done = findnext(&ffblk);
    }
    i++;
    for(j = 0; j < i; j++){
        for(k = j; k < i; k++){
            if (strcmp(dptr[j], dptr[k]) > 0){
                wdptr = dptr[j];
                dptr[j] = dptr[k];
                dptr[k] = wdptr;
            }
        }
    }
    return i;
}

/*-----*/
int GetfileSub(char *finam, char *drive, char *dir, char *name, char *ext, int file_kind)
{
    int f, i, k;
    ciscr();
    Title();
    gotoxy(40, 2);
    textcolor(YELLOW);
    printf("SELECT OBJECTIVE FILE :: OK → [RETURN]");
    delay(100);
    fmerge(search_dir, drive, dir, "", "");
    fmerge(search_path, drive, dir, name, ext);
    f = Getdir(search_dir, search_path, pdri, 5*19, file_kind);
    textcolor(WHITE);
    for(i=0; i<f; i++){
        gotoxy((i % MAX_X)*16 + 1, (i / MAX_X) + 5);
        printf("%-14s", pdri[i]);
    }
    if (f == 0)
        return NOTHING;
    i = 0;
    do{
        textattr(LIGHTGREEN | REVERSE);
        gotoxy((i % MAX_X)*16 + 1, (i / MAX_X) + 5);
        printf("%-14s", pdri[i]);
        pc98key(3);
        k = pc98key(0) / 256;
        textattr(WHITE);
        gotoxy((i % MAX_X)*16 + 1, (i / MAX_X) + 5);
        printf("%-14s", pdri[i]);
        delay(200);
    }
    while (k != 13);
}

```

```

switch(k) {
    case 0x3c : if (i < f-1) i++; break;
    case 0x3b : if (i > 0) i--; break;
    case 0x3a : if (i >= MAX_X) i = MAX_X; break;
    case 0x3d : if (i+MAX_X <= f-1) i += MAX_X; break;
    case 0x00 : return FAULT;
}
} while (k != 0x1c);
if (* (pd़ir[i] + strlen(pd़ir[i])-1) == 'A') {
    *(pd़ir[i] + strlen(pd़ir[i])-1) = 0;
    if (strcmp(dir, "") != 0) strcat(dir, "A");
    strcat(dir, pd़ir[i]);
    i = GetfileSub(finam, drive, dir, name, ext, file_kind);
    return i;
}
inmerge(finam, drive, dir, "", "");
strcat(finam, pd़ir[i]);
return SUCCESS;
}

/* -----
int Getfile(char *finam, int file_kind)
{
    int i, flags;
    flags = fsplit(finam, drive, dir, name, ext);
    if ((flags & (FILENAME | EXTENSION)) {
        strcpy(name, "*");
        strcpy(ext, "*");
    }
    i = GetfileSub(finam, drive, dir, name, ext, file_kind);
    return i;
}
68 */

/* -----
int File_Selection(char *ptr, int file_kind)
{
    int i, search_end;
    char *extract_extention [] = {"C", "PAS", "FOR", "EXE", "OBJ", "FFT",
        "BAT", "BAK", "PRJ", "COM", "H", "BAS",
        "MAK", "DSK", "CFG", "SYS", "DOC"
        "111", "222", "333", "BIN"};
    char *select_extention [] = {"111", "222", "333", "444", "555",
        "666", "777", "888", "999"};
    search_end = 0;
    switch (file_kind) {
        case PARAMETERFILE:
            search_end++;
        case BINARYFILE:
            search_end += 20;
            while(*ptr != '0' && *ptr != '!')
                ptr++;
            if (*ptr == '0')
                return PICK;
            ptr++;
            for (i = 0; i < search_end; i++)
                if (strcmp(ptr, extract_extention[i]) == 0)
                    return DUMP;
            return PICK;
        case INITFILE:
            while(*ptr != '0' && *ptr != '!')
                ptr++;
            if (*ptr == '0')
                return DUMP;
}
ptr++;
for (i = 0; i < 9; i++)
    if (strcmp(ptr, select_extention[i]) == 0)
        return PICK;
return DUMP;
}
return SUCCESS;
}

/* -----
#include <dir.h>
#include <dos.h>
#include <stdio.h>
#include <string.h>
#include <conio.h>
#include <pc98.h>
#include "armax1.h"
#define MAX_DIR 519
#define MAX_X 5

char buffer[MAX_DIR][15];
char search_dir[120], search_path[120];
char *pd़ir[519];
char drive[3], dir[100], name[9], ext[5];
struct ffblk ffblk;

/* -----
int Getdir(char *search_dir, char *search_path, char *dptr[], int max_dir, int file_kind)
{
    int check, done, i = -1, j, k;
    char *wdptr;
    done = findfirst(search_path, &ffblk, FA_RDONLY);
    while (!done) {
        i++;
        if (max_dir <= i)
            break;
        check = File_Selection(ffblk.ff_name, file_kind);
        if (check == PICK)
            dptr[i] = strcpy(buffer[i], ffblk.ff_name );
        else
            i--;
        done = findnext(&ffblk);
    }
    done = findfirst(search_dir, &ffblk, FA_DIREC);
    while (!done) {
        if (max_dir <= i)
            break;
        if (ffblk.ff_attrib & FA_DIREC){
            i++;
            dptr[i] = strcpy(buffer[i], ffblk.ff_name );
            strcat(dptr[i], "\0");
        }
        done = findnext(&ffblk);
    }
    i++;
    for(j = 0; j < i; j++){
        for(k = j; k < i; k++){
            if (strcmp(dptr[j], dptr[k]) > 0){
                wdptr = dptr[j];
                dptr[j] = dptr[k];
                dptr[k] = wdptr;
            }
        }
    }
    return i;
}

```

```

/* ----- */
int GetfileSub(char *finam, char *drive, char *dir, char *name, char *ext, int file_kind)
{
    int f, i, k;
    clrscr();
    Title();
    gotoxy(40, 2);
    textcolor(YELLOW);
    printf("SELECT OBJECTIVE FILE :: OK → [RETURN]");
    delay(100);
    fmerge(search_dir, drive, dir, "", "");
    fmerge(search_path, drive, dir, name, ext);
    f = Getdir(search_dir, search_path, pdir, 5*19, file_kind);
    textcolor(WHITE);
    for(i=0; i<f; i++)
        gotoxy((i % MAX_X)*16 + 1, (i / MAX_X)+5);
    cprintf("%-14s", pdir[i]);
}
if(f == 0)
    return NOTHING;
i = 0;
do {
    textattr(LIGHTGREEN | REVERSE);
    gotoxy((i % MAX_X)*16 + 1, (i / MAX_X)+5);
    cprintf("%-14s", pdir[i]);
    pc98key(3);
    k = pc98key(0) / 256;
    textattr(WHITE);
    gotoxy((i % MAX_X)*16 + 1, (i / MAX_X)+5);
    cprintf("%-14s", pdir[i]);
    delay(200);
    switch(k) {
        case 0x3c : if (i < f-1) i++; break;
        case 0x3b : if (i > 0) i--; break;
        case 0x3a : if (i >= MAX_X) i -= MAX_X; break;
        case 0x3d : if (i+MAX_X <= f-1) i += MAX_X; break;
        case 0x00 : return FAULT;
    }
} while (k != 0x1c);
if ((pdir[i]+strlen(pdir[i])-1) == 'A') {
    (pdir[i] + strlen(pdir[i])-1) = 0;
    if (strcmp(dir, "")==0) strcat(dir, "A");
    strcat(dir, pdir[i]);
    i = GetfileSub(finam, drive, dir, name, ext, file_kind);
    return i;
}
fmerge(finam, drive, dir, "", "");
strcat(finam, pdir[i]);
return SUCCESS;
}

/* ----- */
int Getfile(char *finam, int file_kind)
{
    int i, flags;
    flags = fnsplit(finam, drive, dir, name, ext);
    if ((flags & (FILENAME | EXTENSION)) {
        strcpy(name, "*");
        strcpy(ext, "*");
    }
    i = GetfileSub(finam, drive, dir, name, ext, file_kind);
    return i;
}

/* ----- */
int File_Selection(char *ptr, int file_kind)
{
    int i, search_end;
    char *extract_extention [] = {"C", "PAS", "FOR", "EXE", "OBJ", "FFT",
                                  "BAT", "BAK", "PRJ", "COM", "H", "BAS",
                                  "MAK", "DSK", "CFG", "SYS", "DOC",
                                  "111", "222", "333", "BIN"};
    char *select_extention [] = {"111", "222", "333", "444", "555",
                                 "666", "777", "888", "999"};
    search_end = 0;
    switch(file_kind) {
        case PARAMETERFILE:
            search_end++;
        case BINARYFILE:
            search_end += 20;
            while(*ptr != '0' && *ptr != ' ')
                ptr++;
            if (*ptr == '0')
                return PICK;
            ptr++;
            for (i = 0; i < search_end; i++)
                if ((strcmp(ptr, extract_extention[i])) == 0)
                    return DUMP;
            return PICK;
        case INITFILE:
            while(*ptr != '0' && *ptr != ' ')
                ptr++;
            if (*ptr == '0')
                return DUMP;
            ptr++;
            for (i = 0; i < 9; i++)
                if ((strcmp(ptr, select_extention[i])) == 0)
                    return PICK;
            return DUMP;
    }
    return SUCCESS;
}

AMX1PARA.C
#include <stdio.h>
#include <conio.h>
#include <stdlib.h>
#include <string.h>
#include <ctype.h>
#include <math.h>
#include <dos.h>
#include <dir.h>
#include "armax1.h"

/* ----- */
int ParamChangeCall(void)
{
    extern char tmp_buff1[], tmp_buff2[], error_drive;
    extern long abs_useable_number, useable_number, skip_number,
               identification_number;
    extern FILE *fin_u, *fin_y, *fin_init;
    extern BINARY_FILE *u_file, y_file;
    extern INIT_FILE *init_file;
}

```

```

extern RPEM_SUB subp;
extern RPEM_PARAMETER rpemp;
char *string1[] = {"RPE", "PLR", "ELS", "RML"};
char *string2[] = {"", "& PMA", "& PMDA"};
char *string3[] = {"OFF", "ON"};
char clear_buff[77] = {"\0"};
char c, *ptr1, input_buff[256];
int i, j, k, method1, u_order;
long _dummy;
Crt_Reset();

while (1) {
    method1 = Method(&subp);
    if (*u_file.name != NULL)
        u_order = rpemp.n;
    else
        u_order = 0;
    window(1, 23, 80, 24);
    clrscr();
    window(1, 1, 80, 24);

    gotoxy(1, 4);
    textcolor(LIGHTCYAN);
    cprintf("ARMAX(%d, %d, %d) Identification : Using Algorithm = %s %s | ", rpemp.n, u_order, rpemp.n, string1[method1], string2[subp.activation]);
    cprintf(" | ");
    gotoxy(2, 7);
    printf("(0) Order → %d ", rpemp.n);
    gotoxy(44, 7);
    printf("(B) Record Length → %d Byte", y_file.byte);
    gotoxy(2, 9);
    if (*u_file.name == NULL) {
        textcolor(LIGHTGREEN);
        cprintf("(U) U Filename → UNDEFINED ");
    } else {
        ptr1 = String_Adjust_1(u_file.name, 35);
        printf("(U) U Filename → %s %ld Data", ptr1, u_file.number);
    }
    gotoxy(2, 10);
    if (*y_file.name == NULL) {
        textcolor(LIGHTRED);
        cprintf("(Y) Y Filename → UNDEFINED ");
    } else {
        ptr1 = String_Adjust_1(y_file.name, 35);
        printf("(Y) Y Filename → %s %ld Data", ptr1, y_file.number);
    }
    gotoxy(2, 11);
    if (*init_file.name == NULL) {
        textcolor(LIGHTGREEN);
        cprintf("(I) Initial File → UNDEFINED ");
    } else {
        if (rpemp.n != init_file.order)
            textcolor(LIGHTRED);
        else
            textcolor(WHITE);
        ptr1 = String_Adjust_1(init_file.name, 20);
        cprintf("(I) Initial File → %s for (%d, %d, %d) Identification", ptr1, init_file.order, init_file.order, init_file.order);
    }
}

gotoxy(2, 13);
printf("(S) Skip Data → % -10ld", skip_number);
gotoxy(2, 14);
if (identification_number > useable_number)
    textcolor(LIGHTRED);
else
    textcolor(WHITE);
cprintf("(N) Using Number → %ld / ", identification_number);
textcolor(LIGHTCYAN);
cprintf("%ld [Useable Number] ", useable_number);
gotoxy(2, 16);
printf("(1) F. Factor Mu → % -11.9f ", subp.lambda_mu);
gotoxy(44, 16);
printf("(2) F. Factor Init → % -11.9f ", subp.lambda_init);
gotoxy(2, 17);
printf("(3) C. Factor Mu → % -11.9f ", subp.contraction_mu);
gotoxy(44, 17);
printf("(4) Divergent Prev. → % -11.6G ", rpemp.c);
gotoxy(2, 18);
printf("(5) Stability Check → %s", string3[rpemp.stable]);
gotoxy(44, 18);
if (*init_file.name != NULL) {
    textcolor(LIGHTGREEN);
    cprintf("( ) P Matrix Init. → INEFFECTIVE");
} else
    printf("(6) P Matrix Init. → % -11.6G ", rpemp.pmatrix0);
gotoxy(2, 20);
if (subp.activation == 0)
    ptr1 = string3[0];
else {
    ptr1 = string2[subp.activation];
    ptr1 += 2;
}
printf("(7) Activation → %s", ptr1);
gotoxy(44, 20);
if (subp.activation == OFF) {
    textcolor(LIGHTGREEN);
    cprintf("( ) Act. Interval → INEFFECTIVE");
} else {
    if (subp.activation_interval > identification_number)
        textcolor(YELLOW);
    else
        textcolor(WHITE);
    printf("(8) Act. Interval → % -10ld ", subp.activation_interval);
}
gotoxy(2, 21);
if (subp.activation == OFF) {
    textcolor(LIGHTGREEN);
    cprintf("( ) Act. Power → INEFFECTIVE");
} else
    printf("(9) Act. Power → % -11.9f ", subp.activation_power);
gotoxy(2, 23);
textcolor(YELLOW);
j = Key_Judge();
switch (j) {
    case '0':
        cprintf("Identification Order [1 ≤ integer ≤ 8] → ");
        rpemp.n = Manual_Set_I(rpemp.n, 1, 8, EE, 20);
        break;
    case 'B':
        if (y_file.byte == 2) {
            u_file.byte = y_file.byte = 8;
}

```

```

    u_file.number /= 4;
    y_file.number /= 4;
} else {
    u_file.byte = y_file.byte = 2;
    u_file.number *= 4;
    y_file.number *= 4;
}
Useable_Renumber();
gotoxy(2, 9);
printf("%s", clear_buff);
gotoxy(2, 10);
printf("%s", clear_buff);
break;
case 'U':
if (File_Reset(BINARYFILE, input_buff) == FAULT){
    Crt_Reset();
    break;
}
if ((fin_u = fopen(input_buff, "rb")) == NULL) {
    ptr1 = String_Adjust_(input_buff, 20);
    sprintf(tmp_buff1,
        "Cannot Open Specified File [ %s ].", ptr1);
    Message(tmp_buff1, CONTINUE, LIGHTRED, MAXBOTTOM);
    break;
}
_dummy =
    Binary_File_Check(fin_u, u_file.byte, input_buff);
fclose(fin_u);
if (_dummy == FAULT){
    Crt_Reset();
    break;
}
strcpy(u_file.name, input_buff);
u_file.number = _dummy;
Useable_Renumber();
gotoxy(2, 9);
printf("%s", clear_buff);
Crt_Reset();
break;
case 'Y':
if (File_Reset(BINARYFILE, input_buff) == FAULT){
    Crt_Reset();
    break;
}
if ((fin_y = fopen(input_buff, "rb")) == NULL) {
    ptr1 = String_Adjust_(input_buff, 20);
    sprintf(tmp_buff1,
        "Cannot Open Specified File [ %s ].", ptr1);
    Message(tmp_buff1, CONTINUE, LIGHTRED, MAXBOTTOM);
    break;
}
_dummy =
    Binary_File_Check(fin_y, y_file.byte, input_buff);
fclose(fin_y);
if (_dummy == FAULT){
    Crt_Reset();
    break;
}
strcpy(y_file.name, input_buff);
y_file.number = _dummy;
Useable_Renumber();
gotoxy(2, 10);
printf("%s", clear_buff);
Crt_Reset();
break;
}
}

break;
case 'I':
if (File_Reset(INITFILE, input_buff) == FAULT){
    Crt_Reset();
    break;
}
if ((fin_init = fopen(input_buff, "r")) == NULL) {
    ptr1 = String_Adjust_(input_buff, 20);
    sprintf(tmp_buff1,
        "Cannot Open Specified File [ %s ].", ptr1);
    Message(tmp_buff1, CONTINUE, LIGHTRED, MAXBOTTOM);
    break;
}
scanf(fin_init, "%s %s", tmp_buff1, tmp_buff2);
if (strcmp(tmp_buff1, "INITIAL_PARAMETER_FILE")!= 0) {
    sprintf(tmp_buff1,
        "First Declaration of The Initial Parameter File Is Unsuitable.");
    Message(tmp_buff1, CONTINUE, LIGHTRED, MAXBOTTOM);
    fclose(fin_init);
    Crt_Reset();
    break;
}
if (*tmp_buff2 <='0' || *tmp_buff2 >='9') {
    sprintf(tmp_buff1,
        "Second Declaration of The Initial Parameter File Is Unsuitable.");
    Message(tmp_buff1, CONTINUE, LIGHTRED, MAXBOTTOM);
    fclose(fin_init);
    Crt_Reset();
    break;
}
fclose(fin_init);
strcpy(init_file.name, input_buff);
init_file.order = (int)(*tmp_buff2) - 48;
Crt_Reset();
break;
case 'S':
cprintf("Number of Skipping Data [0 ≤ integer ≤%id] → ",
        (abs_useable_number-1));
skip_number =
    Manual_Set_L(skip_number, 0,
                 (abs_useable_number-1), EE, 20);
Useable_Renumber();
break;
case 'N':
cprintf("Number of Identification [1 ≤ integer ≤%id] → ",
        useable_number);
identification_number =
    Manual_Set_L(identification_number, 1,
                 useable_number, EE, 20);
break;
case 'I':
cprintf("Forgetting Factor Mu [0 < real ≤1] → ");
subp.lambda_mu =
    Manual_Set_D(subp.lambda_mu, 0.0, 1.0, NE, 20);
break;
case '2':
cprintf("Forgetting Factor Init [0 < real ≤1] → ");
subp.lambda_init =
    Manual_Set_D(subp.lambda_init, 0.0, 1.0, NE, 20);
break;
case '3':
cprintf("Contraction Factor [0 ≤ real ≤1] → ");
subp.contraction_mu =
    Manual_Set_D(subp.contraction_mu, 0.0, 1.0, EE, 20);
break;
}
}

```

```

        break;
case '4':
    cprintf("Constant of Divergent Prevention [0 < real] → ");
    rpemp.c =
        Manual_Set_D(rpemp.c, 0.0, 1E+307, NN, 20);
    break;
case '5':
    if (rpemp.stable == ON)
        rpemp.stable = OFF;
    else
        rpemp.stable = ON;
    break;
case '6':
    if (*init_file.name != NULL)
        break;
    cprintf("Initialization of Diagonal of P Matrix [0 < real] → ");
    rpemp.pmatrix0 =
        Manual_Set_D(rpemp.pmatrix0, 0.0, 1E+307, NN, 20);
    break;
case '7':
    subp.activation++;
    if (subp.activation > 2)
        subp.activation = 0;
    break;
case '8':
    if (subp.activation == OFF)
        break;
    cprintf("Interval of Activation of P Matrix [1 ≤ integer ≤ %d] → ",
           useable_number);
    subp.activation_interval =
        Manual_Set_L(subp.activation_interval, 1,
                     useable_number, EE, 20);
    break;
case '9':
    if (subp.activation == OFF)
        break;
    cprintf("Power of Activation of P Matrix [1 ≤ real] → ");
    subp.activation_power =
        Manual_Set_D(subp.activation_power, 1.0, 1E+307, NN, 20);
    break;
case 1:
    skip_number = 0;
    useable_number = abs_useable_number;
    break;
case 2:
    identification_number = useable_number;
    break;
case 4:
    *u_file.name = NULL;
    break;
case 5:
    *init_file.name = NULL;
    break;
case 8:
    cprintf("Setting up PLR... Sure? (y/n) → ");
    c = toupper( getch() );
    if (c == 'Y')
        subp.contraction_mu = 1.0;
    break;
case 9:
    cprintf("Setting up ELS... Sure? (y/n) → ");
    c = toupper( getch() );
    if (c == 'Y'){
        subp.contraction_mu = 1.0;
        subp.lambda_init = 1.0;
    }
    break;
case 10:
    cprintf("Setting up RML... Sure? (y/n) → ");
    c = toupper( getch() );
    if (c == 'Y'){
        subp.contraction_mu = 0.0;
        subp.lambda_init = 1.0;
    }
    break;
case 27:
    return 0;
}

/* -----
int File_Reset(int file_kind, char *ptr1)
{
    extern int DriveError;
    extern char tmp_buff1[];
    int i;
    char *ptr2;
    FunctionKey(EMPTY);
    cprintf("PATH = ");
    gets(ptr1);
    if (*ptr1 == '.')
        return FAULT;
    i = Getfile(ptr1, file_kind);
    if (DriveError == ON){
        Drive_Message();
        return FAULT;
    }
    switch (i){
        case NOTHING:
            sprintf(tmp_buff1,
                    "Filing File Does Not Exist on The Specified PATH.");
            Message(tmp_buff1, CONTINUE, LIGHTRED, MAXBOTTOM);
        case FAULT:
            return FAULT;
    }
    return SUCCESS;
}

/* -----
void Crt_Reset(void)
{
    clrscr();
    FunctionKey(PARAMCHANGE);
    Title();
    gotoxy(51, 2);
    textcolor(YELLOW);
    cprintf("SELECT FUNCTION :: OK → ESC");
}

/* -----
void Usable_Renumber(void)
{
    extern long abs_useable_number, useable_number, skip_number;
    extern BINARYFILE u_file, y_file;
    if (*u_file.name != NULL)
        abs_useable_number = (long)min(u_file.number, y_file.number);
    else

```

```

abs_useable_number = y_file.number;
if (abs_useable_number < skip_number)
    skip_number = 0;
useable_number = abs_useable_number - skip_number;
}

```

AMX1FILE.C

```

#include <stdio.h>
#include <conio.h>
#include <stdlib.h>
#include <string.h>
#include <ctype.h>
#include <math.h>
#include <dos.h>
#include <dir.h>
#include "armax1.h"

/*-----*/
int FileChangeCall(void)
{
    extern char *out_filename[], pole_filename[], pl_filename[],
              tmp_buff[];
    extern long *useable_number, identification_number,
               interval_number;
    extern BINARYFILE *u_file;
    extern RPEM_SUBLIST subp;
    extern RPEM_PARAMETER rpemp;
    char *string1[] = {"", "RPE", "PLR", "ELS", "RML"};
    char *string2[] = {"", "& PMA", "& PMDA"};
    char *ptr1, input_buf[256];
    int i, j, k, method1, u_order;
    clrscr();
    FunctionKey(FILECHANGE);
    Title0;
    gotoxy(51, 2);
    textcolor(YELLOW);
    cprintf("SELECT FUNCTION :: OK → ESC");
    method1 = Method(&subp);
    if (*file.name != NULL)
        u_order = rpemp.n;
    else
        u_order = 0;
    gotoxy(1, 4);
    textcolor(LIGHTCYAN);
    cprintf(" | ARMAX(%d, %d, %d) Identification | ");
    cprintf(" | rpemp.n, u_order, rpemp.n); | ");
    cprintf(" | Using Algorithm = %s %s | ");
    string1[method1], string2[subp.activation]);
    cprintf(" | Used Number of Data = %-10ld | ", identification_number);
    cprintf(" | 0); | ");
    while (1) {
        window(1, 21, 80, 24);
        clrscr();
        window(1, 1, 80, 24);
        textcolor(LIGHTCYAN);
        gotoxy(2, 10);
        cprintf("TEXT FILE OF RESULT");
        gotoxy(2, 11);
        textcolor(WHITE);
        ptr1 = String_Adjust_1(out_filename, 40);

```

```

printf("(0) Filename → %-40s", ptr1);
gotoxy(2, 12);
if (interval_number > identification_number ||
    interval_number > useable_number)
    textcolor(LIGHTRED);
else
    textcolor(WHITE);
cprintf("(1) Output Interval → % -10ld", interval_number);
textcolor(LIGHTCYAN);
gotoxy(2, 14);
cprintf("BINARY FILE OF REAL POLE");
gotoxy(2, 15);
if (*pole_filename == NULL) {
    textcolor(LIGHTGREEN);
    cprintf("(2) Filename → UNDEFINED");
} else {
    textcolor(WHITE);
    ptr1 = String_Adjust_1(pole_filename, 40);
    printf("(2) Filename → %-40s", ptr1);
}
textcolor(LIGHTCYAN);
gotoxy(2, 17);
cprintf("TEXT FILE OF P MATRIX AND GAIN VECTOR");
gotoxy(2, 18);
if (*pl_filename == NULL) {
    textcolor(LIGHTGREEN);
    cprintf("(3) Filename → UNDEFINED");
} else {
    textcolor(WHITE);
    ptr1 = String_Adjust_1(pl_filename, 40);
    printf("(3) Filename → %-40s", ptr1);
}
gotoxy(2, 21);
textcolor(YELLOW);
J = Key_Judge0;
switch (J) {
    case '0':
        cprintf("Output File Name → ");
        Manual_Set_F(out_filename, WITH_EXTENTION,
                     102, MAXBOTTOM);
        break;
    case '1':
        cprintf("Interval of Output [1 ≤ integer ≤ %ld] → ",
               identification_number);
        interval_number =
            Manual_Set_L(interval_number, 1,
                         identification_number, EE, 20);
        break;
    case '2':
        cprintf("Output File Name [without Extention Symbol] → ");
        Manual_Set_F(pole_filename, WITHOUT_EXTENTION,
                     102, MAXBOTTOM);
        break;
    case '3':
        cprintf("P/L File Name → ");
        Manual_Set_F(pl_filename, WITH_EXTENTION,
                     102, MAXBOTTOM);
        break;
    case 1:
        *pole_filename = NULL;
        break;
    case 2:
        *pl_filename = NULL;
        break;
}

```

```

    case 27 :
        return 0;
    }
}

AMX1INPU.C

#include <stdio.h>
#include <conio.h>
#include <stdlib.h>
#include <string.h>
#include <ctype.h>
#include "amax1.h"

/* -----
double Manual_Set_D(double pool, double min, double max, int type,
                     unsigned char length)
{
    char message_buff[80], input_buff[128], *ptr1, *ptr2;
    double new_value;
    ptr1 = input_buff;
    ptr1 += 2;
    *input_buff = length;
    cgets(input_buff);
    if (*ptr1 == '\0')
        return pool;
    new_value = atof(ptr1);
    if (*ptr1 >= '0' && *ptr1 <= '9')
        switch (type) {
            case NN :
                if (new_value > min && new_value < max)
                    return new_value;
                break;
            case NE :
                if (new_value > min && new_value <= max)
                    return new_value;
                break;
            case EN :
                if (new_value >= min && new_value < max)
                    return new_value;
                break;
            case EE :
                if (new_value >= min && new_value <= max)
                    return new_value;
                break;
        }
    ptr2 = String_Adjust_2(ptr1, 20);
    sprintf(message_buff, "[ %s ] is Illegal Value. Cannot Renew.", ptr2);
    Message(message_buff, CONTINUE, LIGHTRED, MAXBOTTOM);
    return pool;
}

/* -----
int Manual_Set_I(int pool, int min, int max, int type,
                  unsigned char length)
{
    char message_buff[80], input_buff[128], *ptr1, *ptr2;
    int new_value;
    ptr1 = input_buff;
    ptr1 += 2;
    *input_buff = length;
    cgets(input_buff);
    if (*ptr1 == '\0')
        return pool;
    new_value = atoi(ptr1);
    if (*ptr1 >= '0' && *ptr1 <= '9')
        switch (type) {
            case NN :
                if (new_value > min && new_value < max)
                    return new_value;
                break;
            case NE :
                if (new_value > min && new_value <= max)
                    return new_value;
                break;
            case EN :
                if (new_value >= min && new_value < max)
                    return new_value;
                break;
            case EE :
                if (new_value >= min && new_value <= max)
                    return new_value;
                break;
        }
    ptr2 = String_Adjust_2(ptr1, 20);
    sprintf(message_buff, "[ %s ] is Illegal Value. Cannot Renew.", ptr2);
    Message(message_buff, CONTINUE, LIGHTRED, MAXBOTTOM);
    return pool;
}

```

```

    if (*ptr1 == '\0')
        return pool;
    new_value = atoi(ptr1);
    if (*ptr1 >= '0' && *ptr1 <= '9')
        switch (type) {
            case NN :
                if (new_value > min && new_value < max)
                    return new_value;
                break;
            case NE :
                if (new_value > min && new_value <= max)
                    return new_value;
                break;
            case EN :
                if (new_value >= min && new_value < max)
                    return new_value;
                break;
            case EE :
                if (new_value >= min && new_value <= max)
                    return new_value;
                break;
        }
    ptr2 = String_Adjust_2(ptr1, 20);
    sprintf(message_buff, "[ %s ] is Illegal Value. Cannot Renew.", ptr2);
    Message(message_buff, CONTINUE, LIGHTRED, MAXBOTTOM);
    return pool;
}

/* -----
long Manual_Set_L(long pool, long min, long max, int type,
                  unsigned char length)
{
    char message_buff[80], input_buff[128], *ptr1, *ptr2;
    long new_value;
    ptr1 = input_buff;
    ptr1 += 2;
    *input_buff = length;
    cgets(input_buff);
    if (*ptr1 == '\0')
        return pool;
    new_value = atol(ptr1);
    if (*ptr1 >= '0' && *ptr1 <= '9')
        switch (type) {
            case NN :
                if (new_value > min && new_value < max)
                    return new_value;
                break;
            case NE :
                if (new_value > min && new_value <= max)
                    return new_value;
                break;
            case EN :
                if (new_value >= min && new_value < max)
                    return new_value;
                break;
            case EE :
                if (new_value >= min && new_value <= max)
                    return new_value;
                break;
        }
    ptr2 = String_Adjust_2(ptr1, 20);
    sprintf(message_buff, "[ %s ] is Illegal Value. Cannot Renew.", ptr2);
    Message(message_buff, CONTINUE, LIGHTRED, MAXBOTTOM);
    return pool;
}

```

```

    return pool;
}

/* -----
int Manual_Set_F(char *filename, int extention, unsigned char length,
                 int line)
{
    char message_buff[80], input_buff[128], *ptr1, *ptr2;
    ptr1 = input_buff;
    ptr1 += 2;
    *input_buff = length;
    cgets(input_buff);
    if (*ptr1 == '\0')
        return FAULT;
    if (Filename_Check(ptr1, 12, extention) == FAULT){
        ptr2 = String_Adjust_1(ptr1, 18);
        sprintf(message_buff,
                "[ %s ] is Unsuitable Filename.", ptr2);
        Message(message_buff, CONTINUE, LIGHTRED, line);
        return FAULT;
    }
    strcpy(filename, ptr1);
    return SUCCESS;
}

```

AMX1FUNC.C

```

#include <math.h>
#include <stdio.h>
#include <stdlib.h>
#include <string.h>
#include "armax1.h"

/* -----
int Method(RPEM_SUB*subp)
{
    int method;
    if (subp->contraction_mu == 1.0) {
        method = PLR;
        if (subp->lambd_a_init == 1.0)
            method = ELS;
    } else {
        if (subp->contraction_mu == 1.0 && subp->lambd_a_init == 1.0)
            method = RML;
        else
            method = RPEM;
    }
    return method;
}

/* -----
char *String_Adjust_1(char *ptr1, int max_length)
{
    int i, length;
    if ((length = strlen(ptr1)) > max_length)
        for (i = 1; i <= (length - max_length); i++)
            ptr1++;
    return ptr1;
}

/* -----
char *String_Adjust_2(char *ptr1, int max_length)
{
    int i, length;
    char *ptr2;
    ptr2 = ptr1;
    if ((length = strlen(ptr1)) > max_length) {
        for (i = 1; i <= (length - max_length); i++)
            ptr1++;
        *ptr1 = NULL;
    }
    return ptr1;
}

```

```

/* -----
int Filename_Check(char *ptr, int maxlen, int extention)
{
    extern char tmp_buff1[];
    char *ptr1;
    int i, counter = 1;
    for (i = 0; i < 256; i++)
        tmp_buff1[i] = '\0';
    strcpy(tmp_buff1, ptr);
    if ((ptr1 = strchr(tmp_buff1, '.')) == NULL)
        ptr1 = tmp_buff1;
    else
        ptr1++;
    if (*ptr1 == '\0' || strlen(ptr1) >= maxlen)
        return FAULT;
    while (*ptr1 != '.' && *ptr1 != '\0') {
        ptr1++;
        counter++;
    }
    if (*ptr1 == '.' && extention == WITHOUT_EXTENTION)
        return FAULT;
    if (counter > 9 || strlen(ptr1) > 4)
        return FAULT;
    return SUCCESS;
}

/* -----
void File_Close(void)
{
    extern FILE *fin_y, *fin_u, *fin_init, *fout_result,
               *fout_pole[], *fout_pl;
    extern char pl_filename[], pole_filename[];
    extern INIT_FILE init_file;
    extern BINARY_FILE u_file;
    extern RPEM_PARAMETER rpemp;
    int i;
    fclose(fin_y);
    fclose(fout_result);
    if (*pole_filename != NULL)
        for (i = 1; i <= rpemp.n; i++)
            fclose(fout_pole[i]);
    if (*pl_filename != NULL)
        fclose(fout_pl);
    if (*u_file.name != NULL)
        fclose(fin_y);
    if (*init_file.name != NULL)
        fclose(fin_init);
}

/* -----
void Udl_to_P(int order, double udl[][25], double p[][25])
{
}

```

```

int i, j, k, start_row;
double u[25][25], d[25][25], l[25][25], dummy[25][25];
for (i = 0; i <= 24; i++) {
    for (j = 0; j <= 24; j++) {
        u[i][j] = 0.0;
        d[i][j] = 0.0;
        l[i][j] = 0.0;
        dummy[i][j] = 0.0;
        p[i][j] = 0.0;
    }
}
for (i = 1; i < order; i++) {
    start_row = i + 1;
    for (j = start_row; j <= order; j++) {
        u[i][j] = ud[i][j];
        l[i][j] = udl[i][j];
    }
}
for (i = 1; i <= order; i++) {
    u[i][0] = 1.0;
    l[i][0] = 1.0;
}
for (i = 1; i <= order; i++) {
    d[i][0] = udl[i][0];
}
for (i = 1; i <= order; i++) {
    for (j = 1; j <= order; j++) {
        for (k = 1; k <= order; k++) {
            dummy[i][j] += u[i][k] * d[k][j];
        }
    }
}
for (i = 1; i <= order; i++) {
    for (j = 1; j <= order; j++) {
        for (k = 1; k <= order; k++) {
            p[i][j] += dummy[i][k] * l[k][j];
        }
    }
}

```

76

AMX1CALL.C

```

#include <stdio.h>
#include <stdlib.h>
#include <conio.h>
#include <string.h>
#include <math.h>
#include <dos.h>
#include <time.h>
#include <pc98.h>
#include "armax1.h"

/* -----
 * Armax_Call(void)
 */
extern FILE *fin_y, *fin_u, *fin_init, *fout_result,
          *fout_pole[], *fout_p;
extern char tmp_buff1[], pl_filename[], pole_filename[];
extern long skip_number, identification_number,
         interval_number;
extern int AutoSystem, AutoStop;
extern INIT_FILE init_file;
extern RPEM_PARAMETER rpemp;
extern RPEM_SUB subp;
extern BINARY_FILE u_file, y_file;
struct time start_time;
time_t first_time, second_time, injury_time = 0L, inju1,
      inju2;
char answer;
*string1[] = {"", "RPE", "PLR", "ELS", "RML"},
```

```

        *string2[] = {" ", "& PMA", "& PMDA"};
        int method1, u_order, nnn, force_break = OFF;
        unsigned code;
        long t;
        clrscr();
        if (AutoSystem == ON)
            FunctionKey(RPEMCALL2);
        else
            FunctionKey(RPEMCALL1);
        window(1, 1, 80, 24);
        Title();
        method1 = Method(&subp);
        if (*u_file.name != NULL)
            u_order = rpemp.n;
        else
            u_order = 0;
        gotoxy(1, 4);
        textcolor(LIGHTCYAN);
        if (AutoSystem == ON)
            printf("----- PROGRAM MODE -----");
        else
            printf("----- Identification : Using Algorithm = %s %s -----");
        rpemp.n, u_order, rpemp.n, string1[method1], string2[subp.activation]);
        printf("-----");
        if (Starting_Check() == FAULT){
            File_Close();
            return FAULT;
        }
        /* Parameter Initialization */
        if (*init_file.name != NULL){
            if (Parameter_Init() == FAULT){
                File_Close();
                return FAULT;
            }
        } else
            Parameter_Std_Init();
        /* Data Skip */
        fseek(fin_y, (skip_number*y_file.byte), SEEK_SET);
        if (*u_file.name != NULL)
            fseek(fin_u, (skip_number*u_file.byte), SEEK_SET);
        gettime(&start_time);
        second_time = first_time - time(NULL);
        gotoxy(49, 2);
        textcolor(YELLOW);
        printf("Start of Calculation = %2d:%02d:%02d",
               start_time.ti_hour, start_time.ti_min, start_time.ti_sec);
        textcolor(WHITE);
        window(1, 10, 80, 24);
        /* Start of Identification */
        nnn = rpemp.n * 3;
        rpemp.lambda = subp.lambda_init;
        rpemp.K = 0.0;
        for (i = 1; i <= identification_number; i++){
            rpemp.y = Read_Data(fin_y, y_file.byte);
            if (*u_file.name != NULL)
                rpemp.u = Read_Data(fin_u, u_file.byte);
            else
                rpemp.u = 0.0;
            Rpm_Routine();
            if (*pole_filename != NULL)
                Output_Pole();
```

```

if (i % interval_number == 0) {
    Output_Result(i);
    if (*pl_filename != NULL)
        Output_PL(i, subp.activation);
    second_time = time(NULL);
    Time_Information(i, first_time, second_time, injury_time);
    code = pc98key(5);
    if (code == 0x6200 || code == 0x6B00) {
        inju1 = time(NULL);
        gotoxy(18, 14);
        textattr(YELLOW | BLINK | REVERSE);
        cprintf(" Will You Stop This Calculation Really ? (Y/N) %r");
        answer = 'W0';
        while (answer != 'Y' && answer != 'N')
            answer = toupper(getch());
        if (answer == 'Y') {
            force_break = ON;
            if (code == 0x6B00)
                AutoStop = ON;
            break;
        }
    } else {
        gotoxy(18, 14);
        textattr(WHITE);
        cprintf("%r%r");
    }
    inju2 = time(NULL);
    injury_time += difftime(inju2, inju1);
}
if (code == 0x6A00)
    AutoStop = ON;
pc98key(3);

if (subp.activation != OFF)
    if (i % subp.activation_interval == 0)
        switch (subp.activation) {
            case PMA:
                for (j = 1; j < nnn; j++)
                    rpemp.UDL[j][j] *= subp.activation_power;
                break;
            case PMDA:
                for (j = 1; j < nnn; j++)
                    rpemp.P[j][j] *= subp.activation_power;
                break;
        }
    rpemp.lambda = subp.lambda_mu * rpemp.lambda +
        1.0 - subp.lambda_mu;
    rpemp.K = subp.contraction_mu * rpemp.K +
        1.0 - subp.contraction_mu;
}

/* Writing Information to Result File */
Writing_Info(rpemp.n, u_order, string1[method1],
             string2[subp.activation], force_break);
sprintf(tmp_buff1, "NORMALTERMINATION.");
Message(tmp_buff1, CONTINUE, LIGHTCYAN, MAXBOTTOM);
window(1, 1, 80, 24);
File_Close();
return SUCCESS;
}

/* Starting_Check(void)
{
    extern int DriveError;
    extern char out_filename[], pole_filename[], pl_filename[],
              tmp_buff1[], tmp_buff2[];
    extern long identification_number, useable_number,
              interval_number;
    extern FILE *fin_y, *fin_u, *fin_init, *fout_result,
              *fout_pole[], *fout_pl;
    extern RPEM_PARAMETER rpemp;
    extern BINARY_FILE u_file, y_file;
    extern INIT_FILE init_file;
    char *ptr1, c;
    unsigned char pir2, ptr3;
    int i, check_byte;
    double d1_dummy;

    if (identification_number > useable_number) {
        sprintf(tmp_buff1,
                "Number to Identify Exceed Number of Useable Data.");
        Message(tmp_buff1, CONTINUE, LIGHTRED, MAXBOTTOM);
        return FAULT;
    }
    if (interval_number > identification_number) {
        sprintf(tmp_buff1,
                "Interval of Output Exceeds Number to Identify.");
        Message(tmp_buff1, CONTINUE, LIGHTRED, MAXBOTTOM);
        return FAULT;
    }
    if ((fout_result = fopen(out_filename, "wt")) == NULL) {
        if (DriveError == ON)
            Drive_Message();
        sprintf(tmp_buff1,
                "Check PATH of Output Filename(Result) or Disk Condition");
        Message(tmp_buff1, CONTINUE, LIGHTRED, MAXBOTTOM);
        return FAULT;
    }
    if (*pole_filename != NULL) {
        for (i = 1; i <= rpemp.n; i++) {
            strcpy(tmp_buff1, pole_filename);
            strcat(tmp_buff1, ".");
            itoa(i, tmp_buff1, 10);
            strcat(tmp_buff1, tmp_buff2);
            if ((fout_pole[i] = fopen(tmp_buff1, "wb")) == NULL) {
                if (DriveError == ON)
                    Drive_Message();
                sprintf(tmp_buff1,
                        "Check PATH of Output Filename(Pole) or Disk Condition");
                Message(tmp_buff1, CONTINUE, LIGHTRED, MAXBOTTOM);
                return FAULT;
            }
        }
    }
    if (*pl_filename != NULL)
        if ((fout_pl = fopen(pl_filename, "wt")) == NULL) {
            if (DriveError == ON)
                Drive_Message();
            sprintf(tmp_buff1,
                    "Check PATH of Output File(P/L) or Disk Condition");
            Message(tmp_buff1, CONTINUE, LIGHTRED, MAXBOTTOM);
            return FAULT;
        }
    if ((fin_y = fopen(y_file.name, "rb")) == NULL) {
        ptr1 = String_Adjust_1(y_file.name, 10);
        sprintf(tmp_buff1,
                "Cannot Open Time Series File [%s]. Check Your Machine.", ptr1);
        Message(tmp_buff1, CONTINUE, LIGHTRED, MAXBOTTOM);
    }
}

```

```

    return FAULT;
}
check_byte = 0;
if (y_file.byte == 8) {
    fseek(fin_y, 6, SEEK_CUR);
    fread(&ptr2, 1, 1, fin_y);
    fread(&ptr3, 1, 1, fin_y);
    if (ptr2 > 0xEFu && (ptr3 == 0x7Fu || ptr3 == 0xFFu))
        check_byte = 1;
    else {
        fseek(fin_y, 0, SEEK_SET);
        fread(&d1_dummy, 8, 1, fin_y);
        d1_dummy = fabs(d1_dummy);
        if (d1_dummy > 1E+10 || d1_dummy < 1E-10)
            check_byte = 2;
    }
    switch (check_byte) {
        case 2:
            sprintf(tmp_buff1,
                "Now, Setting of Record Length Is 8 Byte. But It Seems to Be Your Mistake.");
            Message(tmp_buff1, FREE, LIGHTMAGENTA, 22);
            sprintf(tmp_buff1,
                "Do you Want to Continue This Process ? [Y/N]");
            Message(tmp_buff1, FREE, YELLOW, MAXBOTTOM);
            c = toupper(getch());
            if (c == 'Y')
                break;
            else
                return FAULT;
        case 1:
            sprintf(tmp_buff1,
                "Now, Setting of Record Length Is 8 Byte. But It is Your Mistake Clearly.");
            Message(tmp_buff1, FREE, LIGHTRED, 22);
            sprintf(tmp_buff1,
                "So, This Process Is Terminated by Force.");
            Message(tmp_buff1, CONTINUE, LIGHTRED, MAXBOTTOM);
            return FAULT;
    }
}
if (*u_file.name != NULL) {
    if (strcmp(u_file.name, y_file.name) == 0) {
        sprintf(tmp_buff1,
            "U-Filename=Y-Filename. The Same Name Is Used.", ptr1);
        Message(tmp_buff1, CONTINUE, LIGHTRED, MAXBOTTOM);
        return FAULT;
    }
    if ((fin_u = fopen(u_file.name, "rb")) == NULL) {
        ptr1 = String_Adjust_1(u_file.name, 10);
        sprintf(tmp_buff1,
            "Cannot Open Time Series File [%s]. Check Your Machine.", ptr1);
        Message(tmp_buff1, CONTINUE, LIGHTRED, MAXBOTTOM);
        return FAULT;
    }
}
if (*init_file.name != NULL) {
    if ((fin_init = fopen(init_file.name, "rt")) == NULL) {
        if (DriveError == ON)
            Drive_Message();
        sprintf(tmp_buff1,
            "Check PATH of Output File (P/L) or Disk Condition");
        Message(tmp_buff1, CONTINUE, LIGHTRED, MAXBOTTOM);
        return FAULT;
    }
}
if (init_file.order != rpemp.n) {

    sprintf(tmp_buff1,
        "There Is Discrepancy as to Identification Order.");
    Message(tmp_buff1, CONTINUE, LIGHTRED, MAXBOTTOM);
    return FAULT;
}
return SUCCESS;
}

/*-----*/
int Parameter_Init(void)
{
    extern char      tmp_buff1[], tmp_buff2[];
    extern FILE     *fin_init;
    extern RPEM_PARAMETER rpemp;
    int             i, check, loop;
    double          d1_dummy;

    loop = rpemp.n * 3;
    check = 1;
    while (fscanf(fin_init, "%s", tmp_buff1) != EOF)
        if ((check = strcmp(tmp_buff1, "PARAMETER")) == 0)
            break;
    if (check != 0) {
        sprintf(tmp_buff1, "Initial Parameter File Does Not Obey Defined Format.");
        Message(tmp_buff1, CONTINUE, LIGHTRED, MAXBOTTOM);
        return FAULT;
    }
    for (i = 1; i <= loop; i++) {
        fscanf(fin_init, "%s %s", tmp_buff1, tmp_buff2);
        d1_dummy = atof(tmp_buff2);
        if ("tmp_buff2 <'" || "tmp_buff2 > '9') {
            sprintf(tmp_buff1, "Illegal Value as Initial Parameter.");
            Message(tmp_buff1, CONTINUE, LIGHTRED, MAXBOTTOM);
            return FAULT;
        }
        rpemp.theta[i] = d1_dummy;
    }
    check = 1;
    while (fscanf(fin_init, "%s", tmp_buff1) != EOF)
        if ((check = strcmp(tmp_buff1, "P_MATRIX_or_UDL_MATRIX")) == 0)
            break;
    if (check != 0) {
        sprintf(tmp_buff1, "Initial Parameter File Does Not Obey Defined Format.");
        Message(tmp_buff1, CONTINUE, LIGHTRED, MAXBOTTOM);
        return FAULT;
    }
    for (i = 1; i <= loop; i++) {
        for (j = 1; j <= loop; j++) {
            fscanf(fin_init, "%s %s", tmp_buff1, tmp_buff2);
            d1_dummy = atof(tmp_buff2);
            if ("tmp_buff2 <'" || "tmp_buff2 > '9') {
                sprintf(tmp_buff1, "Illegal Value as Initial P Matrix.");
                Message(tmp_buff1, CONTINUE, LIGHTRED, MAXBOTTOM);
                return FAULT;
            }
            rpemp.UDL[i][j] = rpemp.P[i][j] = d1_dummy;
        }
    }
    check = 1;
    while (fscanf(fin_init, "%s", tmp_buff1) != EOF)
        if ((check = strcmp(tmp_buff1, "L_VECTOR")) == 0)
            break;
    if (check != 0) {
        sprintf(tmp_buff1, "Initial Parameter File Does Not Obey Defined Format.");
        Message(tmp_buff1, CONTINUE, LIGHTRED, MAXBOTTOM);
        return FAULT;
    }
}

```

```

Message(tmp_buff1, CONTINUE, LIGHTRED, MAXBOTTOM);
return FAULT;
}
for (i = 1; i <= loop; i++) {
    fscanf(fin_init, "%s %s", tmp_buff1, tmp_buff2);
    d1_dummy = atof(tmp_buff2);
    if (*tmp_buff2 < '-' || *tmp_buff2 > '9') {
        serror(tmp_buff1, "Illegal Value as Initial Kalman Gain.");
        Message(tmp_buff1, CONTINUE, LIGHTRED, MAXBOTTOM);
        return FAULT;
    }
    rpemp.L[i] = d1_dummy;
}
return SUCCESS;
}

/* -----
void Parameter_Sld_Init(void)
{
    extern RPEM_PARAMETER rpemp;
    int i, j, loop;
    loop = rpemp.n * 3;
    for (i = 1; i <= loop; i++) {
        rpemp.theta[i] = 0.0;
        rpemp.L[i] = 0.0;
        rpemp.phi[i] = 0.0;
        rpemp.ps[i] = 0.0;
        for (j = 1; j <= loop; j++) {
            rpemp.UDL[i][j] = 0.0;
            rpemp.P[i][j] = 0.0;
        }
        rpemp.P[i][i] = rpemp.pmatrix0;
        rpemp.UDL[i][i] = rpemp.pmatrix0;
    }
}

/* -----
void Time_Information(long number, time_t first_time,
                     time_t second_time, time_t injury_time)
{
    extern long identification_number;
    extern char tmp_buff1[];
    struct time t1;
    int i_hour, i_minute, i_second, previous_y;
    double remain_number, passed_time, necessary_time,
           remain_time, hour, minute;
    remain_number = (double)(identification_number - number);
    passed_time = difftime(second_time, first_time) - injury_time;
    necessary_time = passed_time / (double)number;
    remain_time = remain_number * necessary_time;
    remain_time = ceil(remain_time);
    hour = floor(remain_time / 3600.0);
    remain_time -= hour*3600.0;
    i_hour = (int)hour;
    minute = floor(remain_time / 60.0);
    remain_time -= minute*60.0;
    i_minute = (int)minute;
    i_second = (int)remain_time;
    gettime(&t1);
    i_second += t1.ti.sec;
    if (i_second >= 60) {
        i_second -= 60;
        i_minute++;
    }
}

/* -----
void RPEM_Routine(void)
{
    extern RPEM_PARAMETER rpemp;
    extern RPEM_SUB subp;
    int i, j, k, nnn, ex_part_s, ma_part_s;
    double d1_dummy, amy, ma_part[28], y1_hat, u1_hat, e1_hat, c_i;
    nnn = rpemp.n * 3;
    ex_part_s = rpemp.n + 1;
    ma_part_s = 2*rpemp.n + 1;
    /* Calculation of Prediction Error */
    rpemp.prediction_error = rpemp.y;
    for (i = 1; i <= nnn; i++) {
        rpemp.prediction_error -= rpemp.phi[i] * rpemp.theta[i];
    }
    /* Stability Check and Decision of AMY */
    amy = 1.0;
    if (rpemp.stable == ON) {
        i_minute += t1.ti.min;
        if (i_minute >= 60) {
            i_minute -= 60;
            i_hour++;
        }
        hour += t1.ti.hour;
        if (i_hour >= 24) {
            i_hour -= 24;
            previous_y = wherey();
            window(1, 1, 80, 24);
            sprintf(tmp_buff1,
                    "The Current Time = %2d:%02d:%02d    Expected Time of Finish = %2d:%02d:%02d",
                    t1.ti.hour, t1.ti.min, t1.ti.sec, i_hour, i_minute, i_second);
            Message(tmp_buff1, FREE, LIGHTGREEN, 8);
            window(1, 10, 80, 24);
            gotoxy(1, previous_y);
        }
    }
}

/* -----
double Read_Data(FILE*fin, int byte)
{
    int i_dummy;
    double value;
    switch (byte) {
        case 2:
            fread(&i_dummy, 2, 1, fin);
            value = (double)i_dummy;
            break;
        case 8:
            fread(&value, 8, 1, fin);
            break;
    }
    return value;
}

```

AMX1RPEM.C

```

#include <stdio.h>
#include <stdlib.h>
#include <conio.h>
#include <string.h>
#include <math.h>
#include "armax1.h"

/* -----
void Rpem_Routine(void)
{
    extern RPEM_PARAMETER rpemp;
    extern RPEM_SUB subp;
    int i, j, k, nnn, ex_part_s, ma_part_s;
    double d1_dummy, amy, ma_part[28], y1_hat, u1_hat, e1_hat, c_i;
    nnn = rpemp.n * 3;
    ex_part_s = rpemp.n + 1;
    ma_part_s = 2*rpemp.n + 1;
    /* Calculation of Prediction Error */
    rpemp.prediction_error = rpemp.y;
    for (i = 1; i <= nnn; i++) {
        rpemp.prediction_error -= rpemp.phi[i] * rpemp.theta[i];
    }
    /* Stability Check and Decision of AMY */
    amy = 1.0;
    if (rpemp.stable == ON) {

```

```

while(1) {
    for (i=0; i<rpemp.n; i++) {
        j=ma_part_s+i;
        ma_part[i+2] = rpemp.theta[i] + rpemp.L[i]*rpemp.prediction_error*amy;
    }
    ma_part[1] = 1.0;
    if (Stable_Check(ma_part, rpemp.n) == SUCCESS)
        break;
    amy /= 2.0;
}

/* Renewal of Parameter */
for (i=1; i<=nnn; i++)
    rpemp.theta[i] += rpemp.L[i] * rpemp.prediction_error * amy;

/* Calculation of Current Residual */
rpemp.residual = rpemp.y;
for (i=1; i<=nnn; i++)
    rpemp.residual -= rpemp.phi[i] * rpemp.theta[i];

/* Whiting of Residual */
y1_hat = rpemp.y;
u1_hat = rpemp.u;
e1_hat = rpemp.residual;
for (i=0; i<rpemp.n; i++) {
    d1_dummy = (double)i+1.0;
    c_i = rpemp.theta[ma_part_s + i] * pow(rpemp.K, d1_dummy);
    y1_hat += c_i * rpemp.psi[i];
    u1_hat -= c_i * rpemp.psi[ex_part_s + i];
    e1_hat -= c_i * rpemp.psi[ma_part_s + i];
}

/* Update of Time Series Containment Vector phi[] psi[] */
for (i=2; i<=rpemp.n; i++)
    for (j=1; j<=3; j++) {
        k = j*rpemp.n + 2 - i;
        rpemp.phi[k] = rpemp.phi[k-1];
        rpemp.psi[k] = rpemp.psi[k-1];
    }
rpemp.phi[1] = -rpemp.y;
rpemp.phi[ex_part_s] = rpemp.u;
rpemp.phi[ma_part_s] = rpemp.residual;
rpemp.psi[1] = -y1_hat;
rpemp.psi[ex_part_s] = u1_hat;
rpemp.psi[ma_part_s] = e1_hat;

/* Update of P Matrix or UDL Matrix and Gain Vector L*/
switch (subp.activation) {
    case OFF:
    case PMA:
        UDL_Factorization(&rpemp);
        break;
    case PMDA:
        P_Matrix_Calc(&rpemp);
        break;
}
}

/* -----
int Stable_Check(double *work, int n)
{
    int i, k, n1, nk1, nk;
    double al;
    n1 = n+1;
    for (i=1; i<=n1; i++)
        work[n1+i] = 0.0;
    for (k=0; k<n; k++) {
        nk1 = n - k;
        for (i=1; i<=nk1; i++)
            work[n1+i] = work[nk1-i+1];
        if (work[n1+nk1] == 0.0)
            return FAULT;
        al = work[nk1] / work[n1+nk1];
        if (fabs(al) >= 1.0)
            return FAULT;
        nk = n - k;
        for (i=1; i<=nk; i++)
            work[i] -= al*work[n1+i];
    }
    return SUCCESS;
}

----- */

int UDL_Factorization(RPEM_PARAMETER *rpemp)
{
    int i, j, k, l, nnn;
    double f[25], g[25], previous_beta, beta_inverse, beta, previous_g,
           previous_udl, d1_dummy;
    nnn = rpemp->n * 3;
    for (i = 2; i <= nnn; i++) {
        j = nnn + 2 - i;
        f[i] = rpemp->psi[i];
        k = j - 1;
        for (l = 1; l <= k; l++)
            f[l] += rpemp->UDL[l][i] * rpemp->psi[l];
        g[i] = rpemp->UDL[i][i] * rpemp->psi[i];
    }
    g[1] = rpemp->UDL[1][1] * rpemp->psi[1];
    f[1] = rpemp->psi[1];
    previous_beta = rpemp->lambdla + f[1]*g[1];
    beta_inverse = 0.0;
    if (previous_beta > 0.0)
        beta_inverse = 1.0 / previous_beta;
    if (g[1] != 0.0)
        rpemp->UDL[1][1] = beta_inverse * rpemp->UDL[1][1];
    for (i = 2; i <= nnn; i++) {
        beta = previous_beta;
        previous_g = g[i];
        previous_beta += previous_g * f[i];
        if (previous_beta == 0.0)
            continue;
        d1_dummy = -f[i] * beta_inverse;
        j = i - 1;
        for (k = 1; k <= j; k++) {
            previous_udl = rpemp->UDL[k][i];
            rpemp->UDL[k][i] += d1_dummy * g[k];
            g[k] += previous_udl * previous_g;
        }
        beta_inverse = 1.0 / previous_beta;
        rpemp->UDL[i][i] *= beta * beta_inverse / rpemp->lambdla;
        rpemp->UDL[i][i] = (double)min(rpemp->UDL[i][i], rpemp->c);
    }
    for (i = 1; i <= nnn; i++)
        rpemp->L[i] = g[i] / previous_beta;
}

```

```

return SUCCESS;
}

/* ----- */
int P_Matrix_Calc(RPEM_PARAMETER *rpemp)
{
    int i, j, nnn;
    double p_psi[25], psi_p[25], p_psi_psi_p[25][25], bunbo;
    nnn = rpemp->n * 3;
    for (i = 1; i <= nnn; i++) {
        rpemp->L[i] = 0.0;
        p_psi[i] = 0.0;
        psi_p[i] = 0.0;
    }

    for (i = 1; i <= nnn; i++)
        for (j = 1; j <= nnn; j++)
            p_psi[j] += rpemp->P[i][j] * rpemp->psi[j];
    for (i = 1; i <= nnn; i++)
        for (j = 1; j <= nnn; j++)
            psi_p[j] += rpemp->psi[j] * rpemp->P[i][j];
    for (i = 1; i <= nnn; i++)
        for (j = 1; j <= nnn; j++)
            p_psi_psi_p[i][j] = p_psi[i] * psi_p[j];
    bunbo = rpemp->lambda;
    for (i = 1; i <= nnn; i++)
        bunbo += rpemp->psi[i] * p_psi[i];
    for (i = 1; i <= nnn; i++)
        for (j = 1; j <= nnn; j++)
            p_psi_psi_p[i][j] /= bunbo;
    for (i = 1; i <= nnn; i++)
        for (j = 1; j <= nnn; j++)
            rpemp->P[i][j] = p_psi_psi_p[i][j];
    for (i = 1; i <= nnn; i++)
        for (j = 1; j <= nnn; j++)
            rpemp->P[i][j] /= rpemp->lambda;
    for (i = 1; i <= nnn; i++)
        for (j = 1; j <= nnn; j++)
            rpemp->L[i] += rpemp->P[i][j] * rpemp->psi[j];
    return SUCCESS;
}

```

AMX1OUT.C

```

#include <stdio.h>
#include <stdlib.h>
#include <conio.h>
#include "armax1.h"

/* ----- */
void Output_Result(long loop)
{
    extern RPEM_PARAMETER rpemp;
    extern BINARY_FILE u_file;
    extern FILE *fout_result;
    COMPLEX pole[10];
    int i, start_point, converge_check;
    char *string1[] = {"FATALERROR", "CONVERGE",
                      "NOCONVERGE"};
    converge_check = Pole_Calculation(rpemp.n, rpemp.theta, pole);
    printf("%-7d POLE:%s\n", loop, string1[converge_check]);
    printf(fout_result, "%-7d POLE:%s\n", loop, string1[converge_check]);
}

```

```

/* Writing of AR Parameters */
Parameter_Writing(rpemp.n, 1, rpemp.theta);
/* Writing of Exogenous Parameters */
if ("u_file.name" != NULL) {
    start_point = rpemp.n + 1;
    Parameter_Writing(rpemp.n, start_point, rpemp.theta);
}
/* Writing of MA Parameters */
start_point = rpemp.n * 2 + 1;
Parameter_Writing(rpemp.n, start_point, rpemp.theta);

/* Writing of Pole */
for (i = 0; i < rpemp.n; i++) {
    cprintf(" % 15.6e% 15.6e\n",
           pole[i].real, pole[i].image);
    fprintf(fout_result, " % 15.6e% 15.6e\n",
           pole[i].real, pole[i].image);
}
cprintf("\n");
fprintf(fout_result, "\n");

/* ----- */
void Parameter_Writing(int number, int start_point, double theta[])
{
    extern FILE *fout_result;
    int i, j;
    if (number > 4) {
        for (i = 0; i < 3; i++) {
            j = i + start_point;
            cprintf("% 19.6e", theta[j]);
            fprintf(fout_result, "% 19.6e", theta[j]);
        }
        cprintf("\n");
        fprintf(fout_result, "\n");
        for (i = 4; i < number; i++) {
            j = i + start_point;
            cprintf("% 19.6e", theta[j]);
            fprintf(fout_result, "% 19.6e", theta[j]);
        }
    } else {
        for (i = 0; i < number; i++) {
            j = i + start_point;
            cprintf("% 19.6e", theta[j]);
            fprintf(fout_result, "% 19.6e", theta[j]);
        }
        cprintf("\n");
        fprintf(fout_result, "\n");
    }
}

/* ----- */
void Writing_Info(int order, int u_order, char *method1, char *method2,
                  int force_break)
{
    extern FILE *fout_result;
    fprintf(fout_result, "\n\n");
    fprintf(fout_result, "Condition of Identification | \n");
    fprintf(fout_result, "ARMAX(%d,%d, %d) Identification\n",
           order, u_order, order);
    fprintf(fout_result, "Used Algorithm = %s %s\n", method1, method2);
    if (force_break == ON)
        fprintf(fout_result, "This Calculation Was Stopped by Force\n");
}

```

```

        fprintf(fout_result, "\n\n");
        Setupfile_Writing(fout_result);
    }

/* ----- */
void Setupfile_Writing(FILE *fil)
{
    extern char      *read_param[];
    extern RPEM_PARAMETER rpemp;
    extern RPEM_SUB    subp;
    extern BINARY_FILE u_file, y_file;
    extern INIT_FILE   init_file;
    extern char      out_filename[], pole_filename[], pl_filename[];
    extern long       identification_number, skip_number,
                      interval_number;
    char      *string1[] = {"OFF", "ON"};
    *string2[] = {"OFF", "PMA", "PMDA"};
    fprintf(fil, "%s %d\n", read_param[0], rpemp.n);
    fprintf(fil, "%s %d\n", read_param[1], y_file.byte);
    if (*u_file.name != NULL)
        fprintf(fil, "%s %s\n", read_param[2], u_file.name);
    else
        fprintf(fil, "%s NULL\n", read_param[2]);
    fprintf(fil, "%s %s\n", read_param[3], y_file.name);
    if (*init_file.name != NULL)
        fprintf(fil, "%s %s\n", read_param[4], init_file.name);
    else
        fprintf(fil, "%s NULL\n", read_param[4]);
    fprintf(fil, "%s %d\n", read_param[5], skip_number);
    fprintf(fil, "%s %d\n", read_param[6], identification_number);
    fprintf(fil, "%s %f\n", read_param[7], subp.lambda_mu);
    fprintf(fil, "%s %f\n", read_param[8], subp.lambda_init);
    fprintf(fil, "%s %f\n", read_param[9], subp.contraction_mu);
    fprintf(fil, "%s %f\n", read_param[10], rpemp.c);
    fprintf(fil, "%s %s\n", read_param[11], string1[rpemp.stable]);
    fprintf(fil, "%s %f\n", read_param[12], rpemp.pmatrix0);
    fprintf(fil, "%s %s\n", read_param[13], string2[subp.activation]);
    fprintf(fil, "%s %d\n", read_param[14], subp.activation_interval);
    fprintf(fil, "%s %f\n", read_param[15], subp.activation_power);
    fprintf(fil, "%s %s\n", read_param[16], out_filename);
    fprintf(fil, "%s %d\n", read_param[17], interval_number);
    if (*pole_filename != NULL)
        fprintf(fil, "%s %s\n", read_param[18], pole_filename);
    else
        fprintf(fil, "%s NULL\n", read_param[18]);
    if (*pl_filename != NULL)
        fprintf(fil, "%s %s\n", read_param[19], pl_filename);
    else
        fprintf(fil, "%s NULL\n", read_param[19]);
}

/* ----- */
void Output_Pole(void)
{
    extern FILE      *fout_pole;
    extern RPEM_PARAMETER rpemp;
    COMPLEX      pole[10];
    int         i, j;
    Pole_Calculation(rpemp.n, rpemp.theta, pole);
    for (i = 0; i < rpemp.n; i++) {
        j = i + 1;
        fwrite(&pole[i].real, 8, 1, fout_pole);
    }
}

/* ----- */
void Output_PL(long loop, int activation_method)
{
    extern RPEM_PARAMETER rpemp;
    extern FILE      *fout_pl;
    int         i, j, nnn;
    nnn = rpemp.n * 3;
    fprintf(fout_pl,
            "Value of Y_Data at %ld Data      = %13.6e\n",
            loop, rpemp.y);
    fprintf(fout_pl,
            "Value of Prediction Error at %ld Data = %13.6e\n",
            loop, rpemp.prediction_error);
    fprintf(fout_pl,
            "Value of The Residual at %ld Data = %13.6e\n",
            loop, rpemp.residual);
    fprintf(fout_pl, "Elements of P Matrix at %ld Data\n", loop);
    switch (activation_method) {
    case OFF:
    case PMA:
        Udl_to_P(nnn, rpemp.UDL, rpemp.P);
        for (i = 1; i <= nnn; i++)
            for (j = 1; j <= nnn; j++)
                fprintf(fout_pl, "P[%d][%d] = % 13.6e  UDL[%d][%d] = % 13.6e\n",
                        i, j, rpemp.P[i][j], i, j, rpemp.UDL[i][j]);
        break;
    case PMDA:
        for (i = 1; i <= nnn; i++)
            for (j = 1; j <= nnn; j++)
                fprintf(fout_pl, "P[%d][%d] = % 13.6e\n",
                        i, j, rpemp.P[i][j]);
        break;
    }
    fprintf(fout_pl, "Elements of L Vector at %ld Data\n", loop);
    for (i = 1; i <= nnn; i++)
        fprintf(fout_pl, "L[%d] = % 13.6e\n", i, rpemp.L[i]);
    fprintf(fout_pl, "\n");
}
}

AMX1POLE.C

#include <stdio.h>
#include <stdlib.h>
#include <math.h>
#include "armax1.h"
#define EPS 1.0e-6
#define MAXLOOP 30000

/* ----- */
int Pole_Calculation(int order, double theta[], COMPLEXpole[])
{
    int i, converge_check;
    double coefficient[10];
    coefficient[0] = 1.0;
    for (i = 1; i <= order; i++)
        coefficient[i] = theta[i];
    for (i = 0; i <= order; i++)
        pole[i].image = 0.0;
    converge_check = Bairstow(coefficient, order, pole);
    if (converge_check == MAXLOOP)
        return NOCONVERGE;
}

```

```

if (converge_check == FAULT)
    return NOTHING;
return SUCCESS;
}

/* ----- */
int Bairstow(double ta[], int n, COMPLEX x[])
{
    double a[10], b[10], c[10];
    double p0, q0, p, q, D, delta_p, delta_q;
    double tmp[3];
    int i, j, k, l, max_loop = 0, count = 0;
    for (i = 1; i <= n; i++)
        a[i] = ta[i] / ta[0];
    a[0] = 1.0;
    tmp[0] = 1.0;
    while (n > 2) {
        p = p0 = 1.0;
        q = q0 = 1.0;
        for (i = 1; i < MAXLOOP; i++) {
            b[0] = 1.0;
            c[0] = 1.0;
            b[1] = a[1] - p;
            c[1] = b[1] - p;
            for (k = 2; k <= n; k++) {
                b[k] = a[k] - p*b[k-1] - q*c[k-2];
                c[k] = b[k] - p*c[k-1] - q*c[k-2];
            }
            D = c[n-2]*c[n-2] - c[n-3]*(c[n-1] - b[n-1]);
            if (D == 0.0)
                return FAULT;
            delta_p = (b[n-1]*c[n-2] - b[n]*c[n-3]) / D;
            delta_q = (b[n]*c[n-2] - b[n-1]*(c[n-1] - b[n-1])) / D;
            p = p0 + delta_p;
            q = q0 + delta_q;
            if( (fabs(delta_p) < EPS) && (fabs(delta_q) < EPS) )
                break;
            p0 = p;
            q0 = q;
        }
        if (i > max_loop)
            max_loop = i;
        tmp[1] = p; tmp[2] = q;
        Equation_2(tmp, &x[count]) ;
        n -= 2;
        count += 2;
        for(i = 0; i <= n; i++)
            a[i] = b[i];
    }
    if (n == 2) {
        tmp[1] = a[1];
        tmp[2] = a[2];
        Equation_2(tmp, &x[count]);
    }
    if (n > 1) {
        x[count].real = -a[1];
        x[count].image = 0.0;
    }
    return max_loop;
}

/* ----- */
void Equation_2(double a[], COMPLEX x[])
{

```

```

    double tmp, D;
    D = a[1]*a[1] - 4*a[0]*a[2] ;
    if(D >= 0.0) {
        tmp = -a[1] + sqrt(D);
        x[0].real = tmp / (2 * a[0]);
        tmp = -a[1] - sqrt(D);
        x[1].real = tmp / (2 * a[0]);
    }
    else {
        x[0].real = -a[1] / (2 * a[0]);
        x[0].image = sqrt(-D) / (2 * a[0]);
        x[1].real = x[0].real ;
        x[1].image = -x[0].image ;
    }
}

```

AMX1OPTI.C

```

#include <stdio.h>
#include <conio.h>
#include <stdlib.h>
#include "amax1.h"

/* ----- */
int Remake_File(void)
{
    FILE *fremake;
    char *ptr1, buff[128], message_buff[256];
    FunctionKey(EMPTY);
    gotoxy(1, 4);
    printf("%c[33mNew Set Up File Name : %c[37m", 0x1B, 0x1B);
    if (Manual_Set_F(buff, WITH_EXTENTION, 102, 7) == FAULT)
        return FAULT;
    if ((fremake = fopen(buff, "wt")) == NULL) {
        ptr1 = String_Adjust_1(buff, 18);
        sprintf(message_buff, "New Set Up File [%s] Cannot Open", ptr1);
        Message(message_buff, CONTINUE, LIGHTRED, 5);
        return FAULT;
    }
    Setupfile_Writing(fremake);
    fclose(fremake);
    return SUCCESS;
}

/* ----- */
void Help(void)
{
    extern char tmp_buff1[];
    static char *help_message[] = {
        "現在のバージョンは1.0です。",
        "",
        "使用方法における疑問点、またはバグリポートについては、下記に連絡して下さい。",
        "",
        ".   〒572 審屋川市池田中町17-8  

        .   損南大学 工学部 電気工学科 山田 澄  

        .   電話番号 (0720)-26-5101 ext. 307",
        "",
        "プログラムモードを利用する場合は  

        ARM AX1 [制御ファイル名] [リポートファイル名]",
    };
}

```

```
    *と入力して下さい。");  
int i;  
FunctionKey(EMPTY);  
gotoxy(1, 2);  
printf("      ツ");  
printf("      ツ");  
gotoxy(1, 4);  
for (i = 0; i <= 12; i++)  
    printf("%s\n", help_message[i]);  
sprintf(tmp_buff1, "END OF HELP");  
Message(tmp_buff1, CONTINUE, LIGHTCYAN, MAXBOTTOM);  
}
```

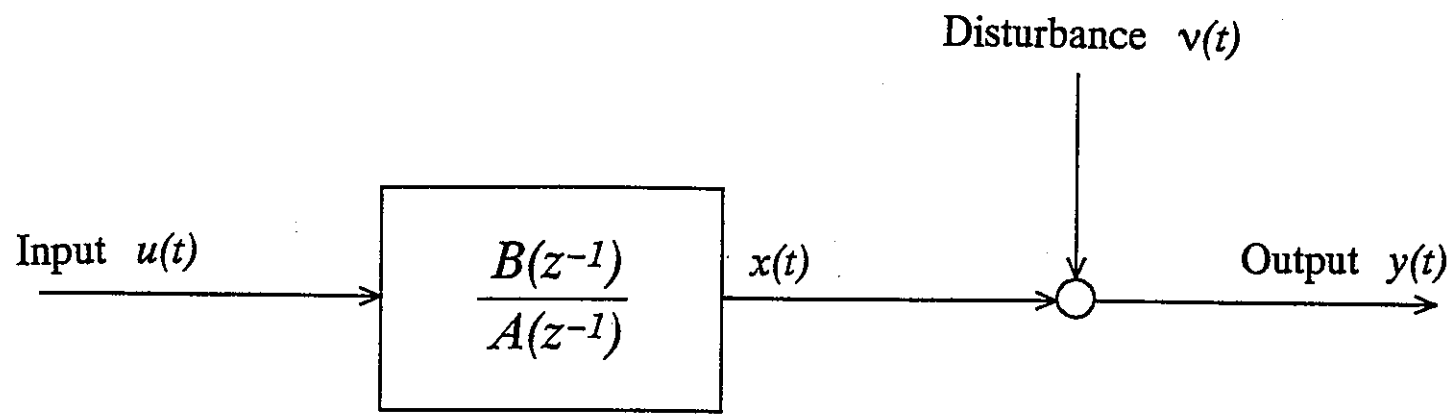


Fig. 2.1 Discrete linear system.

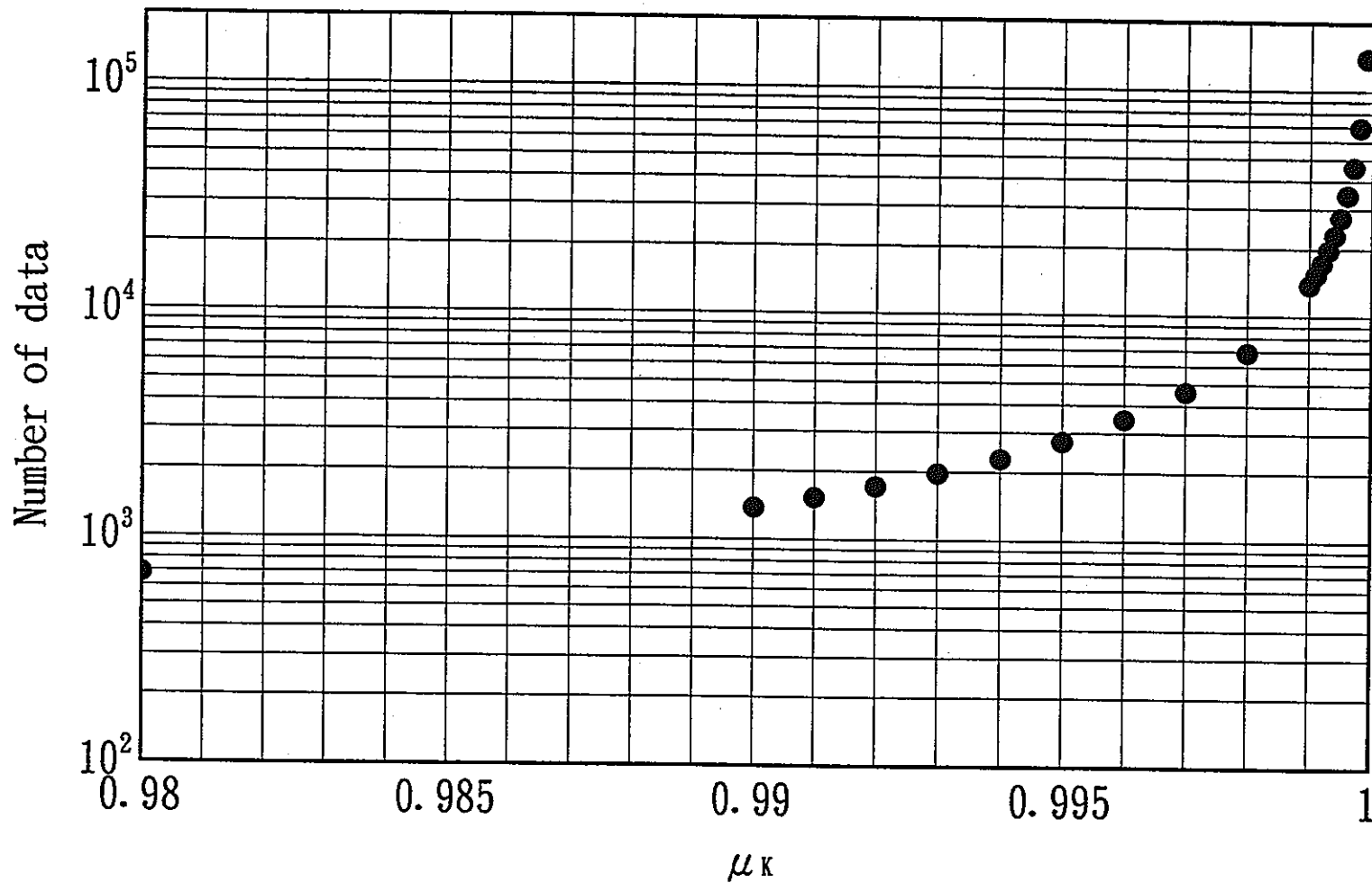


Fig. 2.2 Number of required data for $K_t > 0.999999$. (K_t : contraction factor.)

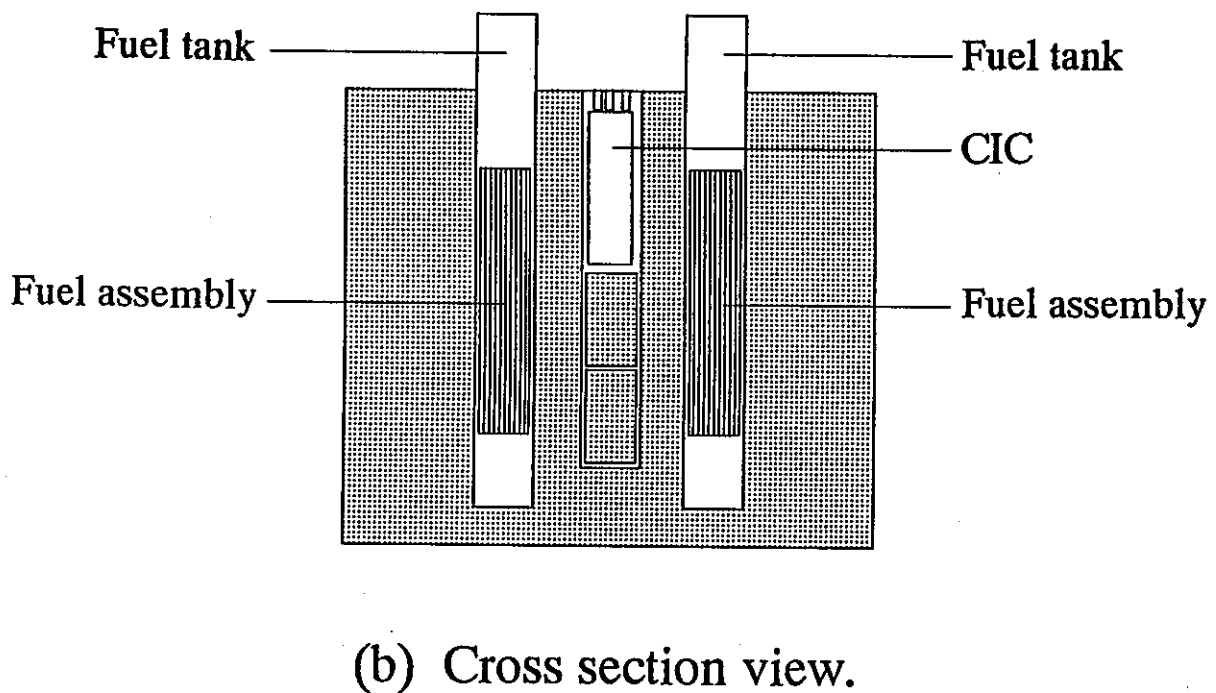
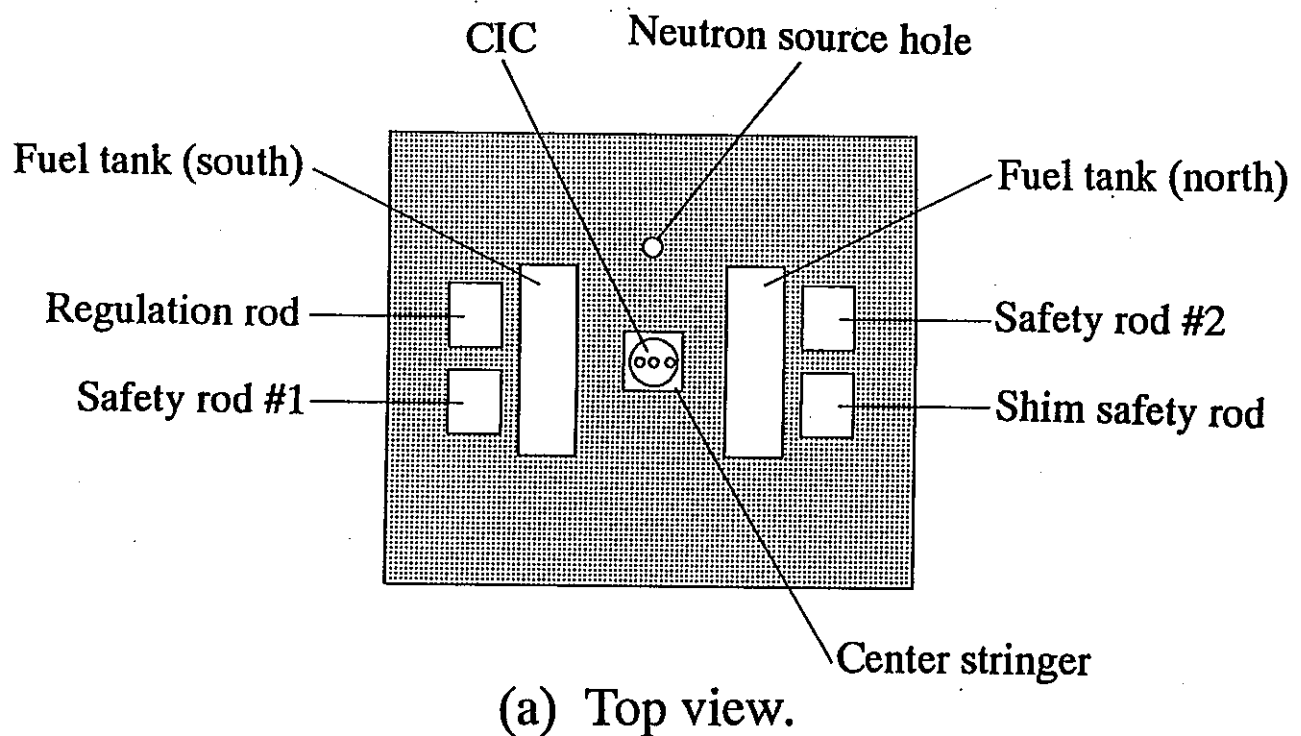
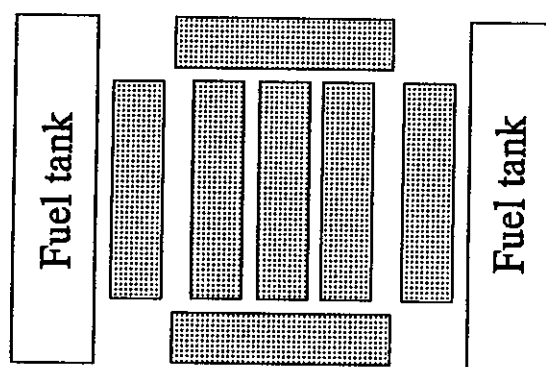
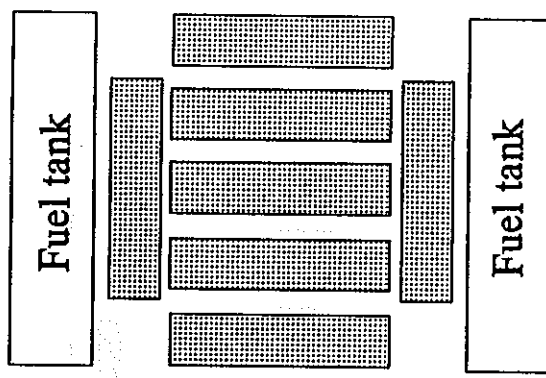


Fig. 3.1 Position of CIC in the reactor.



(a) Lower part.



(b) Upper part.

Fig. 3.2 Arrangement of the carbon block for compensating the reactivity.

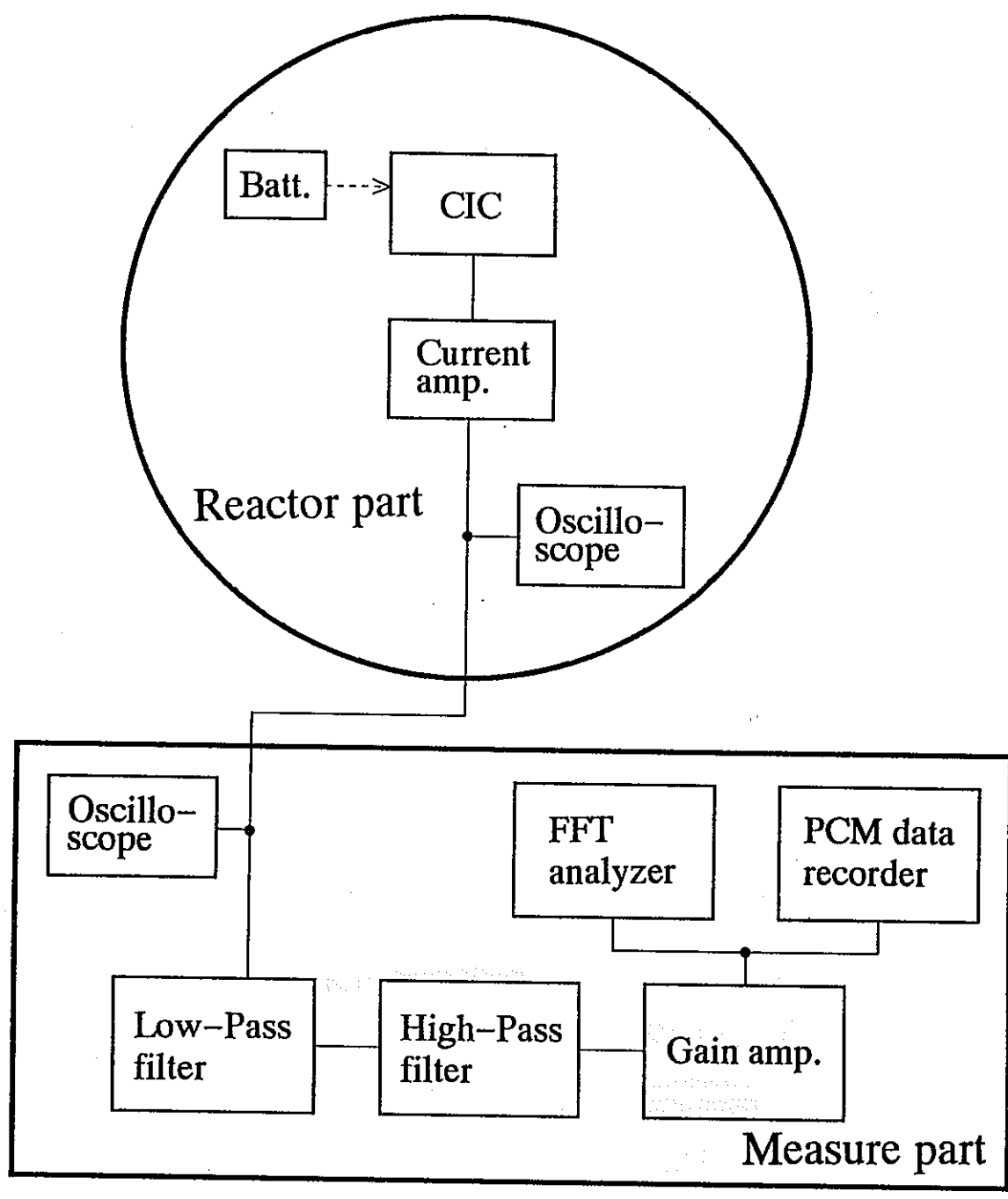
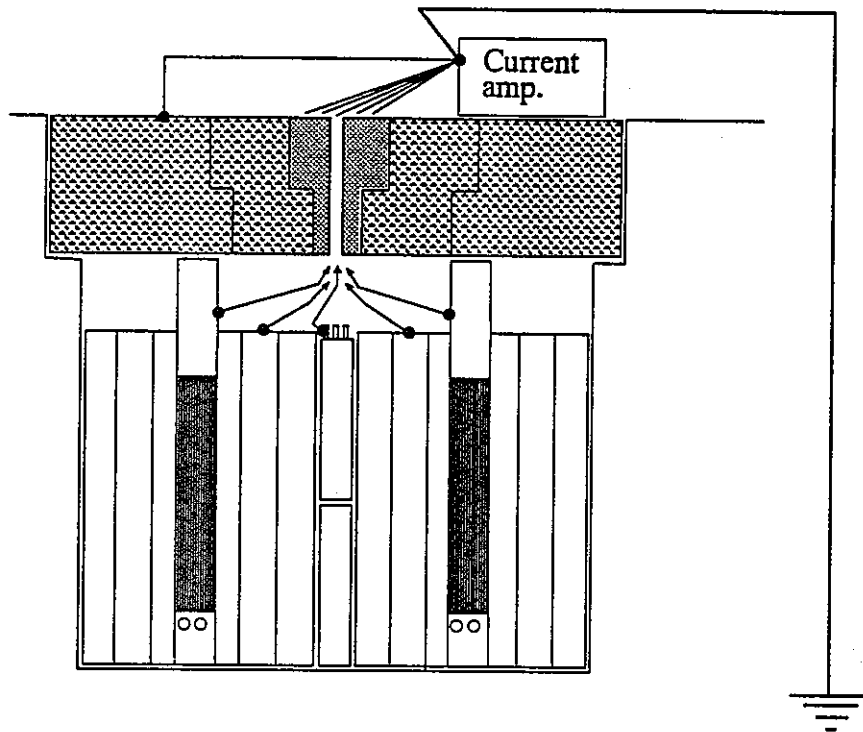


Fig. 3.3 Block diagram of data acquisition system.



Grand points.

Current amplifier.

Concrete cover at top of reactor.

CIC.

Carbon block.

Fuel tank.

Fig. 3.4 Earth points for neutron detecting system.

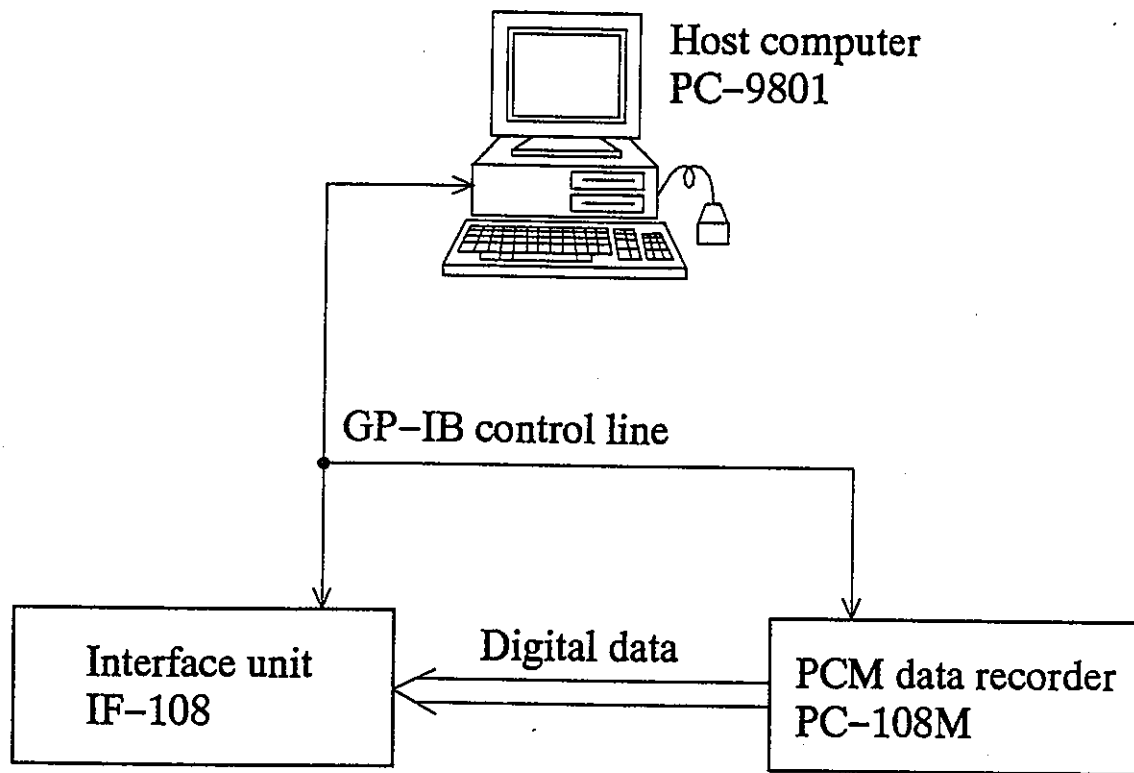


Fig. 3.5 Digital data retreading system from PCM data recorder.

- 92 -

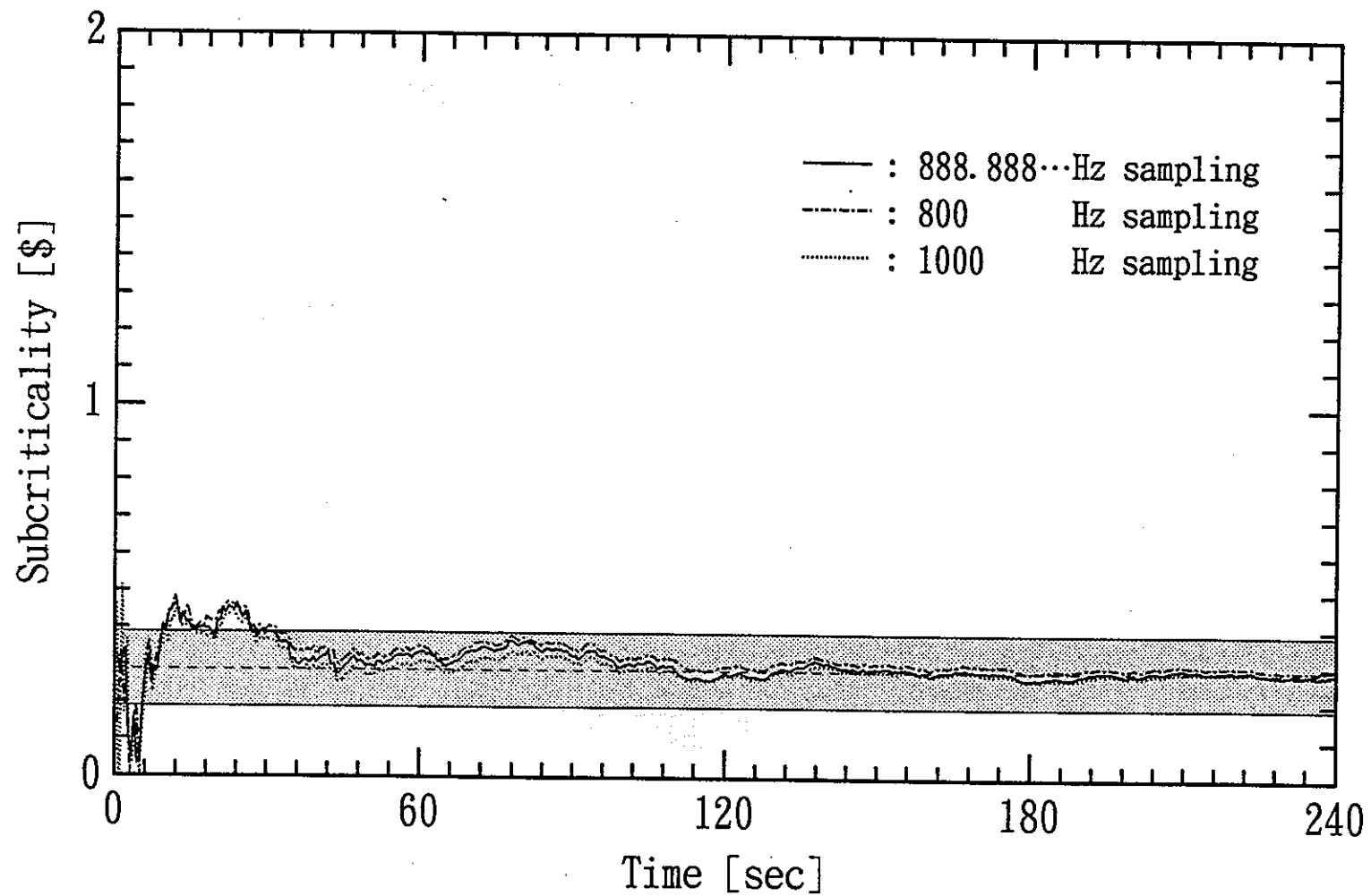
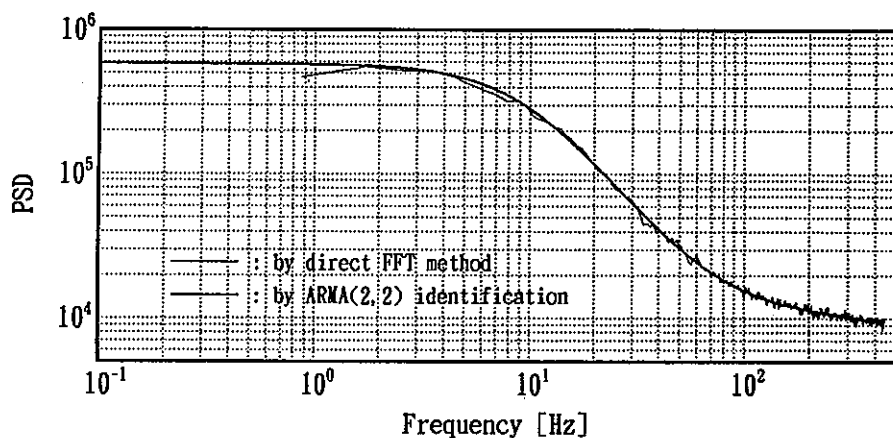
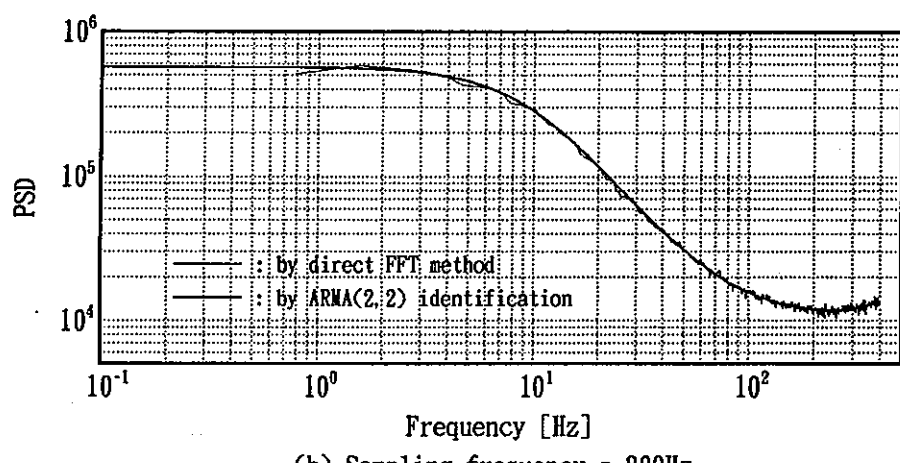


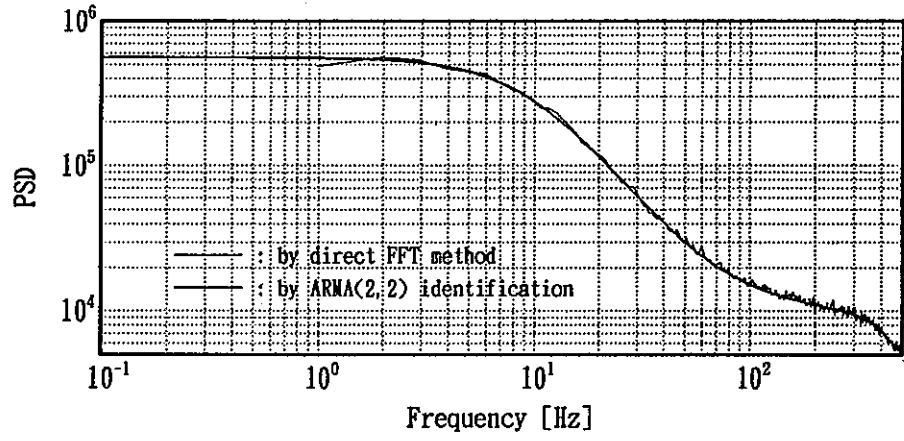
Fig. 3.6 Subcriticality estimations by ARMA(2, 2) model identification
for three time series sampled at 888.888...Hz, 800Hz and 1000Hz
through Low-Pass filter with cutoff frequency 500Hz.
[Reference subcriticality = 0.289 \$.]



(a) Sampling frequency = 888.888...Hz.



(b) Sampling frequency = 800Hz.



(c) Sampling frequency = 1000Hz.

Fig. 3.7 Power spectrum densities estimated by two kinds of method for the time series (reference subcriticality 0.289 \$) sampled at 888.888...Hz, 800Hz and 1000 Hz.

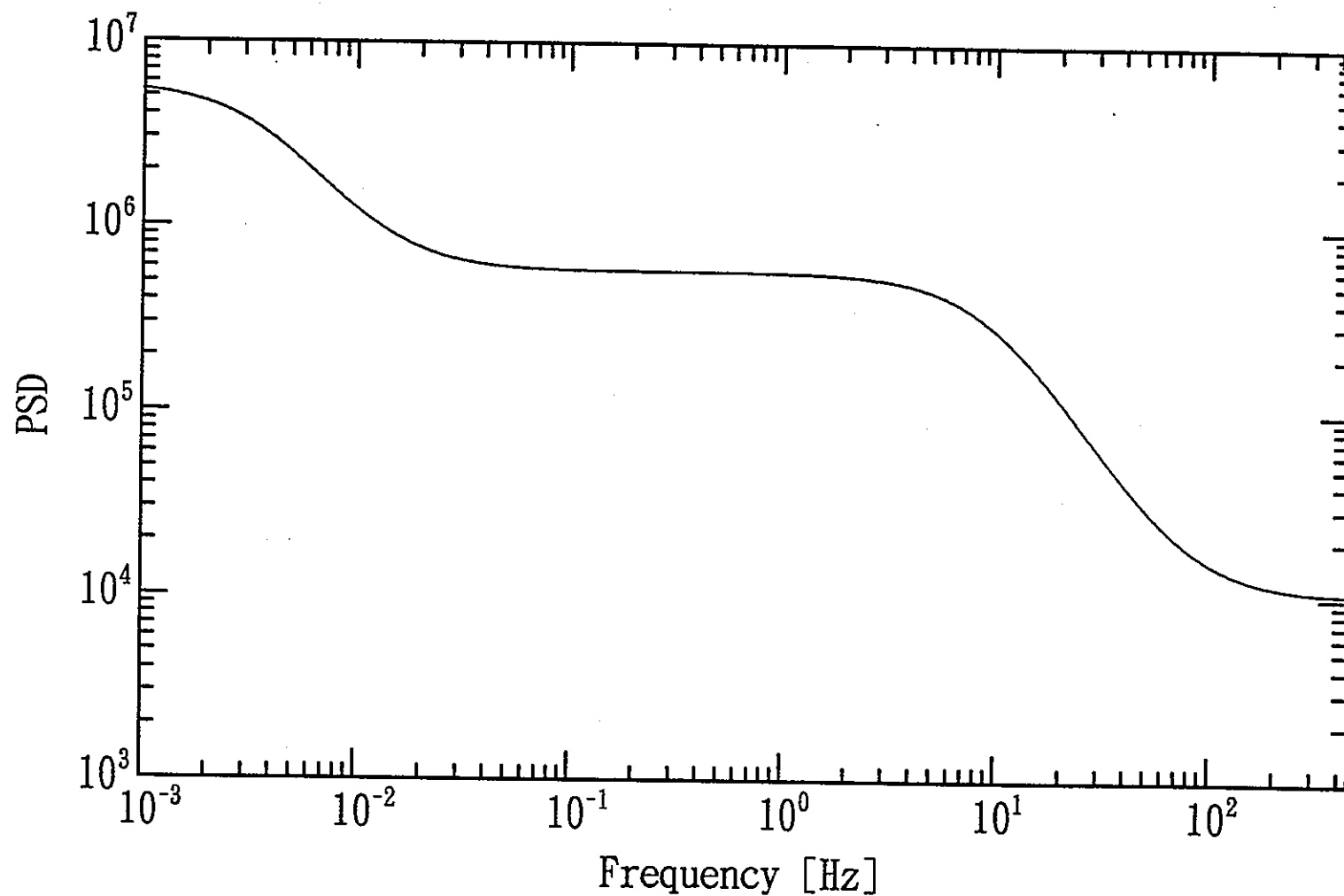


Fig. 3.8 Power spectrum density of theoretical model for the subcriticality 0.289 \$.

- 96 -

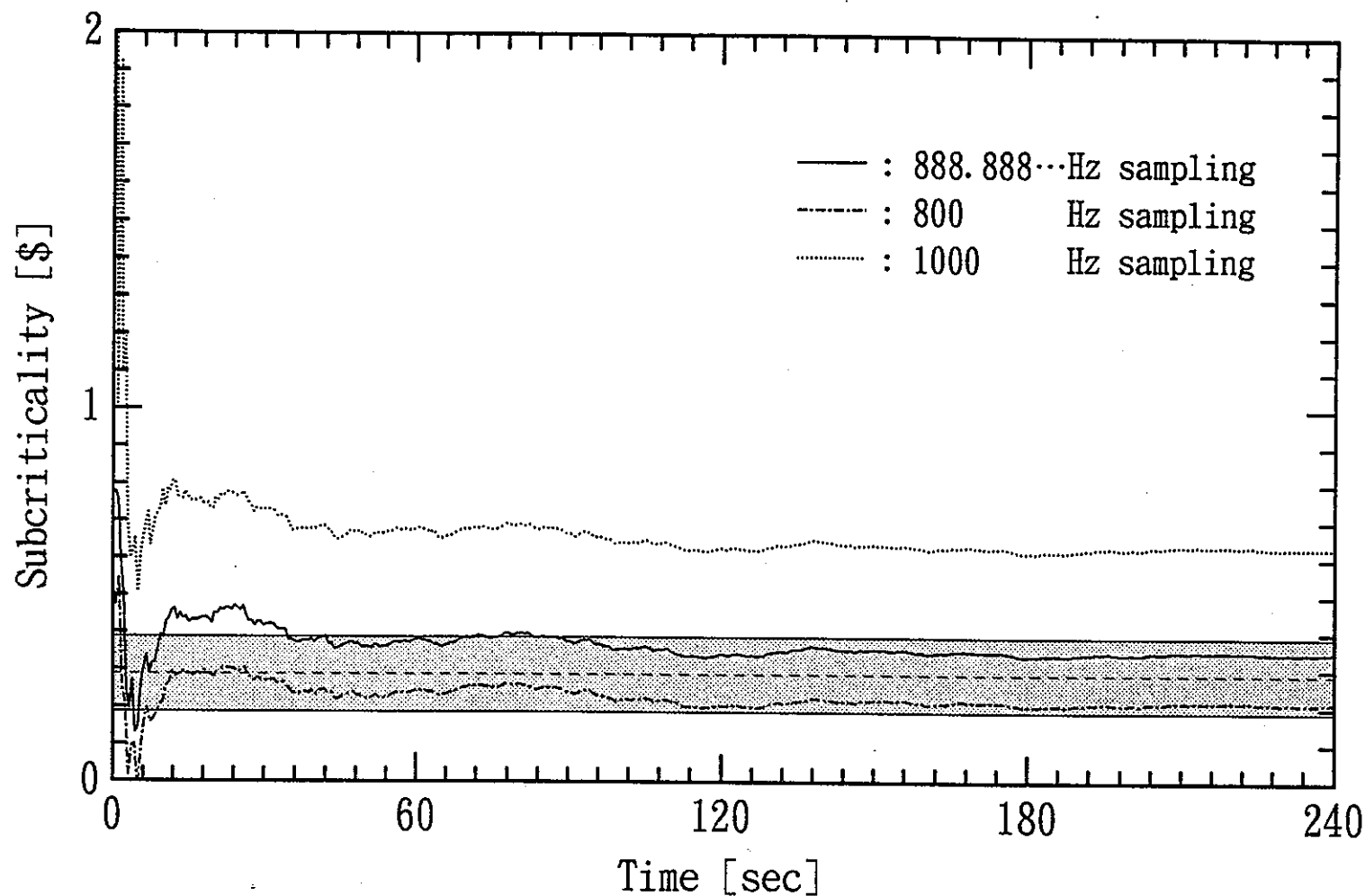
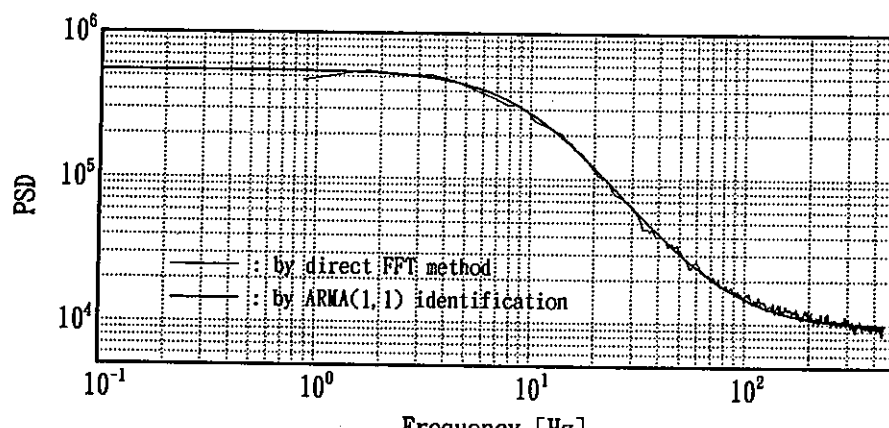
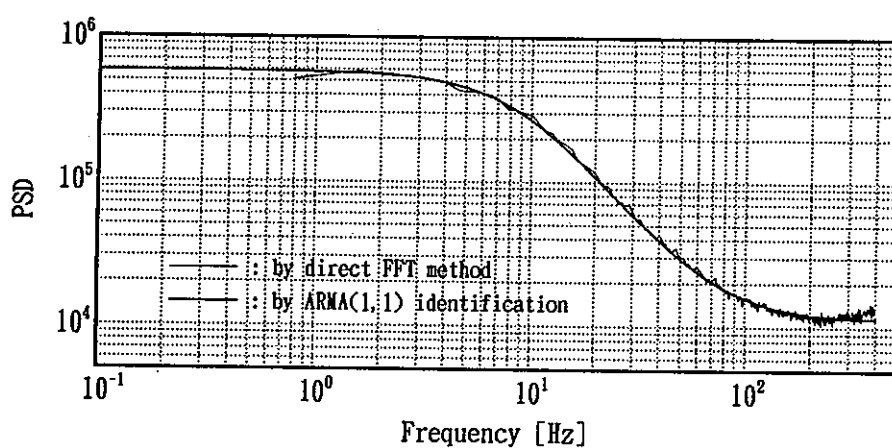


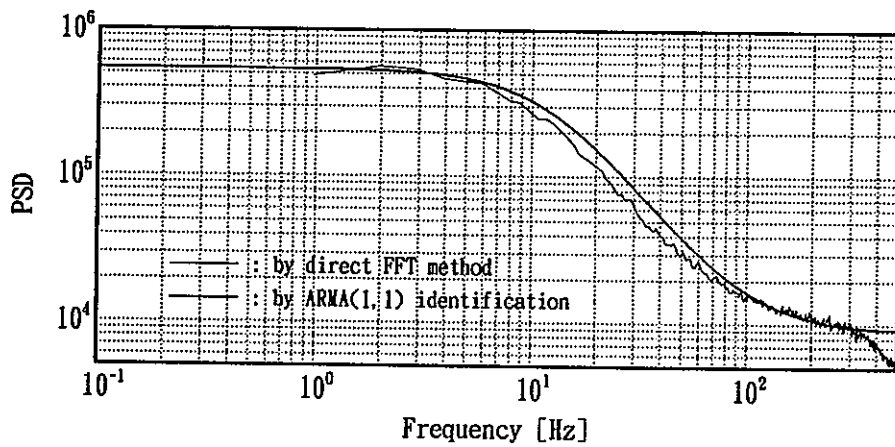
Fig. 3.9 Subcriticality estimations by ARMA(1, 1) model identification for three time series sampled at 888.888...Hz, 800Hz and 1000Hz through Low-Pass filter with cutoff frequency 500Hz.
[Reference subcriticality = 0.289 \$.]



(a) Sampling frequency = 888.888...Hz.



(b) Sampling frequency = 800Hz.



(c) Sampling frequency = 1000Hz.

Fig. 3.10 Power spectrum densities estimated by two kinds of method for the time series (reference subcriticality 0.289 \$) sampled at 888.888...Hz, 800Hz and 1000Hz.

- 97 -

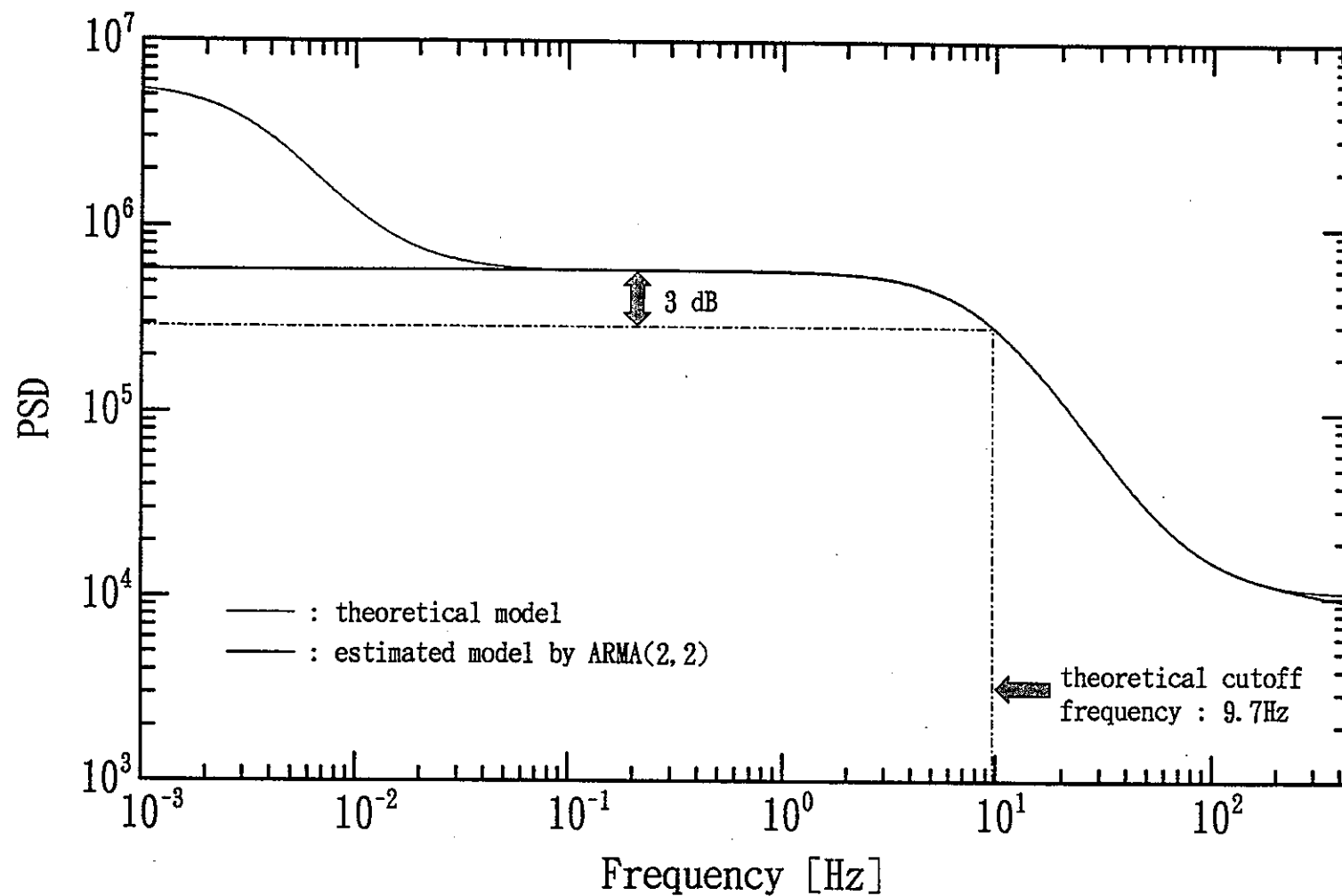


Fig. 3.11 Power spectrum density of the theoretical model for subcriticality 0.289\$ and that of the estimated model by ARMA(2, 2) model identification of UTR-KINKI reference subcriticality 0.289\$.

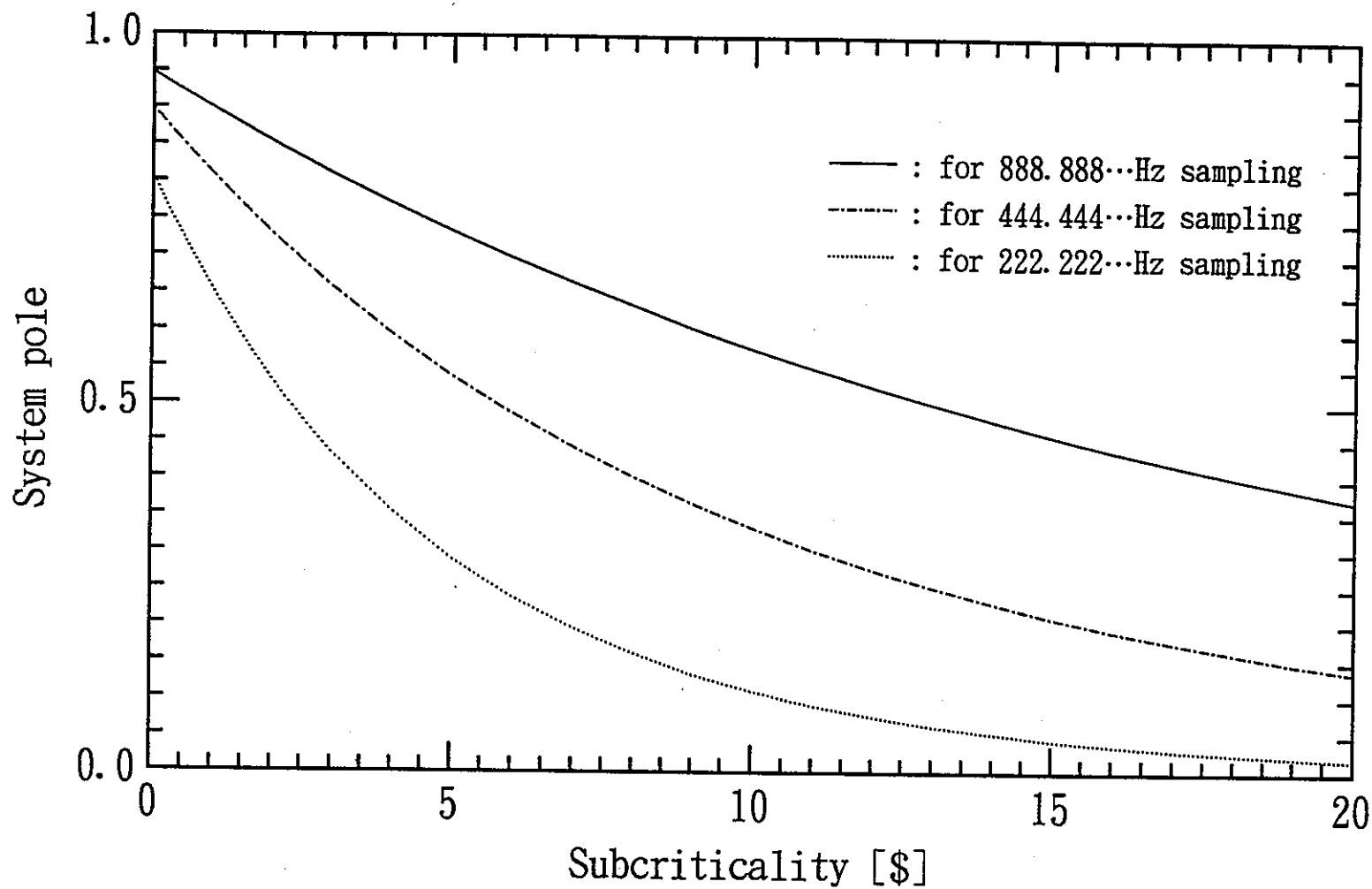
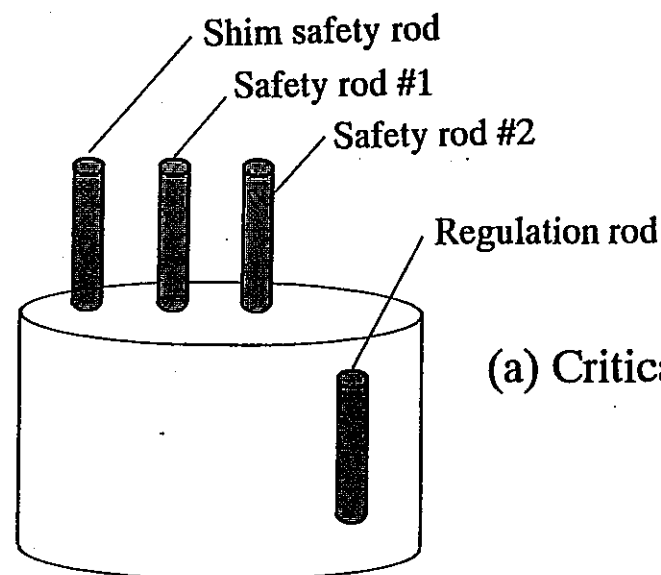
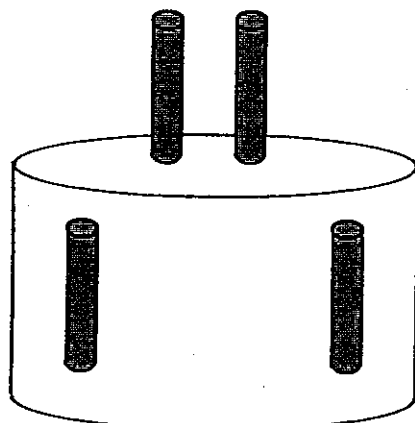


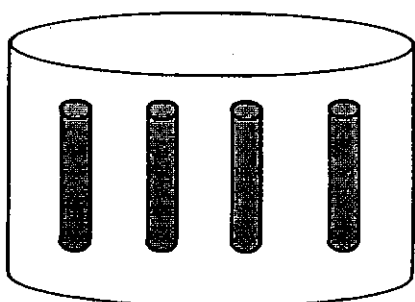
Fig. 3.12 Calibration curves for conversion of the system pole of ARMA model to subcriticality.



(a) Critical system.



(b) Subcritical system 1.
subcriticality 0.7129 \$



(c) Subcritical system 2.
subcriticality 2.259 \$

Fig. 3.13 Position of the control rods at critical and the two types of subcritical system.

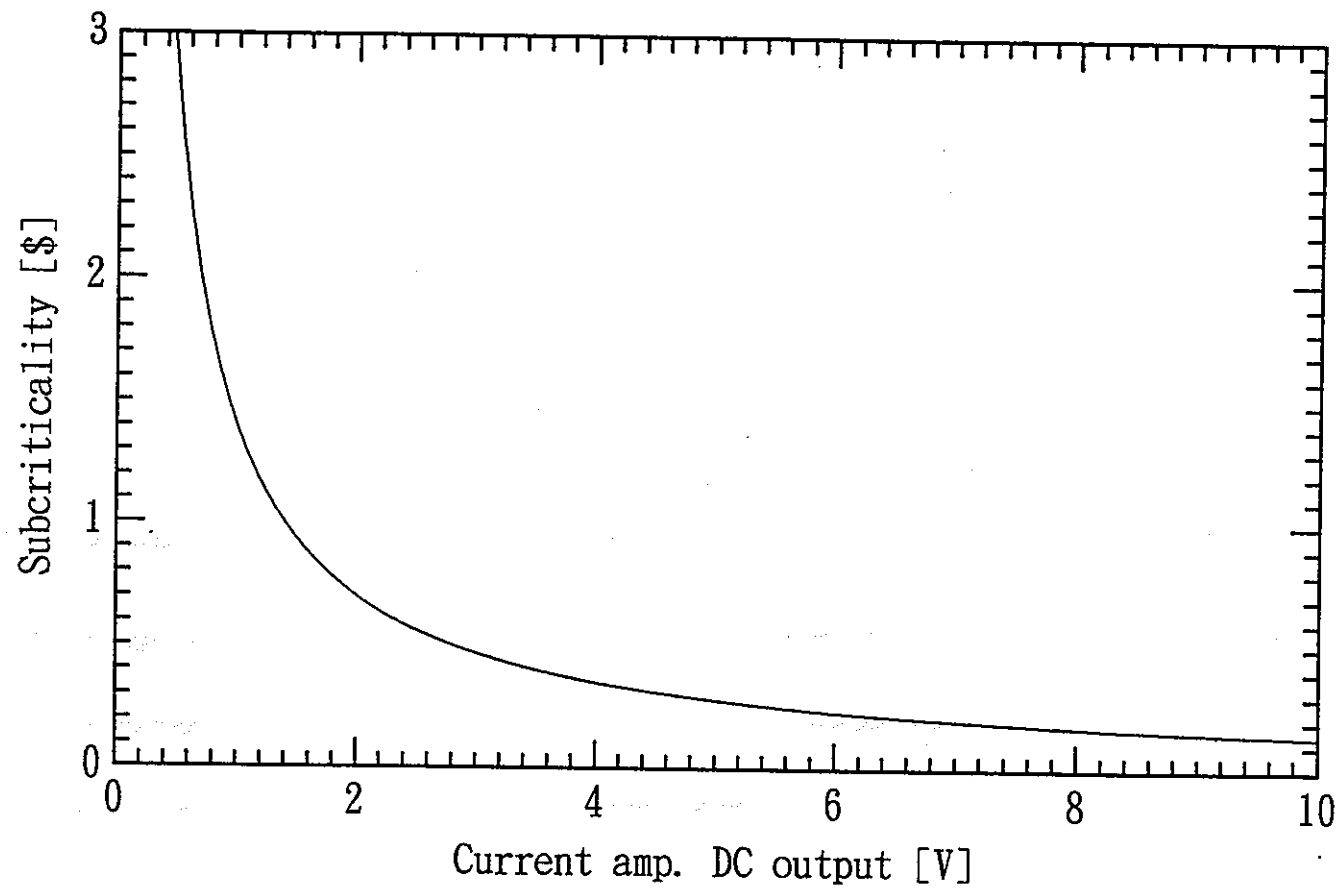
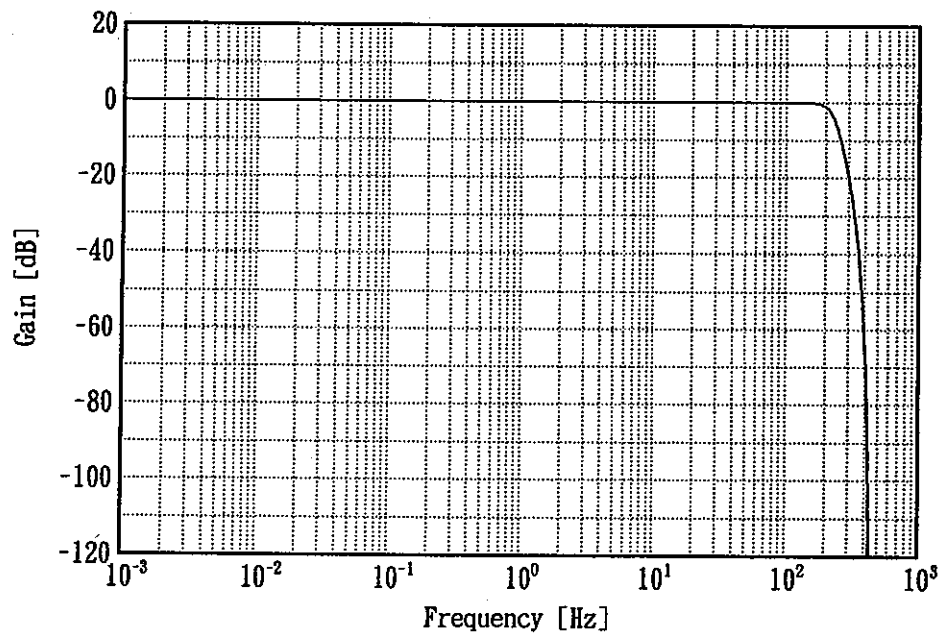
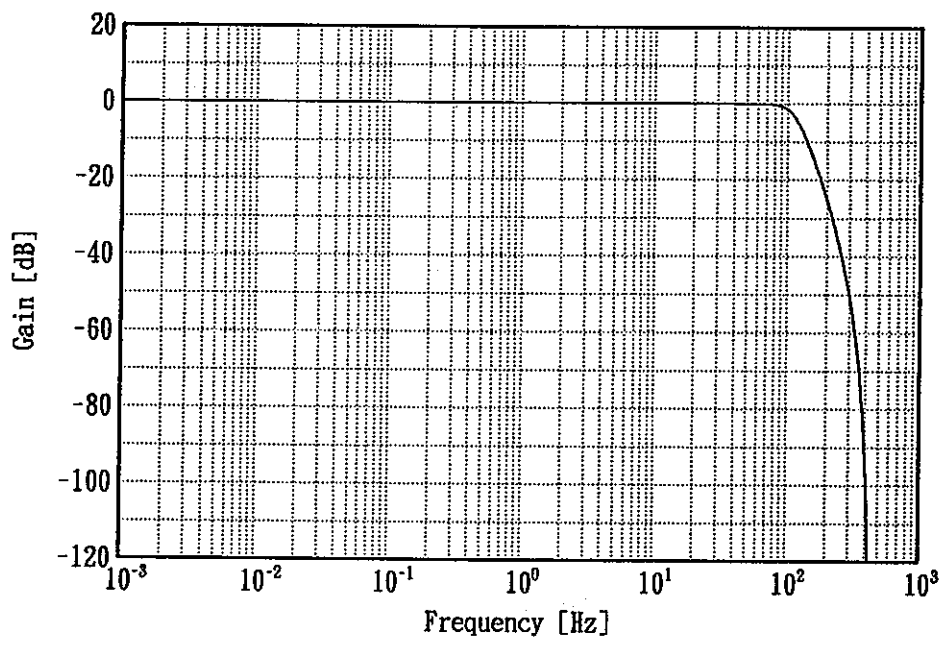


Fig. 3.14 Calibration curves for conversion of the DC output of current amplifire to subcriticality.



(a) Cutoff frequency at 222.222...Hz.



(b) Cutoff frequency at 111.111...Hz.

Fig. 4.1 Frequency characteristics of digital Low-Pass filter for preventing aliasing.

- 102 -

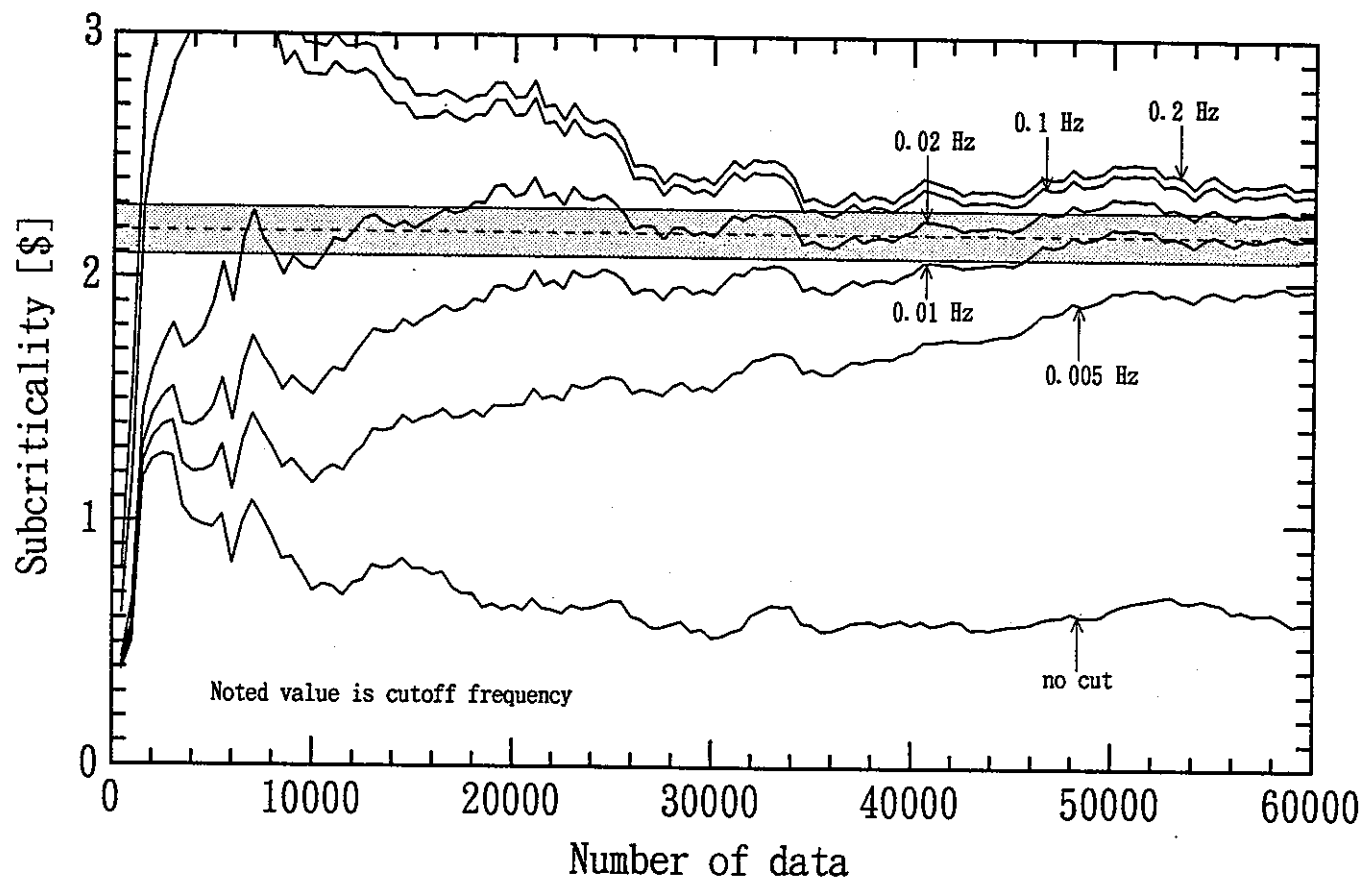


Fig. 4.2.a Subcriticality estimation for "ID003.888 DATA" filtered by the various High-Pass filters.
[Reference subcriticality = 2.19 \\$.]

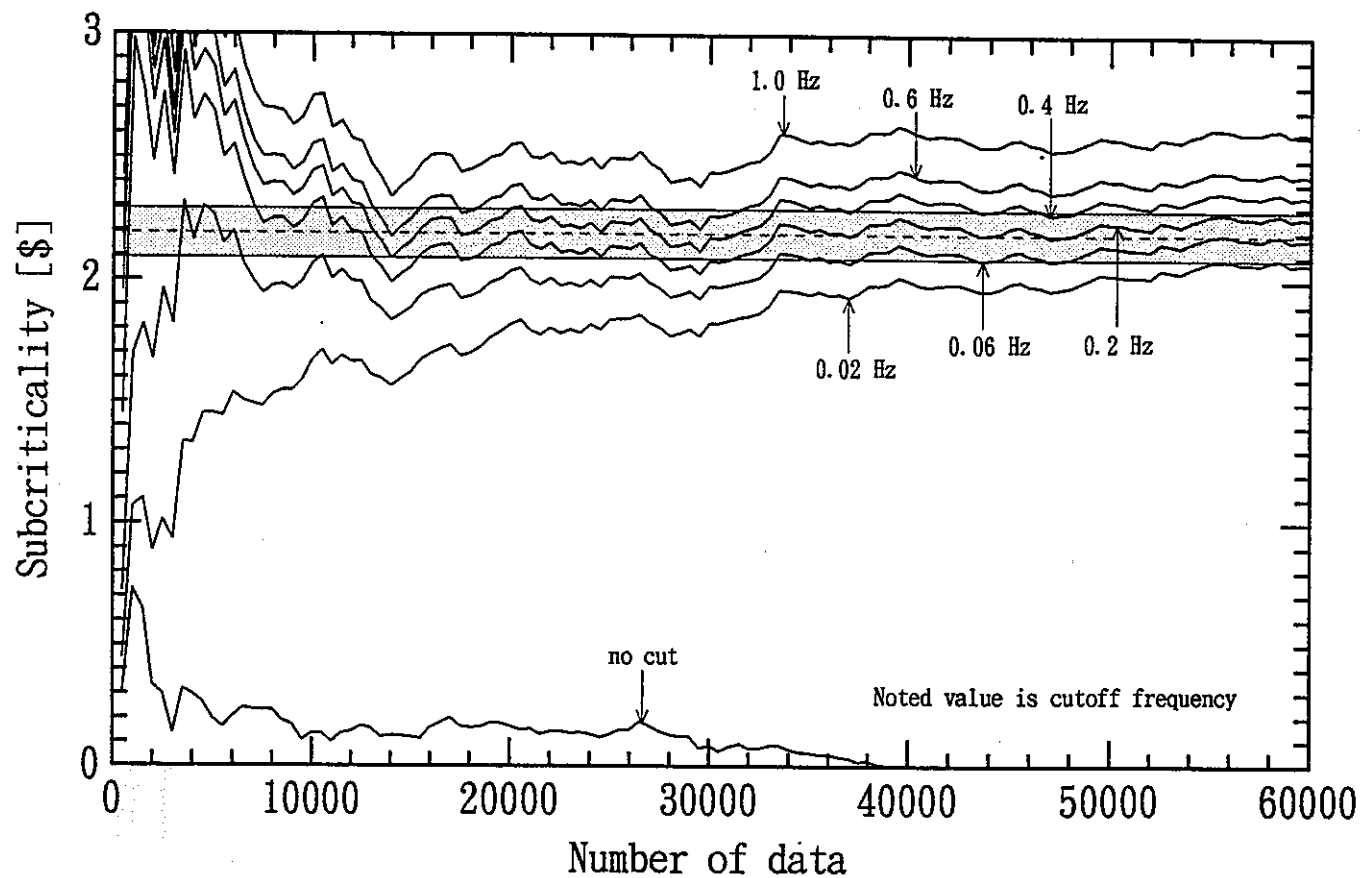


Fig. 4.2.b Subcriticality estimation for "ID003.444 DATA" filtered by the various High-Pass filters.
[Reference subcriticality = 2.19 \\$.]

- 104 -

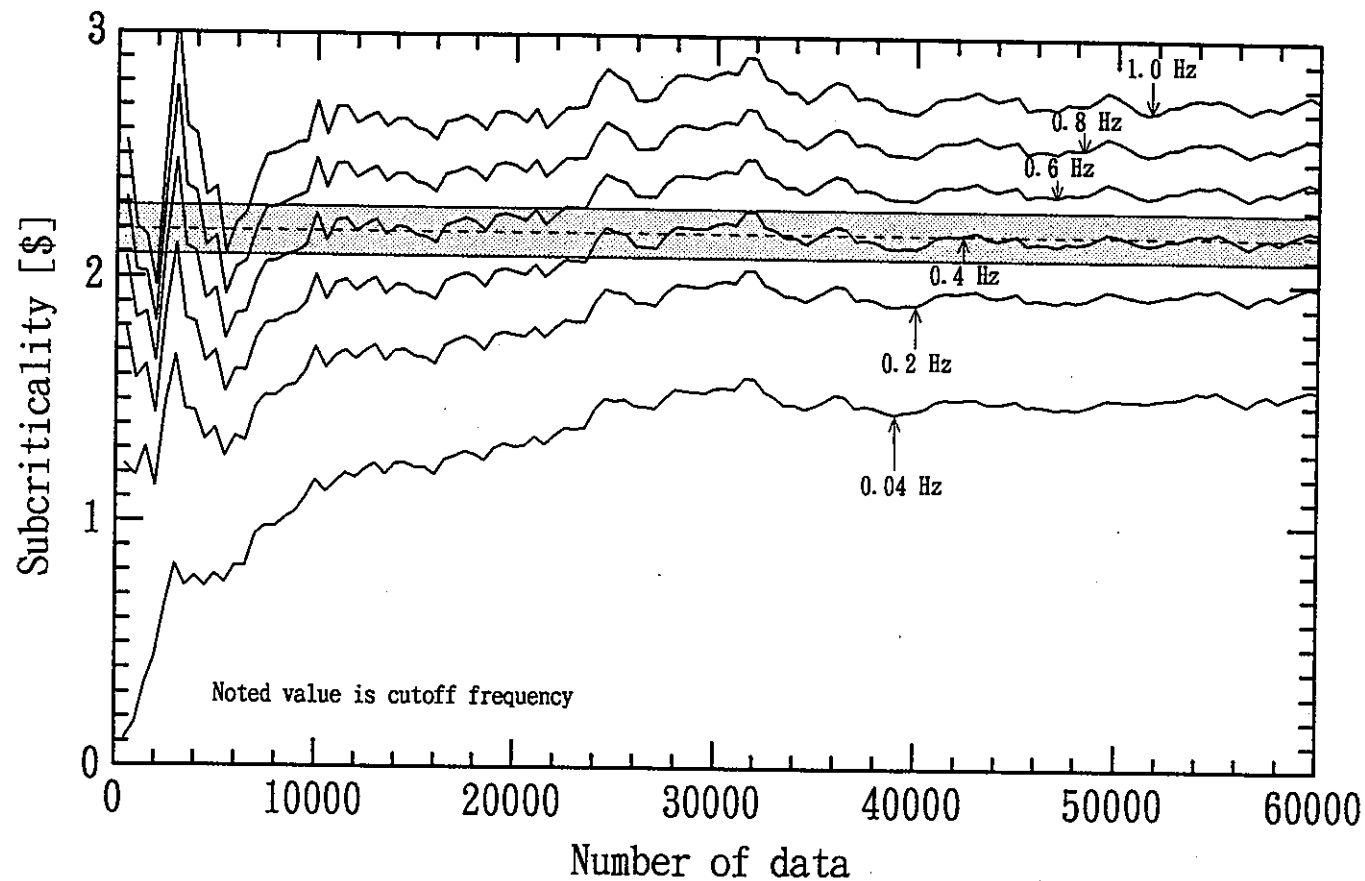


Fig. 4.2.c Subcriticality estimation for "ID003.222 DATA" filtered by the various High-Pass filters.
[Reference scubcriticality = 2.19 \\$.]

- 105 -

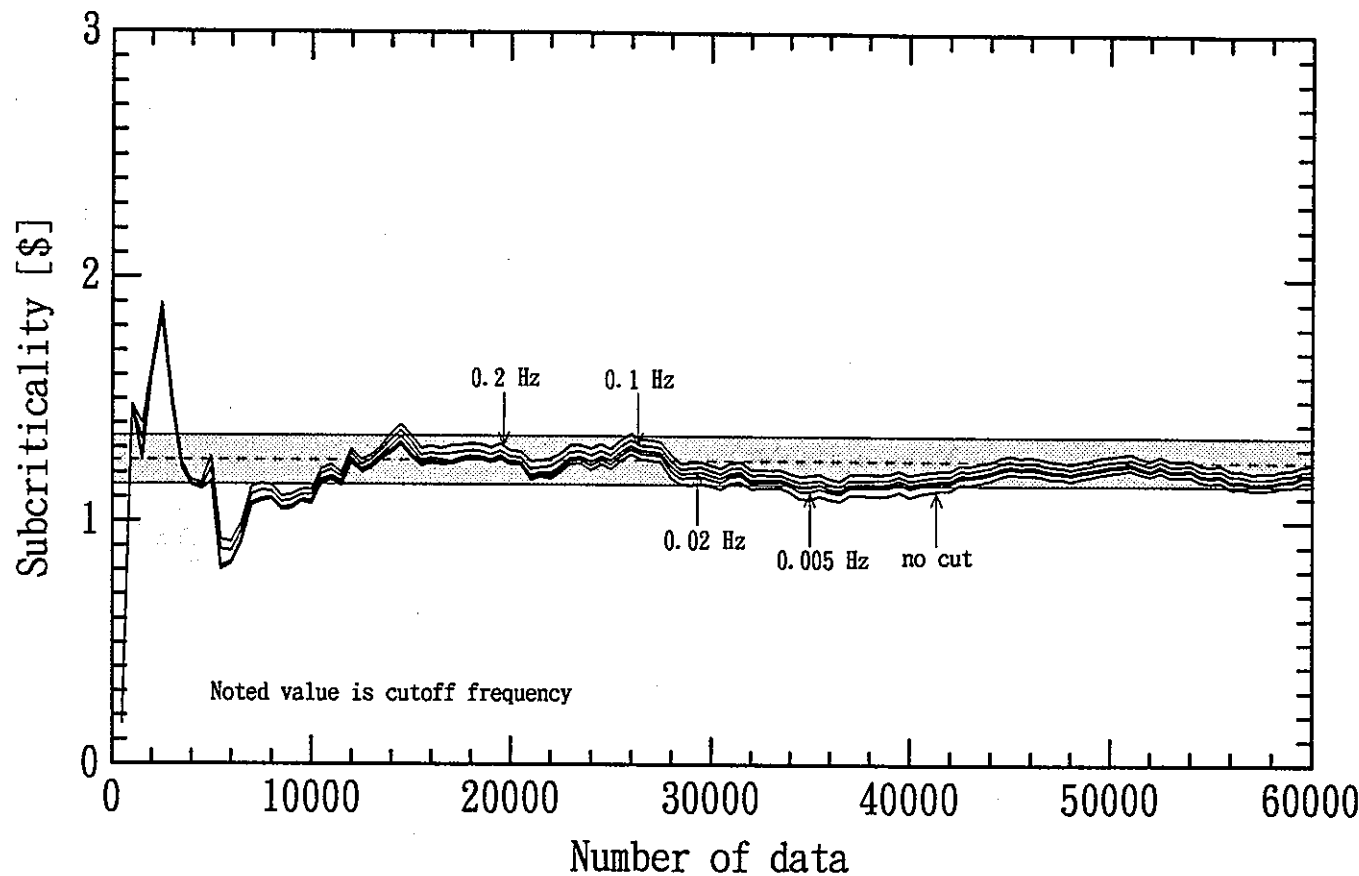


Fig. 4.3.a Subcriticality estimation for "ID005.888 DATA" filtered by the various High-Pass filters.
[Reference subcriticality = 1.25 \$.]

- 106 -

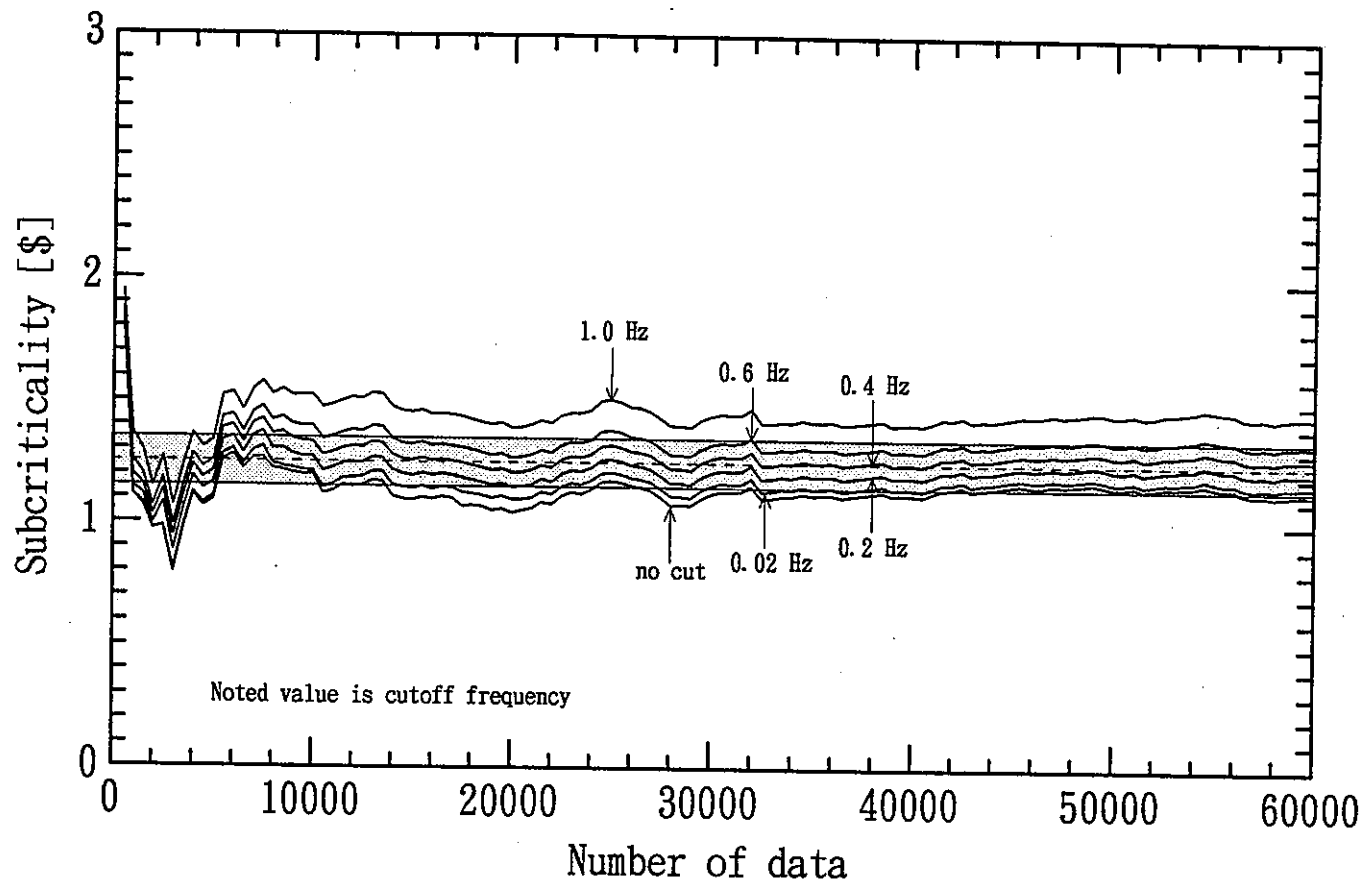


Fig. 4.3.b Subcriticality estimation for "ID005.444 DATA" filtered by the various High-Pass filters.
[Reference subcriticality = 1.25 \\$.]

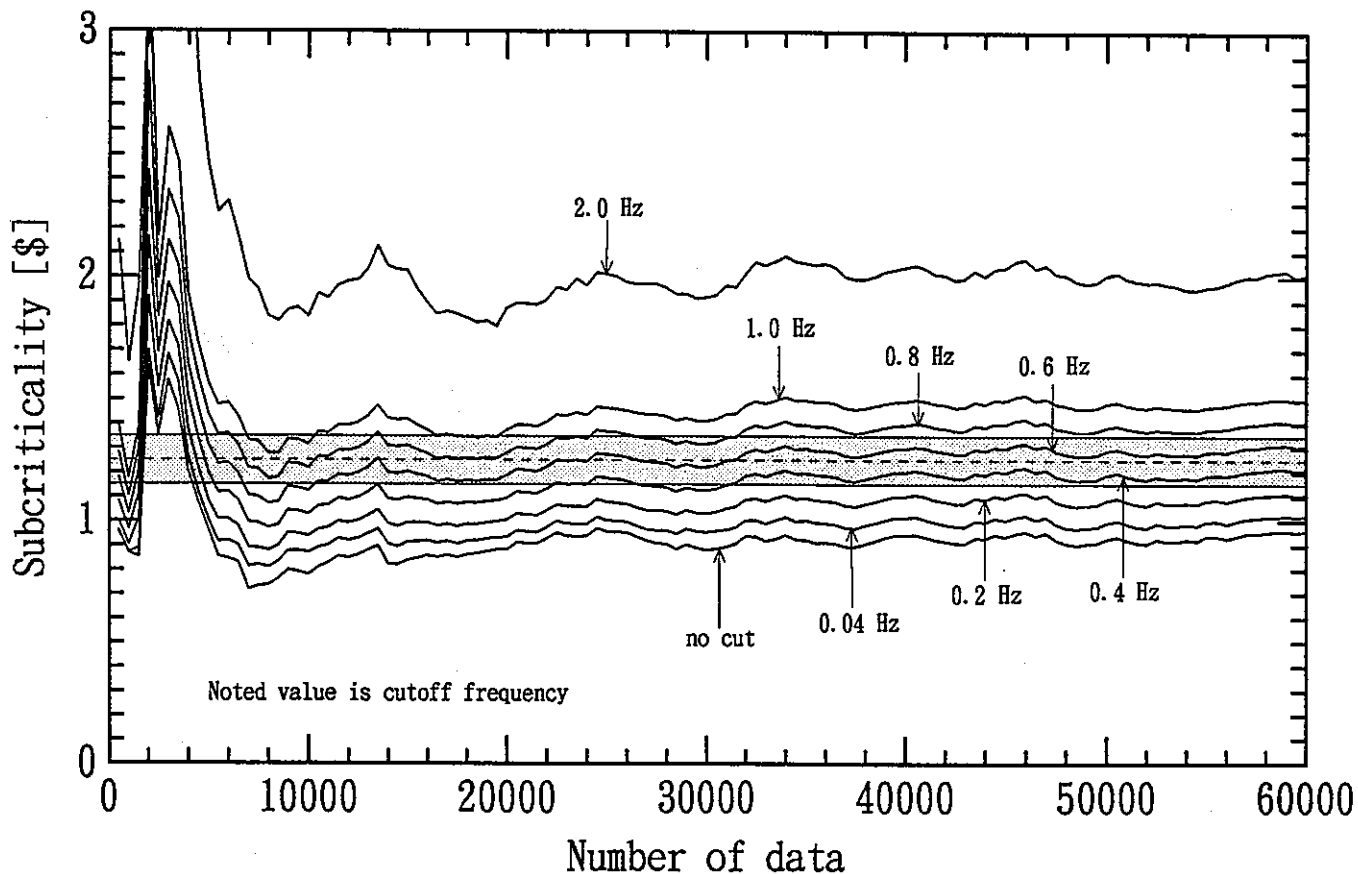


Fig. 4.3.c Subcriticality estimation for "ID005.222 DATA" filtered by the various High-Pass filters.
[Reference subcriticality = 1.25 \\$.]

- 801 -

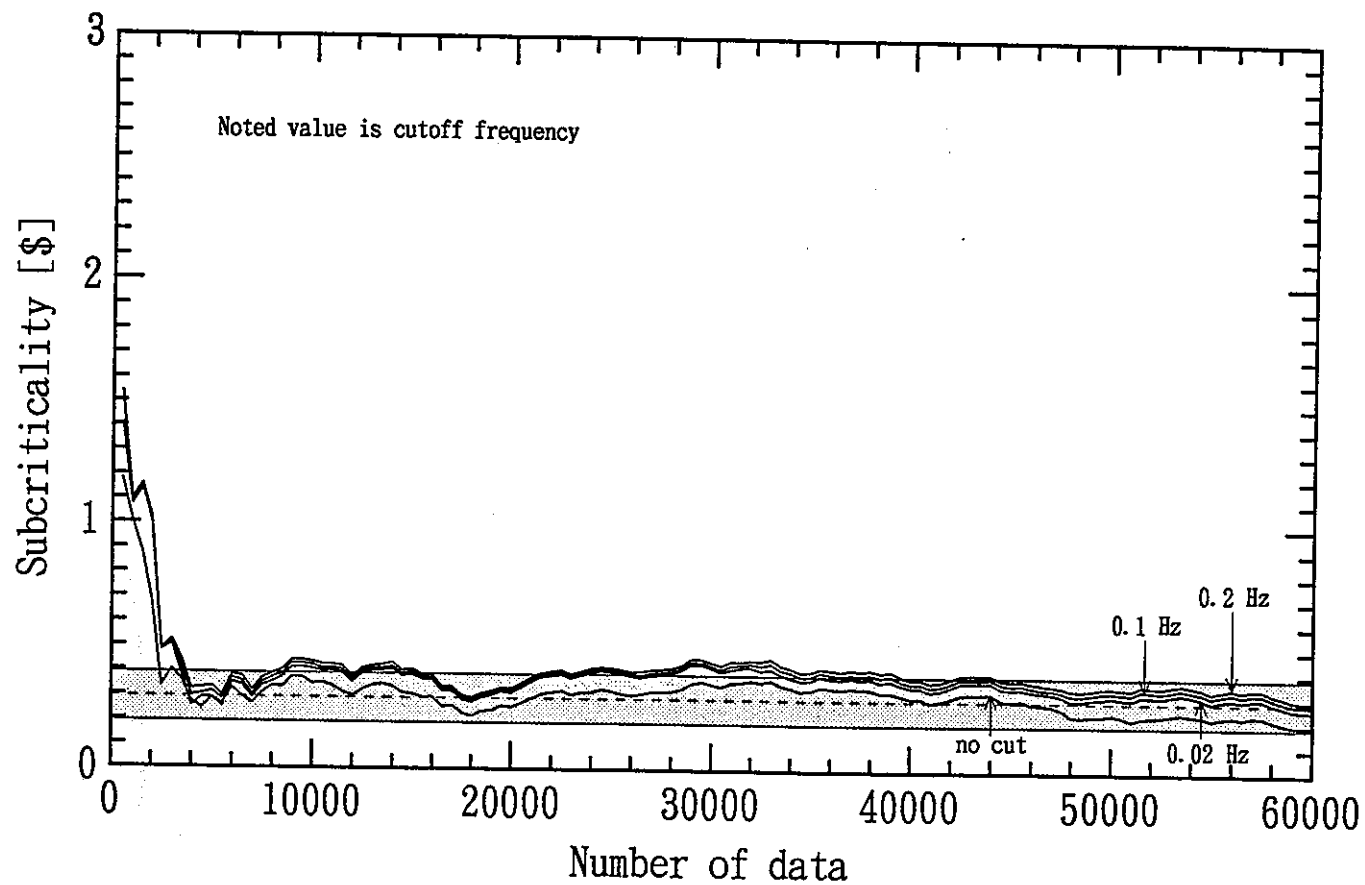


Fig. 4.4.a Subcriticality estimation for "ID010.888 DATA" filtered by the various High-Pass filters.
[Reference subcriticality = 0.289 \\$.]

- 609 -

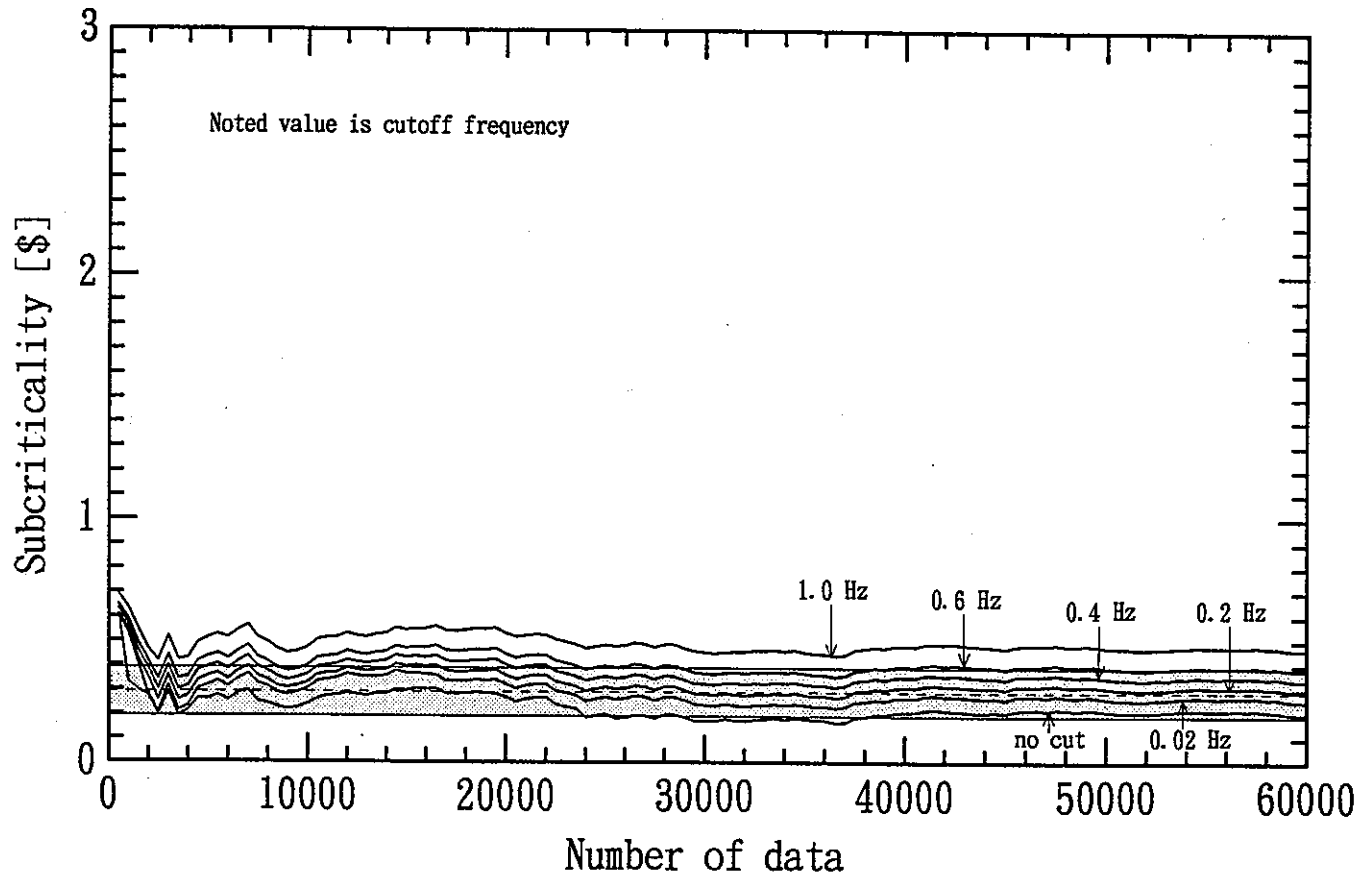


Fig. 4.4.b Subcriticality estimation for "ID010.444 DATA" filtered by the various High-Pass filters.
[Reference subcriticality = 0.289 \\$.]

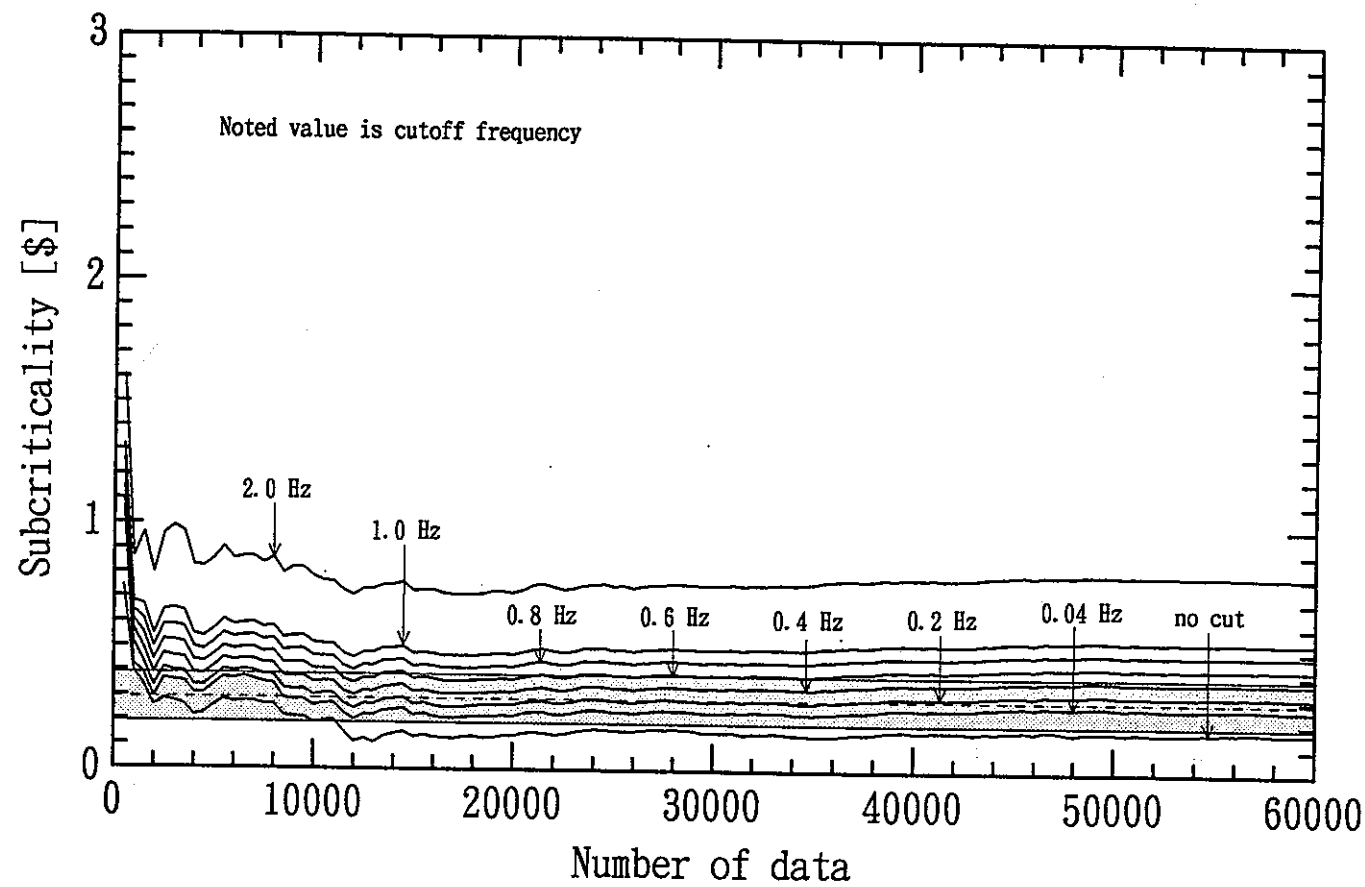


Fig. 4.4.c Subcriticality estimation for "ID010.222 DATA" filtered by the various High-Pass filters.
[Reference subcriticality = 0.289 \\$.]

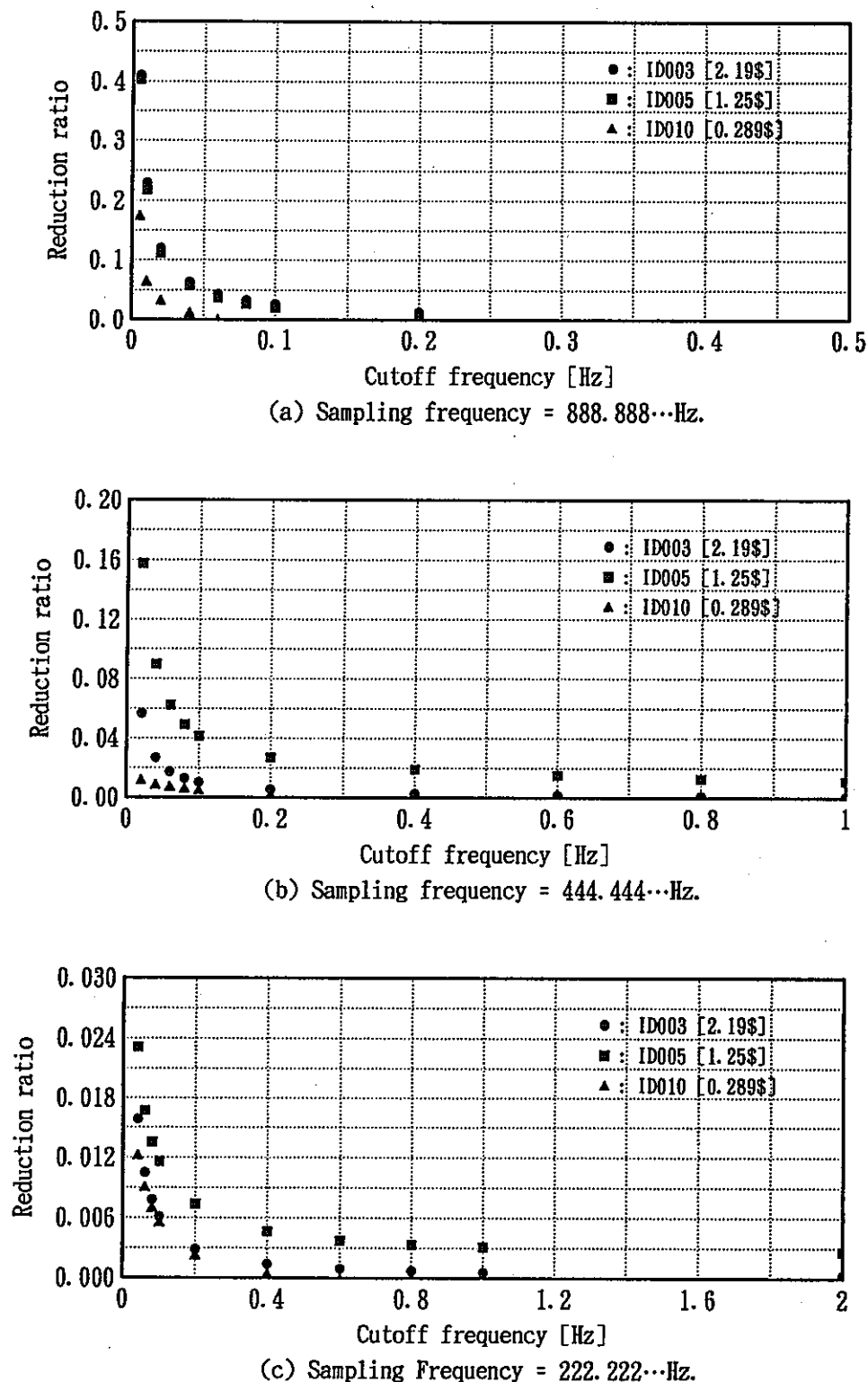
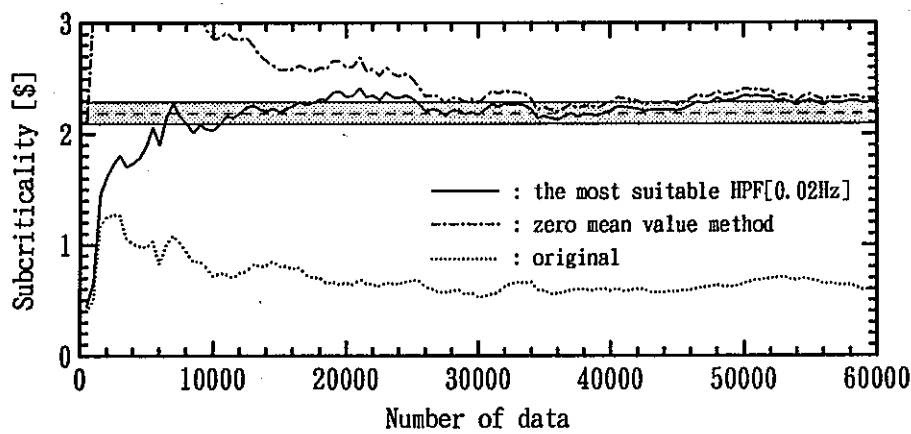
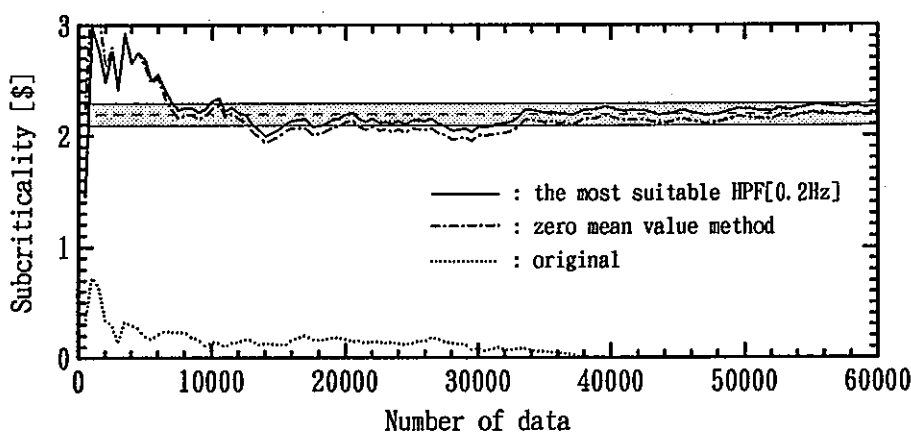


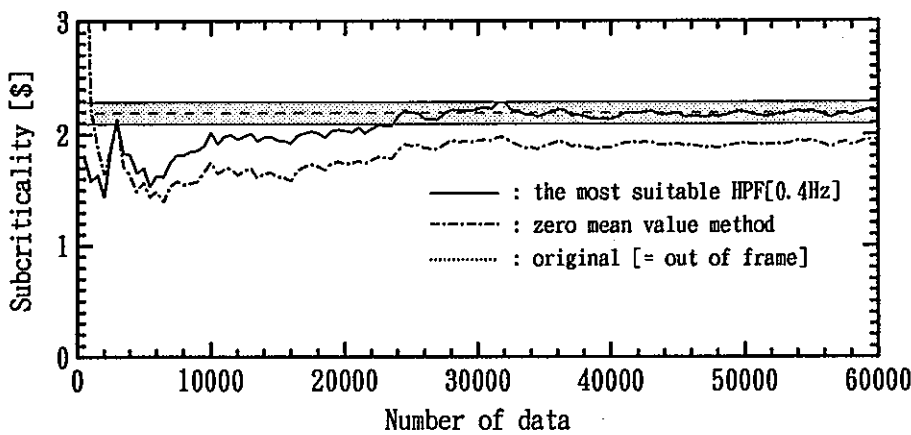
Fig. 4.5 Dependence of DC component reduction ratio on the cutoff frequency of High-Pass filter by filtering for the fundamental time series.



(a) Sampling frequency = 888.888...Hz.



(b) Sampling frequency = 444.444...Hz.



(c) Sampling frequency = 222.222...Hz.

Fig. 4.6.a Subcriticality estimations for the time series through the most suitable High-Pass filter and the time series without DC component in "ID003 Series DATA".
[Reference subcriticality = 2.19 \\$.]

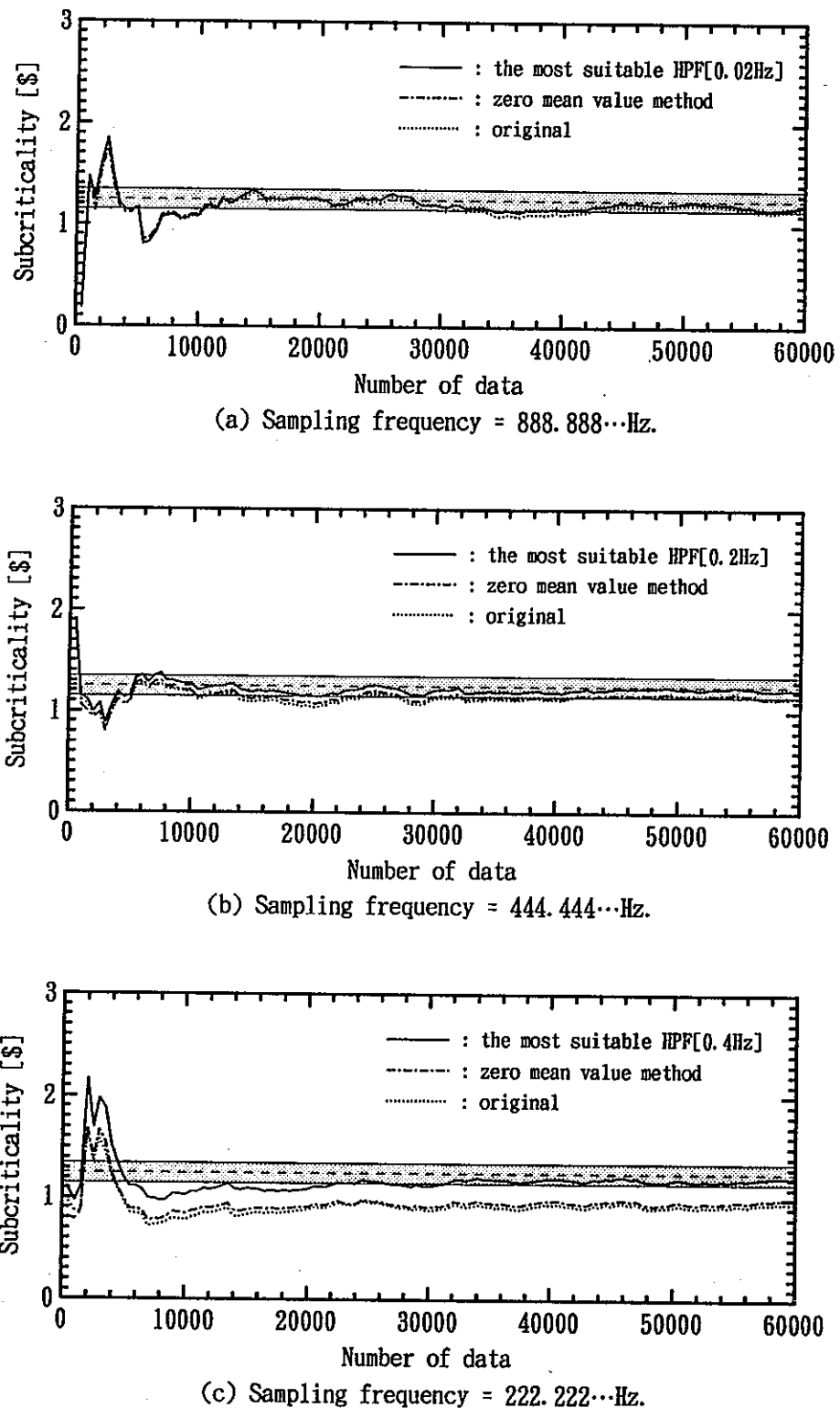


Fig. 4.6.b Subcriticality estimations for the time series through the most suitable High-Pass filter and the time series without DC component in "ID005 Series DATA".
 [Reference subcriticality = 1.25 \\$.]

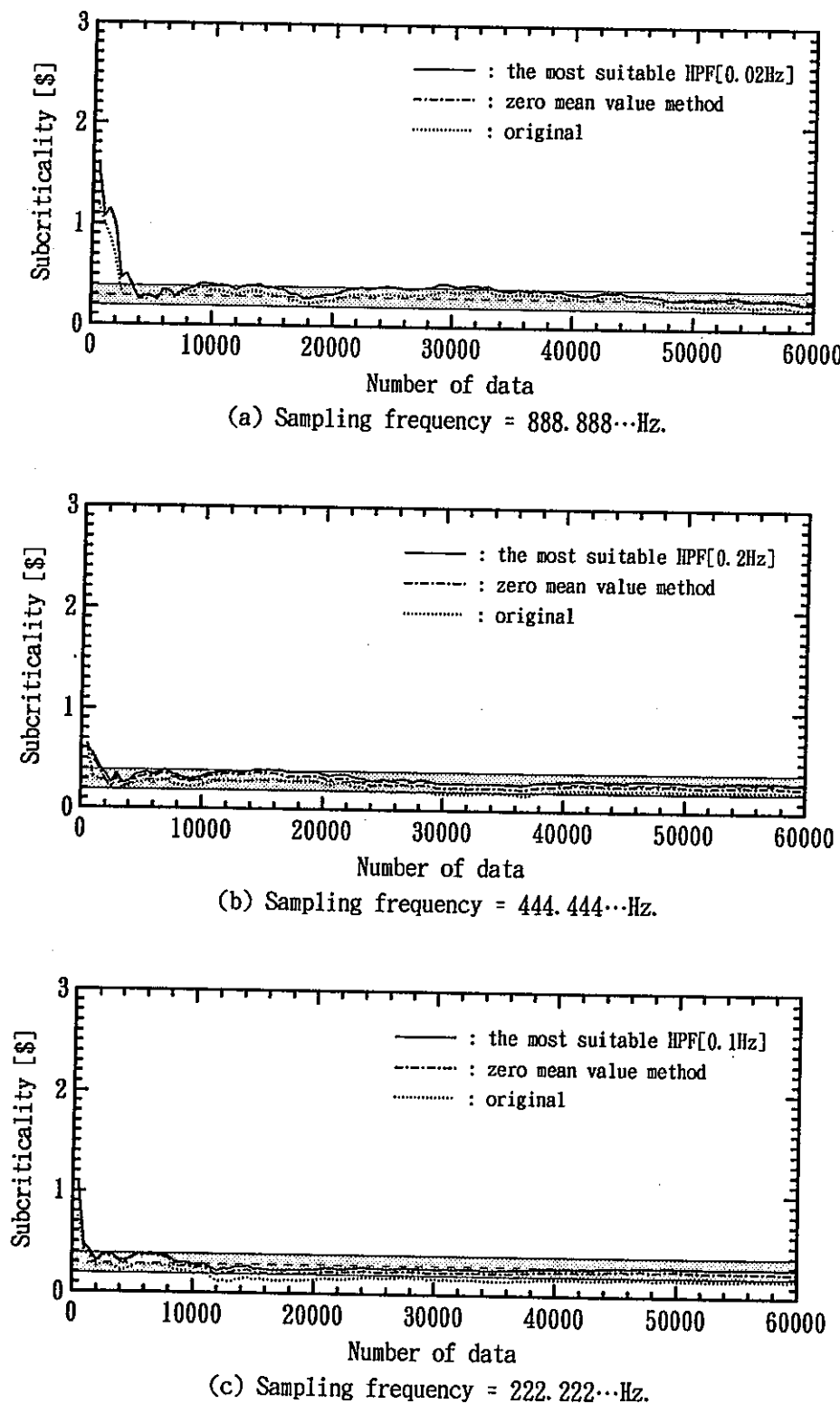


Fig. 4.6.c Subcriticality estimations for the time series through the most suitable High-Pass filter and the time series without DC component in "ID010 Series DATA".
[Reference subcriticality = 0.289 \\$.]

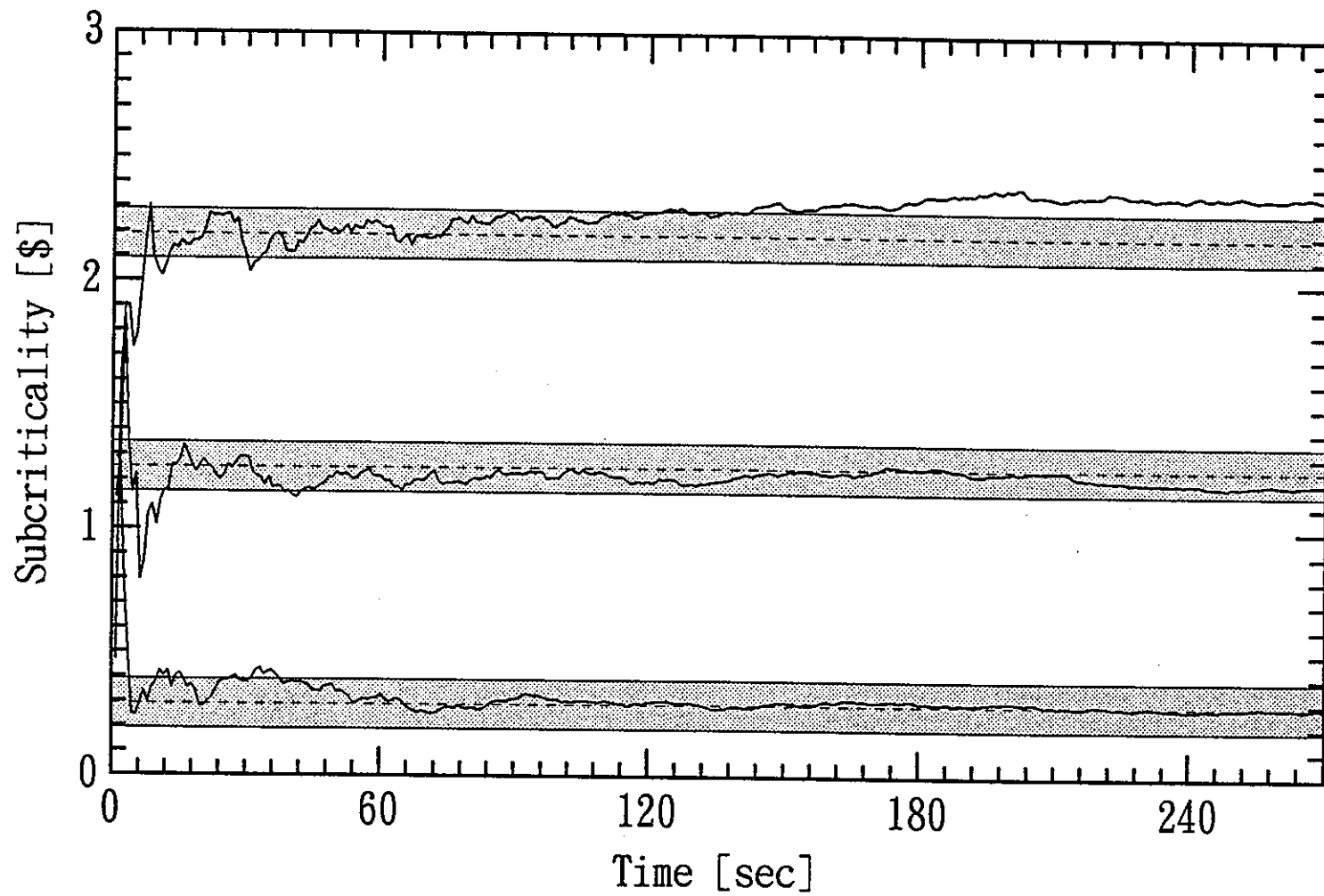


Fig. 4.7.a Subcriticality estimations for the time series sampled at
888.888...Hz.
[Reference subcriticality = 2.19 \$, 1.25 \$ and 0.289 \$.]

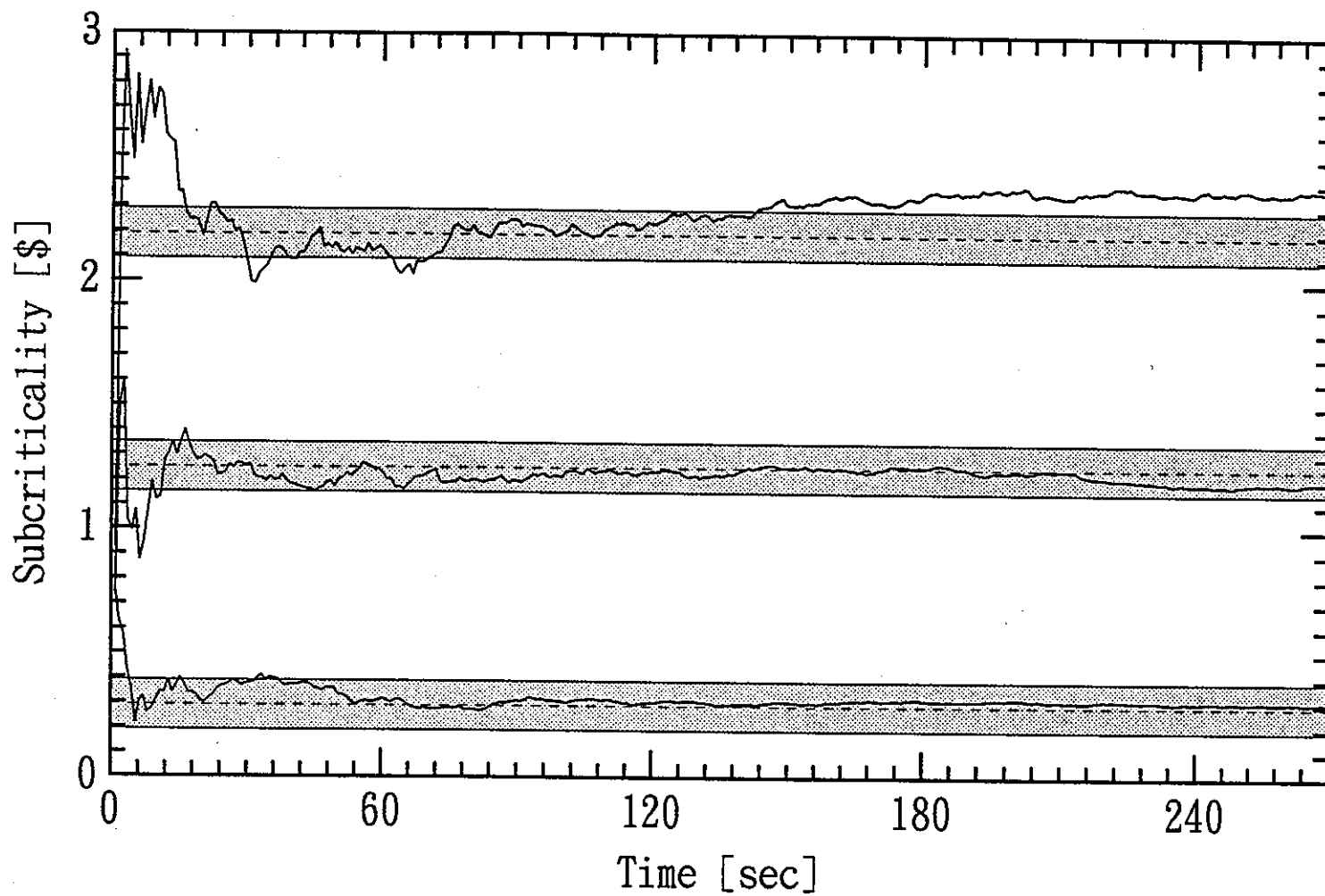


Fig. 4.7.b Subcriticality estimations for the time series sampled at
444.444...Hz.
[Reference subcriticality = 2.19 \\$, 1.25 \\$, and 0.289 \\$.]

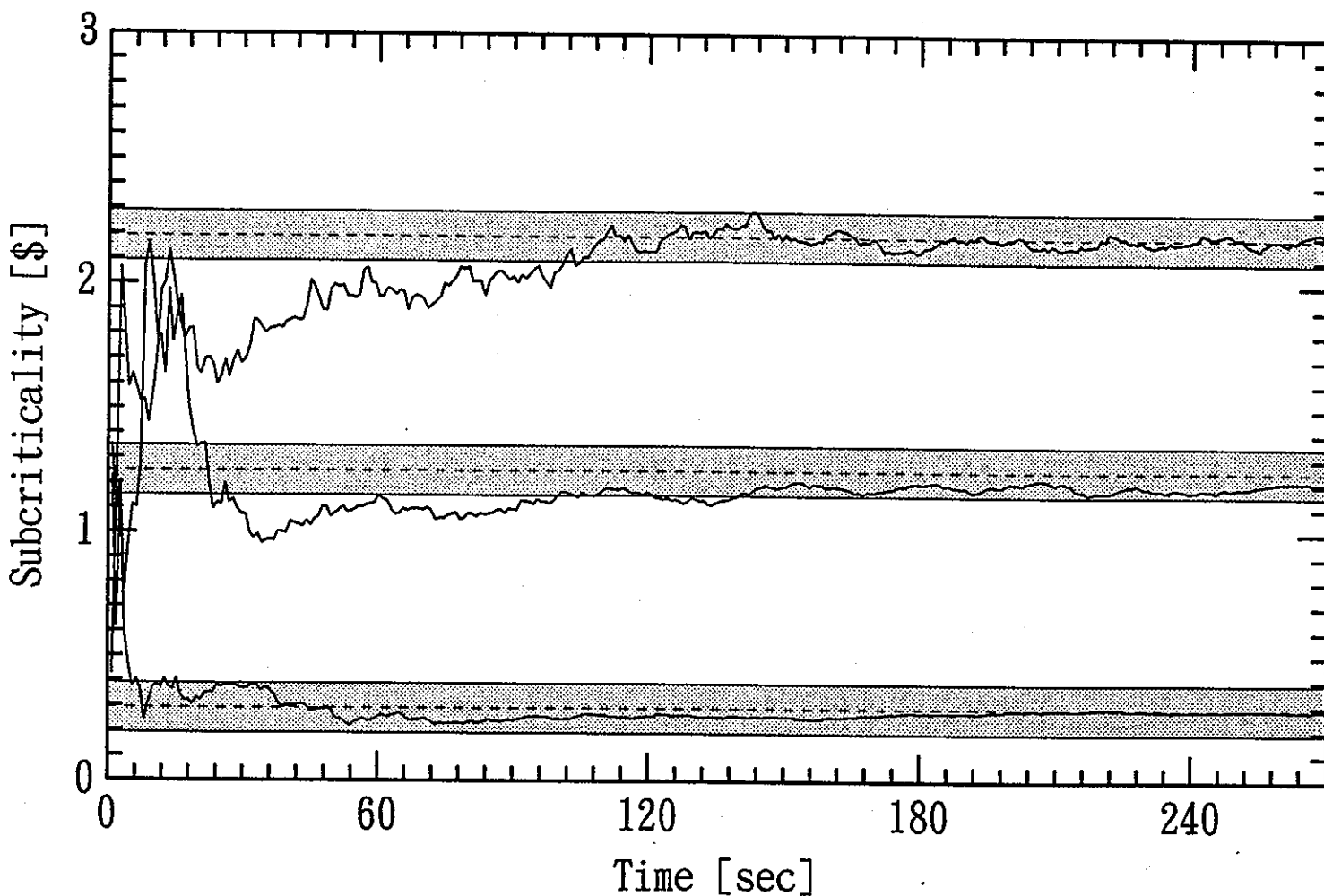
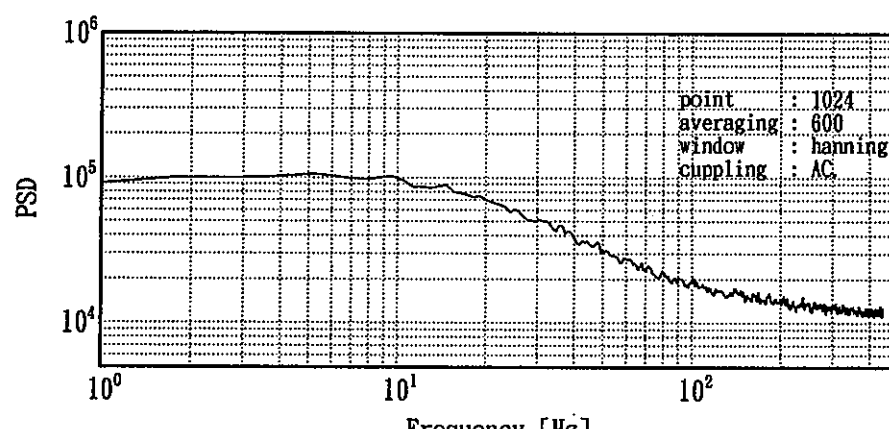
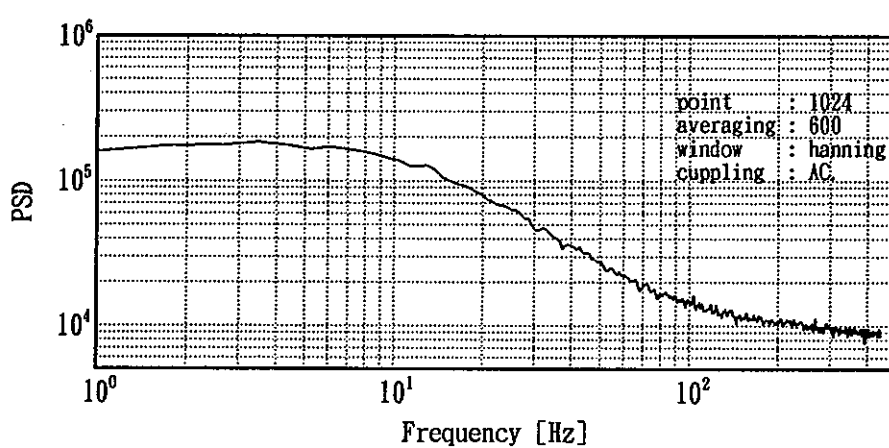


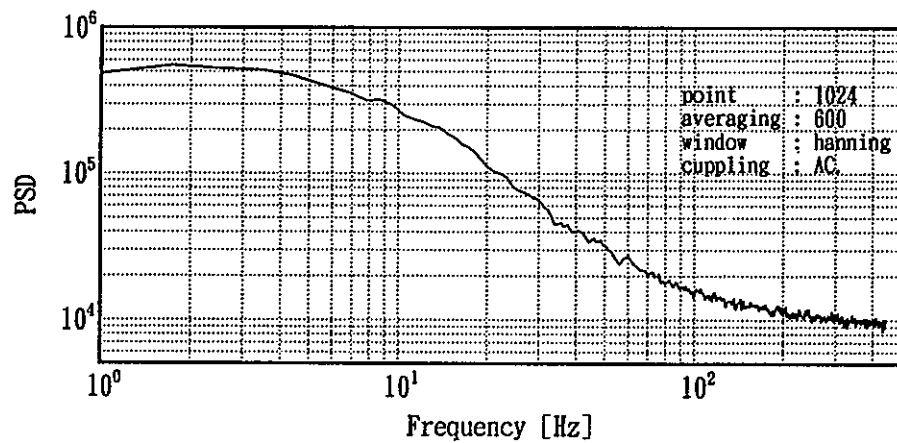
Fig. 4.7.c Subcriticality estimations for the time series sampled at
222.222...Hz.
[Reference subcriticality = 2.19 \\$, 1.25 \\$ and 0.289 \\$.]



(a) Reference subcriticality = 2.19 \$.



(b) Reference subcriticality = 1.25 \$.



(c) Reference subcriticality = 0.289 \$.

Fig. 4.8 Power spectrum density of the time series sampled at 888.888...Hz by direct FFT method.

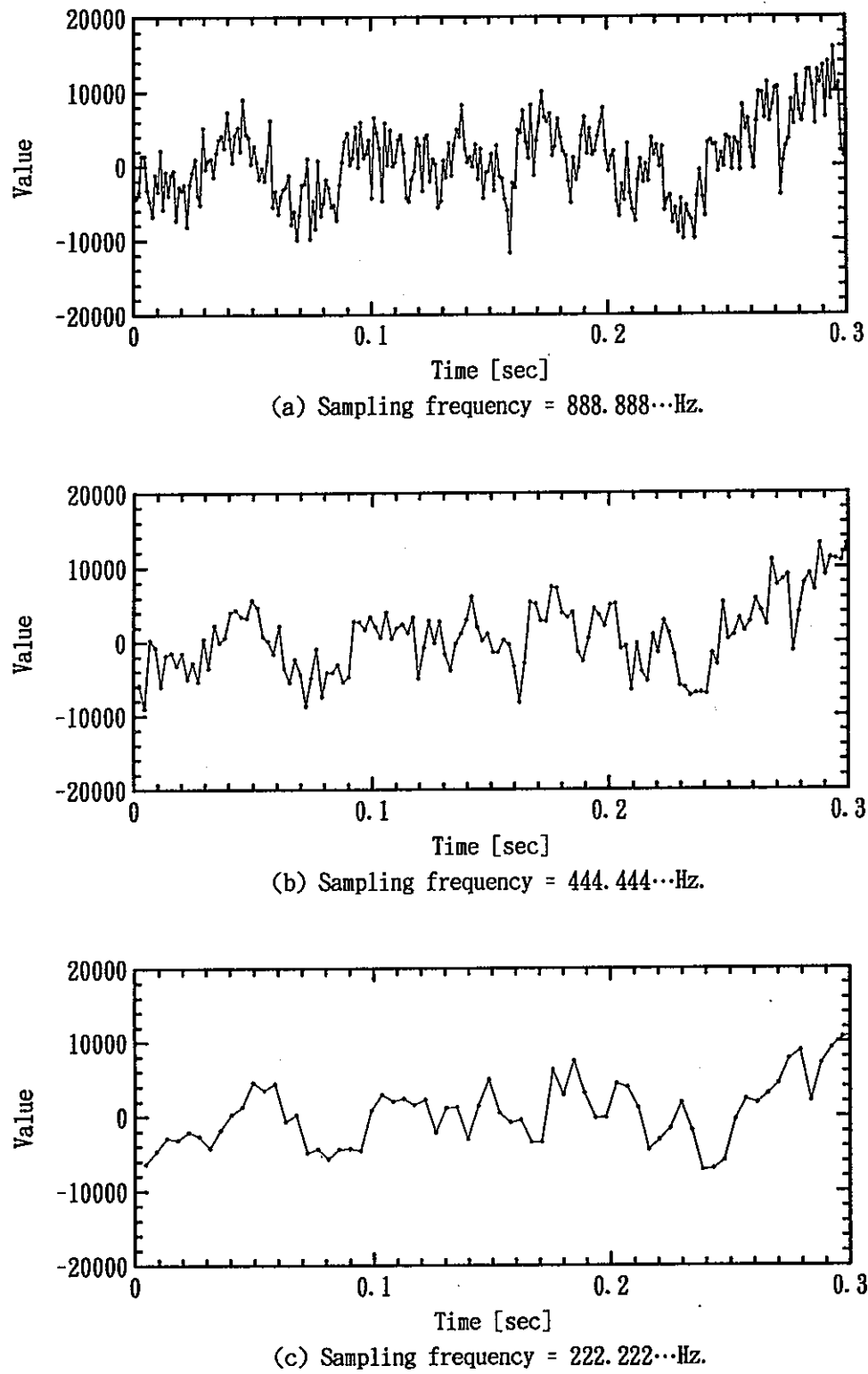


Fig. 4.9 The time series data sampled at 888.888...Hz,
444.444...Hz, and 222.222...Hz.

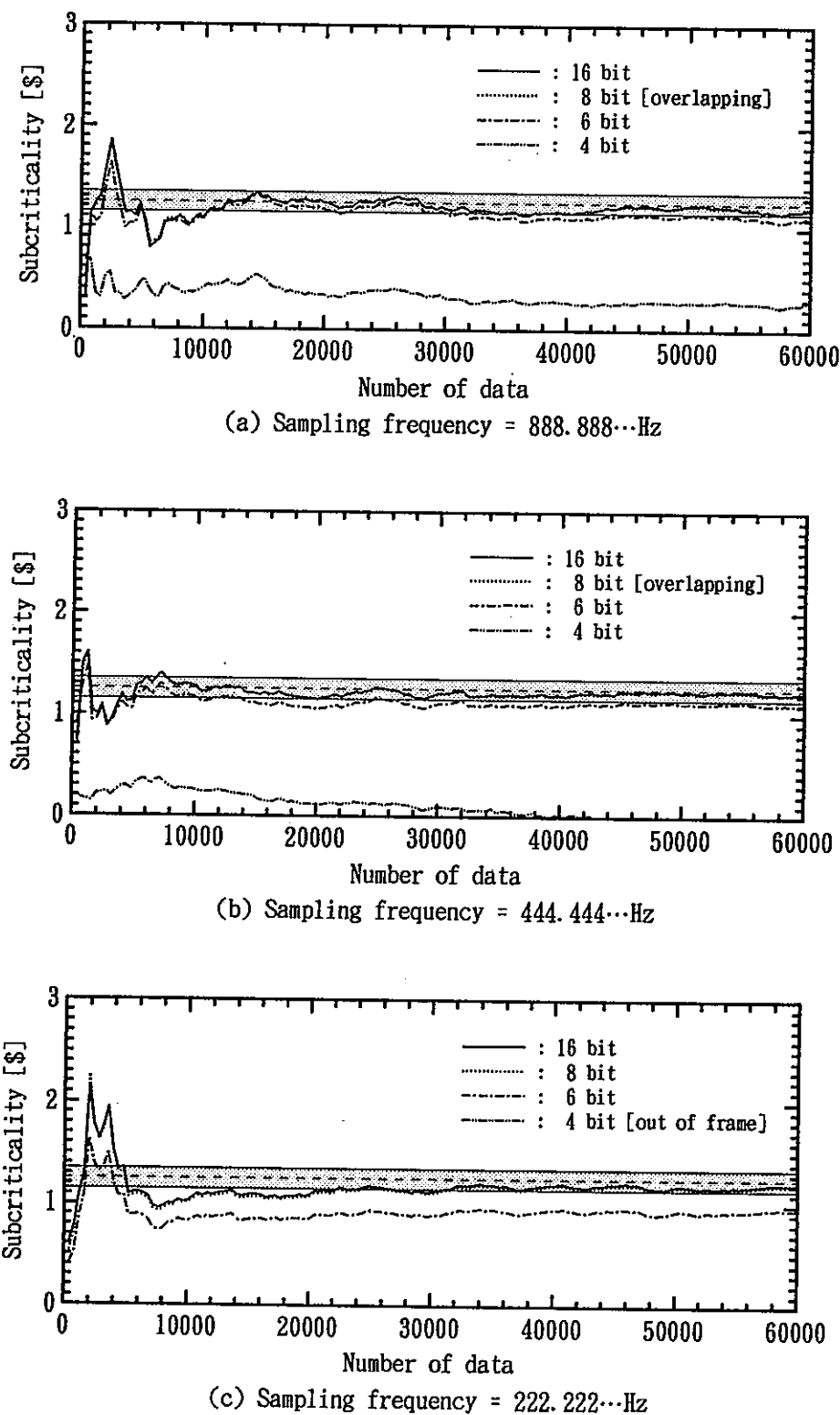


Fig. 4.10 Dependence of subcriticality estimation on the number of bits for A/D conversion for "ID005 Series DATA".
[Reference subcriticality = 1.25 \\$.]